

Ariel Estanislao Meilij Ezeiza

Modelo Predictivo de la Tasa Representativa de Mercado de Colombia Utilizando Aprendizaje Automatizado

Tesis para obtener el grado de Doctor en Administración Gerencial

Julio 14 del 2018

Resumen

Ariel E. Meilij^{1, 2}

¹) Universidad Benito Juárez G. ²) Universidad Latinoamericana de Ciencia y Tecnología

El siguiente trabajo de investigación tiene como finalidad determinar un modelo de predicción para la tasa de cambio del dólar en Colombia (conocida legalmente como la TRM o Tasa Representativa de Mercado) utilizando aprendizaje automatizado. La investigación se enfoca en la hipótesis de que la serie de tiempo que representa la TRM puede utilizarse como elemento de predicción por contener la tendencia de una variable macroeconómica, pero el modelo es más robusto cuando se combina con las variables exógenas que intervienen y coaccionan dicho comportamiento. Para la TRM estas variables independientes son los regresores representados por los principales rubros de exportación del país. A través del aprendizaje automatizado (machine learning) se entrenan los datos que representan las distintas series de tiempo para generar un modelo de pronóstico ARIMA en función de la fluctuación inherente de la TRM, y un modelo de regresión multivariable utilizando la TRM como variable dependiente y los diferentes datos de rubro de exportación como variables independientes. Ambos modelos entrenados representan pronósticos de alta precisión cuyos resultados se convierten en variables independientes de un modelo ensamblado que utiliza las salidas de los primeros como entradas para la generación de un nuevo aprendiz con valores superiores de precisión.

Palabras Claves: TRM, tasa de cambio, aprendizaje automatizado, ARIMA, regresión multivariable, modelos ensamblados, ciencia de datos

Abstract

The objective of the following research thesis is the determination of a prediction model for the Colombian Peso exchange rate (legally known as the TRM or Market Representative Rate) using machine learning. The investigation focuses on the hypothesis that the time series representative of the TRM can be used as a prediction element for containing macroeconomic tendencies of the variable, yet the model becomes more robust when combined with the exogenous variables that intervene and cohere such behavior. For the TRM said independent variables are regressors representatives of the main export commodities for the country. Through machine learning data representing the different time series are used to generate an ARIMA forecasting model in function of the inherent fluctuation of the TRM, and a multivariable regression model using the TRM as the dependent variable and the different export commodities as independent regressors. Both trained models represent highly accurate forecasting tools whose results become the independent variables for a third ensambled model through stacking techniques, where the output of the first two learners become the input of a third with higher level of accuracy.

Key Words: TRM, forex, machine learning, ARIMA, multivariable regression, ensambled models, data science

Existen pocas metas en la vida profesional y académica de una persona como la investigación científica que implica el doctorado. Más allá de la dedicación personal, el esfuerzo de superación o la curiosidad humana que trata de abarcar un poco más de lo que se puede ver, entender o explicar, existe un cúmulo de personas que sacrifican su tiempo y aportan una cuota mayor de paciencia que el mismo doctorando. Todas estas personas fueron, son y serán el punto de apoyo para todos los empréstitos pasados, este en particular, y todos los proyectos futuros que puedan devenir. Por esa misma razón, estoy dedicando la siguiente tesis doctoral a las personas que la han hecho realidad.

- Primero que nada a mi esposa Ángela Alejo, quien ha sido la piedra angular de todo lo que soy y todo lo que seré en el futuro.
- A nuestra hija Ruth Meilij, futura Física Cuántica, y una de las tantas (pocas) personas que entiende de \LaTeX y FORTRAN.
- A mis padres Norma Ezeiza y Ricardo Meilij, quienes siempre creyeron que lo lograría y sacrificaron muchos fines de semana para que pudiera estudiar.
- A mi jefe Max Harari por prestarme un libro de Big Data en el 2014 y despertar la curiosidad por la Ciencia de Datos. Siempre quise ser un Data Scientist, simplemente no sabía que existía tal cosa hasta que un libro me dejó más preguntas que respuestas.
- A los profesores Roger Peng, Ph.D., Jeff Leek, Ph.D. y Brian Caffo, Ph.D. de *Johns Hopkins University*. Gracias a sus clases y emprendimiento aprendí las habilidades de estadística, programación y matemáticas que me permitieron seguir investigando.
- A los increíbles profesores de la Universidad Benito Juárez G. Es poco probable que entiendan la importancia y evolución que significan para todos los doctorandos del grupo G2V2. Por eso es tan importante que sepan que se está sembrando en estos momentos la nueva generación de investigadores del área de la Administración Gerencial en Latinoamérica gracias a sus esfuerzo.

Índice general

0. Introducción	I
Antecedentes de la Investigación	I
Objetivo general	III
Objetivos específicos	III
Alcances y Limitaciones	IV
Contribución al Conocimiento Científico	V
Justificación de la investigación	V
1. Capítulo I:	
Protocolo de Investigación	1
El Problema de Investigación	1
Impacto Social	2
Línea de Investigación	2
Tipo de Estudio	3
Pregunta de Investigación	3
Objetivo General de la Investigación	3
Objetivos específicos	3
Alcances y Limitaciones	4
2. Capítulo II:	
Fundamento Teórico	6
Estado del Arte	6
Marco Teórico	10
Economía de Colombia	12
La Tasa de Cambio	12
La TRM	13
Exportaciones de Colombia	15
Compendio de Exportaciones Colombia 2010 al 2016	22
Regresión Lineal	24
Definición de Regresión Lineal	25
Estimación con Mínimos Cuadrados	26
Limitaciones de la Regresión Lineal	27
Regresión Multi-Variable	28
Presunción del Modelo	29
Calce de los Datos	29

Valor de p	31
Series de Tiempo	33
Introducción a las Series de Tiempo	33
Pronóstico con Series de Tiempo	35
Patrones	35
Auto Correlación	36
Precisión del Pronóstico	38
Descomposición de Series de Tiempo	39
ARIMA	45
La Ciencia de Datos	51
Introducción	51
El Científico de Datos y su Rol como Investigador	52
La Ciencia de Datos como Herramienta Predictiva	53
Diseño de un Estudio de Ciencia de Datos	54
Tareas Comunes en la Ciencia de Datos	56
Aprendizaje Automatizado	59
Importancia Relativa de Los Pasos	60
Métodos Supervisados y No-Supervisados	62
Error Muestral y Error Fuera de Muestra	62
Diseño de un Estudio de Aprendizaje Automatizado	64
Tipo de Errores	65
Sobreajuste	67
R y la Biblioteca CARET	68
Modelos Ensamblados	69
Introducción	69
Combinando Métodos	70
Diversidad	70
Bagging	71
Boosting	72
Stacking	73
Operacionalización de Variables	76
Marco Conceptual	78

3. Capítulo III:

Marco Metodológico	82
Hipótesis de Trabajo	82
Hipótesis específicas	83
Metodología de Estudio	84
Descripción del Método	84
Diseño de la Instrumentación	88
Componentes de Investigación Series de Tiempo	89
EDA (Explorative Data Analysis)	90
Regresión Lineal con Calce de la Función de Predicción	92
Modelo Predictivo Ensamblado	94
Diseño de muestreo	95

Observaciones Adicionales Sobre el Uso de Muestras dentro de Diseños de Investigación con Regresión Lineal	97
4. Resultados	98
Introducción	98
Modelo ARIMA	98
Validación de los Datos de Entrada	98
Entrenamiento de Datos	100
Validación del Modelo Entrenado	101
Modelo Regresión Lineal Multivariable	103
Validación de los Datos de Entrada	104
Entrenamiento de Datos	106
Validación del Modelo Entrenado	109
Modelo Ensamblado Combinado	111
Validación de los Datos de Entrada	111
Entrenamiento de los Datos	112
Validación del Modelo Entrenado	114
5. Conclusiones y Recomendaciones	116
Conclusiones	116
Recomendaciones	119
Sugerencias para Futuras Investigaciones	120
7. Otras Fuentes	128
8. Anexos	129
Bibliotecas de Programas	129
Programa buildTRM.R	129
Programa buildBanana.R	131
Programa buildCafe.R	132
Programa buildCarbon.R	134
Programa buildGasoil.R	135
Programa buildHulla.R	137
Programa buildNiquel.R	138
Programa buildOro.R	140
Programa buildPalma.R	141
Programa buildPolipropileno.R	143
Programa buildWti.R	145
visualRegresoresTS.R	146
Programa testMLRegression.R	148
Programa testAutoARIMA.R	151
Programa testMLRegression.R	153
Programa testStackedModelVariant.R	156

Índice de figuras

2.1. Principales Rubros de Exportación Colombia 2010-2016	23
2.2. Ejemplo de Regresión Lineal con Old Geyser	24
2.3. Ejemplo de Pronóstico con Descomposición STL (Fuente Hyndman and Athanasopoulos)	34
2.4. Correlograma del Peso Colombiano (Fuente propia)	37
2.5. Correlograma del Peso Colombiano Con y Sin Diferenciar (Fuente propia)	46
2.6. Gráficas de las Funciones ACF y PACF del Peso Colombiano (Fuente propia)	50
2.7. Modelo de Epíclidos de Análisis de Datos (Fuente Peng y Matsui, 2017)	57
2.8. Esquema de Generación de Variables de Predicción	60
2.9. Pasos para la Consecución de Modelos con Aprendizaje Automatizado	60
3.1. Proceso de Investigación para el Análisis del Modelo Predictivo (Fuente Propia)	85
3.2. Esquema Modelo Predictivo	88
3.3. Análisis EDA Cotización Internacional Café por quintal (Fuente Propia)	90
3.4. Correlograma Precio Internacional del Café (Fuente Propia)	91
3.5. Descomposición STL Precio Internacional del Café (Fuente Propia)	92
3.6. Descomposición STL Precio Internacional del Café (Fuente Propia)	94
4.1. Descomposición de la Serie de Tiempo TRM 2010-2017	99
4.2. Análisis de Autocorrelación y Correlación Parcial de la Serie de Tiempo TRM 2010-2017	100
4.3. Análisis Valores Reales vs. Predicción Entrenamiento ARIMA de la Serie de Tiempo TRM 2010-2017	102
4.4. Test Aleatorio Valores Reales vs. Predicción Entrenamiento ARIMA TRM 2010-2017	103
4.5. Matriz Series de Tiempo 2010-2017 Modelo Regresión Lineal	105
4.6. Matriz Series de Tiempo 2010-2017 Modelo Regresión Lineal	106
4.7. Valores Reales vs. Predicción Modelo Regresión Lineal Multivariable	109
4.8. Valores Reales vs. Predicción Datos de Validación Regresión Lineal Multivariable	110
4.9. Distribución de Residuales - Validación Regresión Lineal Multivariable	111
4.10. Validación de Datos Modelo Ensamblado	112
4.11. Validación Ajuste Modelo Ensamblado	115
4.12. Análisis Comparativo de 3 Modelos de Aprendizaje Automatizado en Juego de Prueba Aleatorio	115

Índice de cuadros

2.1. Tabla Operacionalización de Variables	77
4.1. Rango de Valores Serie de Tiempo TRM	99
4.2. Desempeño Comparativo de Métodos Machine Learning	115

Introducción

Antecedentes de la Investigación

Para todas las empresas que importan producto para su comercialización en el territorio de Colombia, el manejo de la TRM es uno de los problemas mayores que deben confrontar. La tasa de cambio representativa del mercado (TRM por sus siglas) es el valor en pesos colombianos que una empresa tiene que desembolsar por un dólar estadounidense. A pesar que no todas las importaciones provienen de Estados Unidos, inclusive aquellas que se realizan con Asia tienen facturación en dólares. De aquí que el dólar sea tan ubicuo en los procesos de comercio internacional, que Colombia como país importador y exportador haya tenido que crear una figura legal solamente para esta razón entre dos monedas.

La TRM afecta una serie de variables dentro del proceso comercial de una empresa.

- Las listas de precios que emita el departamento de contabilidad estarán sujetas a la TRM en curso. Si el departamento de finanzas e importación no realizó la mejor negociación de la TRM, los precios se verán afectados de manera negativa, ya que su costo es mayor por afectación directa del cambio de dólares americanos a pesos colombianos.
- El departamento de ventas tendrá un especial interés en evitar las fluctuaciones constantes de listas de precio, que inevitablemente el departamento de contabilidad actualizará, si no puede prever la variación misma de la TRM en un horizonte de corto a mediano plazo.
- Asimismo, el departamento de mercadeo vigilará de cerca que la variación de precios sea mínima, ya que la variable precio es una de las 4 P's de la ciencia de la mercadotecnia

(siendo todas posicionamiento, precio, producto y publicidad). La variación del precio al alza aliena a los consumidores, que pueden no ver la razón de la misma en el aumento de la TRM sino en la mala fe del importador.

Para protegerse de los efectos de la variación de la moneda, las empresas algunas veces recurren al concepto de forwards, o contratos de compras a futuros de moneda extranjera pactados a un precio dado que reduce el margen de incertidumbre. Dentro de la contabilidad moderna, y aplicado a la importación de productos, el contrato de forward es un elemento de costeo. Con esto la empresa puede asignar costos a un producto a un valor dado de tasa de cambio el cual es conocido y no sufrirá variación. Esto no implica que sea el mejor valor o el mejor negociado, solo que el precio final al momento de ejecutarse el contrato no sufre variación y no hay incertidumbre sobre el mismo.

Muchas empresas no efectúan contratos de compra de moneda a futuro haciendo acoso del carácter especulativo de los mismos. El horizonte de planificación de un importador involucra un ciclo de noventa a ciento veinte días en el cual factura y cobra sus ventas a crédito. Dentro de ese plazo, es probable que la TRM haya reducido por debajo del valor pactado en el contrato futuros, incurriendo en gastos innecesarios por reducir la incertidumbre del cambio. Otras empresas solo cubren una porción del valor total de la operación con contratos futuros tratando de optimizar el resultado de la misma y perder el menor margen posible de rentabilidad versus el costo de cobertura.

El problema mayor para todas estas empresas es poder predecir con algún valor matemático y científico cuál será el valor de la TRM en cualquier momento dado. Existe en la comunidad financiera - y en la comunidad de comerciantes en general - una idea acertada de que la TRM está relacionada a los movimientos del precio internacional del petróleo, principal producto de exportación de Colombia, y por ende, el mayor contribuyente a estabilizar la balanza de pago del país y la necesidad de equilibrar los flujos de moneda internacional con las reservas nacionales. Estos estudios incluyen los reportes de casas financieras importantes como J. P. Morgan, las cuales han analizado las fluctuaciones de la cesta petrolera y la TRM hasta un índice de correlación cercano al 70 por ciento (o en términos matemáticos, un coeficiente de correlación R^2 0,7).

Para el estadista entrenado, un índice de correlación R^2 de 0.7 es un buen indicio de correlación, pero lejos de un valor que pueda completar un modelo de predicción. Para la ciencia de

datos, es sin embargo un comienzo prometedor de un modelo predictivo en potencia que puede construirse a través de las nuevas metodologías de Aprendizaje Automatizado. El aprendizaje automatizado utiliza técnicas matemáticas y de estadística avanzadas para aprender de los datos históricos y crear modelos de predicción altamente confiables. El aprendizaje automatizado no es inteligencia artificial (aunque la inteligencia artificial usa aprendizaje automatizado), sino que es el conjunto de herramientas de la ciencia de datos que hoy ayuda a diseñar teclados que predicen el texto, motores de búsqueda en Internet, autos que se manejan solos, y búsqueda de solución a enfermedades como el cáncer.

¿Hay una manera más eficaz de poder modelar y predecir la TRM para minimizar los efectos negativos de las variaciones de la misma en la comercialización de productos importados? ¿Hay otros elementos además de la cesta de petróleo que jueguen un papel determinante en la fijación del valor de la TRM? ¿Si la Superintendencia sólo mide el valor en base al intercambio de compradores y vendedores, como juegan estos dos en la fijación del precio si son solo agentes secundarios de procesos de importación y exportación?

Una empresa que cuente con el conocimiento y tecnología para poder predecir y proyectar el valor de la TRM podrás reducir el impacto negativo en el proceso de comercialización mientras que optimiza el rendimiento financiero en sus áreas contables.

Objetivo general

El objetivo principal de la investigación es construir un modelo parsimonioso predictivo que permita determinar el valor futuro de la TRM a partir de variables predictivas dadas.

Objetivos específicos

Los objetivos específicos de la investigación son los siguientes:

- Identificar que variables dentro del marco económico colombiano son las que tienen mayor grado de incidencia en la determinación de la TRM colombiana.
- Cuantificar cuales y cuantas de estas variables forman parte de un modelo predictivo parsimonioso que permita realizar predicciones dentro de un intervalo de confianza con valores

de $p = 0.05$.

- Determinar qué tipo de modelo parsimonioso es el correcto utilizando las variables predictivas del punto anterior con los mismos intervalos de confianza, o en su defecto si este es un modelo predictivo compuesto.

Alcances y Limitaciones

Las siguientes son los alcances y limitaciones de la investigación.

- El siguiente estudio está basado en la TRM colombiana, que por su propia definición establece una razón entre dos divisas, el peso colombiano y el dólar estadounidense. Aun cuando la solución prevista al problema muy probablemente pudiera utilizarse con otras monedas, esta investigación no las abarca.
- El siguiente estudio no hace referencia ni analiza en profundidad el sistema para determinar la TRM por parte de la Superintendencia Financiera de Colombia; este pudiera ser un tema interesante de tesis de posgrado para un futuro investigador. El resultado final del método de la Superintendencia Financiera de Colombia para el valor de la TRM se utiliza solo como una observación matemática de un hecho predecible a partir de una cantidad de variables.
- El siguiente estudio utiliza base de datos y datos oficiales históricos medidos desde el año 2000 hasta el año 2017. Si bien este valor es menor al de una generación, ha sido arbitrariamente establecido como punto de quiebre ya que reúne muchos más datos estadísticos de los necesarios para un modelo predictivo de gran precisión.
- La siguiente investigación busca un modelo predictivo parsimonioso. Un modelo parsimonioso en estadística es un modelo que cumple con el valor predictivo buscado con el menor número de variables predictivas necesarias. Puede entonces existir variables predictivas que afecten el valor de la TRM pero que este estudio no incluirá si el resultado del modelo predictivo es suficiente con un número menor de variables.

Contribución al Conocimiento Científico

El trabajo de investigación contiene dos elementos principales de aporte al conocimiento científico.

En primer lugar, combina métodos de regresión lineal y regresión general con series de tiempo para la confección de modelos predictivos ensamblados. La mayoría de la bibliografía académica trata los métodos de aprendizaje automatizado, tanto los de predicción como los de clasificación, como metodologías puras y estudiadas en aislamiento, mientras que los sistemas ensamblados son vistos como aplicaciones prácticas fuera del reino de la ciencia administrativa y financiera, mejor encasillados como ingeniería. Los métodos ensamblados por lo general combinan un predictor con un clasificador, pero no necesariamente dos predictores como regresión general y series de tiempo, las cuales tienen mucho más sentido en un problema financiero por modelar de manera más real variables económicas (numéricas, continuas, y multiplicativas). El enfoque puede ser utilizado no solo para la predicción de otras tasas de cambio, sino de cualquier valor económico influenciado por rubros que funcionen como predictores.

En segundo lugar, señala claramente la correlación de los principales rubros de exportación de un país con el modelaje de la tasa de cambio. Este fenómeno siempre su supuso más o menos cierto, pero no ha sido estudiado a profundidad en la academia. Muchas agencias bursátiles han detectado la relación (por ejemplo, Merrill Lynch lo describe en sus publicaciones pagas las cuales no pueden ser citadas legalmente). Si el modelo de predicción puede hacer pronósticos acertados dentro de intervalos de confianza científicamente aceptados como muy precisos, puede incidir en futuros estudios de economía y macroeconomía sobre estabilización de la tasa de cambio a través del estímulo enfocado en rubros claves de exportación (y con clave se hace referencia a aquellos que contienen mayor alcance predictivo de la tasa de cambio, no los mayores en volumen, que de por si es un punto interesante de debate).

Justificación de la investigación

La justificación de dicha investigación está basada en el costo que afrontan las empresas que no pueden determinar exactamente el valor de la TRM dentro de su ciclo operativo anual e incurren

en pérdidas dadas por:

1. Falta de ventas al costear incorrectamente sus productos por encima del valor de mercado
2. Pérdidas contables al costear incorrectamente sus productos a valor del mercado y luego verificar que no están cubiertas las deudas en moneda extranjera y que la TRM tiene un valor superior al utilizado
3. Pérdidas contables en los contratos futuros de compra de divisas con los bancos en el cual el precio de ejecución termina siendo superior al valor actual de la TRM (en dicho caso, para el banco es una operación altamente rentable)

Adicionalmente, la siguiente investigación plantea el uso de una metodología relativamente nueva en el campo de la administración como lo es el aprendizaje automatizado. La ciencia de datos es una disciplina principalmente multidisciplinaria, que recién ahora comienza a tener alguna participación oficial en algunas universidades del mundo. El enfoque ha sido utilizado con éxito en la ingeniería y ciencias de la computación, así como en la bioestadística, pero es muy poco su uso académico en las ciencias administrativas y financieras, por lo que el enfoque es novedoso y abre las puertas a la resolución de muchos más problemas con una metodología cuantitativa similar.

Capítulo I:

Protocolo de Investigación

El Problema de Investigación

El siguiente proyecto de investigación busca analizar el problema de la determinación del valor futuro de la TRM de Colombia en base a los componentes principales de exportación del país, que conforman su cesta de divisas, con miras a crear un modelo predictivo matemático que le sirva a la organización para la optimizar los procesos comerciales y financieros de la misma. ¿Qué es la TRM que afecta tanto el funcionamiento de los importadores? Actualmente la Superintendencia Financiera de Colombia es la que calcula y certifica diariamente la TRM con base en las operaciones registradas el día hábil inmediatamente anterior y la define de la siguiente manera (Circular Reglamentaria Externa del Banco de la República DODM-146, 2015):

La tasa de cambio representativa del mercado (TRM) es la cantidad de pesos colombianos por un dólar de los Estados Unidos (antes del 27 de noviembre de 1991 la tasa de cambio del mercado colombiano estaba dada por el valor de un certificado de cambio). La TRM se calcula con base en las operaciones de compra y venta de divisas entre intermediarios financieros que tranzan en el mercado cambiario colombiano, con cumplimiento el mismo día cuando se realiza la negociación de las divisas.

La Superintendencia Financiera de Colombia no determina el valor de la TRM sino de un elemento derivado de las operaciones de compra y venta de la misma. Son los agentes de operación (exportadores que venden sus productos en dólares y los deben canjear a pesos colombianos e

importadores que compran sus productos en dólares y para tal fin cambian sus pesos colombianos). Ambos obedecen a fuerzas del mercado que dan forma y materializan la valorización.

Es de conocimiento que la cesta petrolera influye en la valorización de la TRM, sin embargo, poco o nada se ha estudiado de que otras variables actúan en la ecuación total. Cada una de estas debe pensarse como una variable independiente de un modelo predictivo que interviene en la valorización total de la TRM, y sin los cuales la formula queda incompleta.

Impacto Social

El trabajo cumple con la dimensión de relevancia social. Ninguna empresa quiere costear sus productos por encima de los demás agentes del mercado, so pena de perder participación de mercado a sus competidores con precios más ventajosos. La capacidad de estimar a futuro el mejor pronóstico de tasa de cambio reduce el porcentaje de carga por previsión de volatilidad de moneda (también conocido en contabilidad como colchón) lo que redunda en un precio mejor para el consumidor y la sociedad en general. Al reducir las ineficiencias del cálculo de costos prediciendo de forma correcta la tasa de cambio los consumidores ganan el diferencial entre el precio pobremente estimado y un precio ajustado a las realidades del cambio futuro.

Línea de Investigación

El siguiente trabajo de investigación se apeg a la línea de investigación financiera de la UBJ. La universidad define la línea financiera como aquella que investiga modelos económicos y financieros innovadores que impulsen el crecimiento y sustentabilidad de la organización a fin de relevar su competitividad [del Doctorado en Administración Gerencial, 2018].

La hipótesis de trabajo de la investigación propone un nuevo modelo de predicción de la tasa de cambio de Colombia utilizando aprendizaje automatizado y un modelo ensamblado de aprendices, lo que representa un enfoque innovador para mejorar la situación de optimización de costos y competitividad de la empresa.

Tipo de Estudio

El tipo de estudio es hipotético deductivo, cuantitativo.

Es hipotético deductivo porque:

- partimos de una teoría base (macroeconomía que sustenta la tasa de cambio con la balanza de pagos y exportaciones, machine learning para deducir modelos predictivos en base a grandes muestras de datos)
- formulamos una hipótesis de trabajo
- aplicamos ciencia de datos para una recolección masiva de datos de diferentes regresores (cada uno un rubro importante de exportaciones de Colombia)
- Confirmamos la hipótesis al extraer un modelo predictivo estadístico

Pregunta de Investigación

La pregunta de investigación de este anteproyecto surge de una pregunta real y de aplicación necesaria en el ámbito empresarial de una organización importadora de bienes de consumo masivo al mercado de Colombia: *¿Cómo podemos predecir la TRM para mitigar el efecto negativo de las fluctuaciones en la tasa de cambio en la contabilidad de precios y costos?*

Objetivo General de la Investigación

El objetivo principal de la investigación es construir un modelo parsimonioso predictivo que permita determinar el valor futuro de la TRM a partir de variables predictivas dadas.

Objetivos específicos

Los objetivos específicos de la investigación son los siguientes:

- Identificar que variables dentro del marco económico colombiano son las que tienen mayor grado de incidencia en la determinación de la TRM colombiana.

- Cuantificar cuales y cuantas de estas variables forman parte de un modelo predictivo parsimonioso que permita realizar predicciones dentro de un intervalo de confianza con valores de $p = 0.05$.
- Determinar qué tipo de modelo parsimonioso es el correcto utilizando las variables predictivas del punto anterior con los mismos intervalos de confianza, o en su defecto si este es un modelo predictivo compuesto.

La intención del trabajo de investigación es integrar el uso de rubros de exportación como series de tiempo para el entrenamiento de modelos de aprendizaje automatizado en forma de aprendices. La determinación del modelo no la hace el investigador sino que la metodología de aprendizaje automatizado ayuda a entrenar los datos para extraer el modelo. Uno o ambos de estos modelos debe cumplir con la premisa de alcanzar un alto nivel de predicción. Si ambos modelos cumplen con la premisa de alto valor predictivo entonces sus egresos - los valores estimados - serán utilizados como entradas de un tercer modelo ensamblado (conocido en inglés como modelo apilado o *stacking*) para diseñar un modelo predictivo parsimonioso final con mayor valor de precisión.

Alcances y Limitaciones

Las siguientes son los alcances y limitaciones de la investigación.

- El siguiente estudio está basado en la TRM colombiana, que por su propia definición establece una razón entre dos divisas, el peso colombiano y el dólar estadounidense. Aun cuando la solución prevista al problema muy probablemente pudiera utilizarse con otras monedas, esta investigación no las abarca.
- El siguiente estudio no hace referencia ni analiza en profundidad el sistema para determinar la TRM por parte de la Superintendencia Financiera de Colombia; este pudiera ser un tema interesante de tesis de posgrado para un futuro investigador. El resultado final del método de la Superintendencia Financiera de Colombia para el valor de la TRM se utiliza solo como una observación matemática de un hecho predecible a partir de una cantidad de variables.

- El siguiente estudio utiliza base de datos y datos oficiales históricos medidos desde el año 2000 hasta el año 2017. Si bien este valor es menor al de una generación, ha sido arbitrariamente establecido como punto de quiebre ya que reúne muchos más datos estadísticos de los necesarios para un modelo predictivo de gran precisión.
- La siguiente investigación busca un modelo predictivo parsimonioso. Un modelo parsimonioso en estadística es un modelo que cumple con el valor predictivo buscado con el menor número de variables predictivas necesarias. Puede entonces existir variables predictivas que afecten el valor de la TRM pero que este estudio no incluirá si el resultado del modelo predictivo es suficiente con un número menor de variables.

Capítulo II:

Fundamento Teórico

Estado del Arte

A pesar de ser un campo relativamente nuevo, la Ciencia de Datos está profundamente sustentada por la teoría académica (quizás por sus implicaciones como campo multidisciplinario y su importancia para la solución de problemas que impactan otras disciplinas).

De acuerdo a la bibliografía existente, la primera persona en hacer un bosquejo de la idea fue el académico Danés Peter Naur en su libro “Concise Survey of Computer Methods”. Naur sin embargo utiliza el término más que nada para sustituir el de ciencia computacional [Naur, 1974]. El investigador de Laboratorios Bell y profesor de la Universidad de Princeton, John Tukey, hace un mejor acercamiento al escribir el primer artículo científico sobre como la disciplina de la estadística cambiaba con el advenimiento de la informática [Tukey, 1962]. Mucho más tarde fue el estadista de la Universidad de Tokio Chikio Hayashi quien definiría de manera sucinta el concepto de Ciencia de Datos como un concepto sintético para unificar la estadística, el análisis de datos y los métodos relacionados con la consecución de resultados [Hayashi et al., 1981].

Es interesante que los métodos de aprendizaje automatizado proliferaron de forma paralela al concepto de ciencia de datos, y solo fueron absorbidos por esta en los últimos diez años. Alpaydim nos describe el aprendizaje automatizado como la programación de computadoras para optimizar un criterio de desempeño utilizando datos o experiencia pasada [Alpaydin, 2010]. Tom Mitchell respeta este concepto al describir el aprendizaje automatizado como “... la construcción de

programas computacionales que aprenden con la experiencia. . .” [Mitchell, 1997, pag. XV]. Solo Peter Harrington utiliza una descripción mucho más simplista al determinar que “El aprendizaje automatizado es la extracción de información de la data.” [Harrington, 2012, pag. 5].

La teoría detrás de la regresión lineal es bastante homogénea a través de todos los autores. Zumel y Mount describen la regresión lineal como el más común de los métodos de aprendizaje automatizado [Zumel and Mount, 2014], y si no, es muy fácil verificar cual otro método probar como segunda opción. Para Daroczi, el énfasis está en los modelos de regresión multivariable (una extensión de la regresión lineal simple de un solo predictor y resultado) que construyen el camino para la predicción de fenómenos complejos en la naturaleza y negocios [Daroczi, 2015]. Por su parte, Harrington resume los beneficios de la regresión lineal [Harrington, 2012] por la facilidad de interpretar los resultados y lo frugal en el uso de ciclos de computación (aunque puede ser menos útil si el fenómeno no es perfectamente lineal).

Muchos autores han escrito sobre las series de tiempo, pero es difícil agregar al tema o discutir las ideas del profesor Robert Hyndman, uno de los expertos más respetados en la comunidad de la estadística por su trabajo en las series de tiempo. Hyndman extiende la teoría a las series de tiempo como elementos de pronóstico y su relación con la regresión lineal [Hyndman and Athanasopoulos, 2014]. Desde el punto de vista técnico, Hyndman es el creador de varias bibliotecas de funciones de pronóstico utilizando series de tiempo y ARIMA en lenguaje R. Dentro de la bibliografía, Daroczi es quien agrega detalles sobre la detección temprana de valores atípicos que pueden dificultar – y mucho – el análisis [Daroczi, 2015]. Un componente importante de las series de datos es la detección de si son o no auto-regresivas (lo que determina mucho de su poder predictivo). La fórmula para la detección de series auto-regresivas es el test Dickey-Fuller, y la mejor bibliografía es el artículo científico escrito por ambos profesores en la revista especializada *Econometrica* [Dickey and Fuller, 1981]. A pesar de ser un artículo contemporáneo, la teoría detrás de la prueba Dickey-Fuller nos permite descartar series de tiempo no-regresivas con poco poder de predicción.

El uso de modelos ensamblados es en cierta forma la prueba final de la hipótesis de trabajo: la utilización de dos modelos entrecruzados cuyos resultados conforman una tabla temporal de valores esperados de los cuales se genera un nuevo modelo sintético de predicción más general y con mayor capacidad de predicción en juegos de datos de validación cruzada. Este concepto es novel; Witten y Frank lo describen como combinación de métodos múltiples, y escriben: “. . .

un enfoque obvio para hacer mejores decisiones es tomar el resultado de diferentes métodos y combinarlos. . .” [Witten and Frank, 2005]. Zhou nos describe que “. . . los modelos ensamblados que entrenan múltiples variables y luego las combinan para uso de entrenamiento, con el Boosting y el Bagging como representantes principales, representan lo más novedoso en el estado del arte de la ciencia de datos. . .” [Zhou, 2012, pag. 5]. De una manera un tanto más coloquial, Zhang y Ma describen el uso de modelos ensamblados con una analogía de la vida real, en la cual los pacientes buscan una segunda y hasta tercera opinión de expertos antes de someterse a una operación complicada [Zhang and Ma, 2012]. Curiosamente tanto Zhang, Ma y Zhou hablan de la combinación de métodos de regresión general con clasificadores, y solo Witten y Frank hablan de otras combinaciones (por supuesto, Witten y Frank comenzaban a escribir en los albores del ensamblaje de métodos, cuando los clasificadores no estaban tan de moda porque el análisis era mayoritariamente de números, algo que cambió con el avance de las redes sociales).

En su libro “Crisis Cambiarias en Países Emergentes” el Dr. Bernardo Carriello utiliza un modelo de descripción (más que de predicción) de corrida de las tasas de cambios, en el cual los regresores incluían variables de medición económicos como crédito privado como porcentaje del PIB, tasa de variación de reservas, desalineación de tipo real, y otros [Carriello, 2010]. Carriello utiliza muchísimo modelos lineales dicotómicos que modelan los escenarios con variables binarias (algo muy común entre los economistas) que por lo general favorecen regresiones logísticas o con la utilización de variables dummy o comodín (se multiplican por el coeficiente uno o cero según tengan o no valor). La mayoría de la bibliografía de aprendizaje automatizado y ciencias de datos prefieren el estudio de variables continuas y reales con amplitud de rango y valores, algo que está más cerca de la disciplina de la bioestadística que de la economía. Una pregunta adicional válida es si tomar metodologías más cercanas a la bioestadística se aplica para la predicción financiera mejor que los modelos dicotómicos actuales.

Volviendo a la pregunta mayor de área, el autor y antiguo Ministro de Economía de Colombia, Alfonso Ortega Cárdenas, menciona como material de bibliografía universitaria, la re-valorización del dólar frente al peso colombiano tras el comienzo de la caída de los precios del petróleo a partir del año 2015 [Cárdenas, 2016]. El Dr. Cárdenas no hace mucho hincapié en la correlación de ambas variables, y prefiere ahondar en temas macro-económicos como la variación de la tasa de interés como elemento de presión en la tasa cambiaria y las leyes de ingreso de capital extranjero.

Pero es claro que el efecto de las fuentes de ingreso del petróleo como variable clave en el valor final de la TRM ya han sido definidas – si bien algo ligeramente – como claves en un libro de texto de economía de Colombia. ¿Hay elementos adicionales que indiquen la importancia de otras fuentes de ingresos como posibles modeladores y variables de predicción de la TRM? Si los hay, y aparecen en la misma bibliografía de Cárdenas quien describe en detalle a) el sector petrolero, b) el sector siderúrgico, c) el carbón, y d) el níquel.

Los autores Castaño, Callejas, Ochoa y Henao de la Facultad de Ciencias Económicas de la Universidad de Antioquia, hacen un trabajo innovador y de avanzada técnicas estadísticas en su artículo científico *Modelando el Esquema de Intervenciones del Tipo de Cambio para Colombia*. En dicho escrito se determina la eficiencia de las intervenciones realizadas por el Banco de la República empleando el modelo teórico del canal de coordinación. Los autores evalúan el efecto que tiene el diferencial de tasas de interés, la variable de intervenciones construida por medio de un modelo *Markov-switching*, y el procedimiento de inversionistas técnicos y fundamentalistas sobre diferentes cuantiles del retorno de la tasa representativa del mercado (TRM). La metodología utilizada son las regresiones de cuantiles bajo redes neuronales [Castaño et al., 2013]. Castaño, Callejas, Ochoa y Henao no son los únicos en utilizar redes neuronales, o una variante de redes neuronales, para entrenar modelos de predicción. Los profesores de la Universidad de Parana, Brasil, Scarpin y Steiner utilizan un modelo de Redes Neuronales Radiales Artificiales para un modelo de pronóstico de reemplazo de artículos vendidos en supermercados [Scarpin and Steiner, 2011]. Sin embargo el modelo propuesto por Scarpin y Steiner necesita alimentarse no solo de la data actualizada de movimientos de producto, sino de un pronóstico inicial de necesidades de niveles de venta. Con una base similar - la necesidad de un pronóstico a priori - pero una metodología diferente, los doctores Wang y Xu crean un marco para pronosticos cooperativos utilizando modelos basados en Pronósticos Combinados de Bayes [Wang and Xu, 2014].

Los investigadores Mehreen Rehman, Gul Muhammad Khan y Sahibzada Ali Mahmud han utilizado la ciencia de datos para la predicción de FOREX. Los autores utilizan CGP (Programación Genética Cartesiana), una extensión del uso de redes neuronales, para obtener predicciones del dólar australiano con 98.72 % de precisión por períodos extendidos de hasta 1,000 días [Rehman et al., 2014]. Los autores alimentan el sistema CGP con información histórica de las monedas en cuestión compuesta por 500 días de cotización.

Quizás menos conocido es el uso de clasificadores versus regresores. Este camino toma el estudio de los doctores Hossein Talebi, Winsor Hoang y Marina Gavrilova. En su investigación en búsqueda de la mejora de sistemas automatizados de corretaje de FOREX utilizando aprendizaje automatizado, los autores proponen un nuevo método de clasificación. Dicho método utiliza extracción de clasificadores de múltiples escalas para el entrenamiento de datos, y luego se ensamblan diferentes clasificadores por voto Bayes ([Talebi et al., 2014]. El método propuesto demuestra superioridad a la hora de ensamblar clasificadores por encima de clasificadores individuales.

Otro estudio interesante es el de los profesores de matemática de la universidad de Beijing Lean Yu, Shouyang Wang, y K. K. Lai. El enfoque es novedoso en el sentido que utilizan un sistema ensamblado de auto-regresión lineal generalizada (GLAR) con redes neuronales artificiales (ANN). Los autores llegan a la conclusión que los resultados en las predicciones son superiores a los resultados de las predicciones de los métodos por separado, o de métodos similares con regresiones lineales [Yu et al., 2005]. Una lectura cuidadosa de los resultados evidencia márgenes de error del 1.56 % al 3.57 %, dependiendo de la moneda a evaluar.

Marco Teórico

La Ciencia de Datos se caracteriza por ser una ciencia multidisciplinaria. A la par de extenso conocimiento de estadística y programación, el científico de datos debe poseer un dominio extremo sobre el campo de acción o *domain expertise* como se le conoce en inglés [Peng and Matsui, 2017]. Este portafolio de conocimiento se refleja de igual manera en el marco teórico del trabajo de investigación, que debe unir, analizar y sintetizar la teoría de la estadística descriptiva e inferencial, el aprendizaje automatizado y los modelos ensamblados para la resolución del problema, y la economía de Colombia para entender el problema en toda su magnitud. Por tales razones se ha decidido desglosar el marco teórico en seis secciones diferentes, cada una con su base de conocimiento distintivo.

1. La Economía de Colombia
2. Regresión Lineal
3. Series de Tiempo

4. La Ciencia de Datos

5. Aprendizaje Automatizado

6. Modelos Ensamblados

Cada una de estas secciones se unen en un todo final para una solución holística del problema de investigación.

Economía de Colombia

Para la creación de un modelo de predicción de la TRM de Colombia, tomando como hipótesis de trabajo que existe un número finito y reducido de variables de aporte que regulan el valor de la misma a través de los ingresos por exportación y su contribución a la economía nacional, se debe primeramente comprender y definir estos conceptos. La sección del marco teórico que cubre la economía de Colombia, tiene como finalidad abarcar los siguientes temas.

1. Definir correctamente el concepto de tasa de cambio y su específico colombiano, la tasa de mercado representativa, desentrañando la formula que usa la Superintendencia Bancaria para su valuación diaria.
2. Entender las bases del comercio internacional de Colombia y cuales son sus principales productos de exportación, sobre todo con el afán de identificar correctamente candidatos como variables de aporte para alimentar de datos el modelo de aprendizaje automatizado.
3. Por último, especificar el funcionamiento de los elementos financieros derivados de compra de divisas tales como los *forward* y su correspondiente reglamentación bajo la leyes de Colombia.

Entender el funcionamiento de la economía de Colombia, sus principales componentes de exportación, y los marcos legales que rigen las estructuras de la TRM y los productos financieros de compra y venta de divisas, nos da luces no solo para entender correctamente el problema, sino para plantear propuestas de solución matemáticas que tengan una amplia correlación entre el modelo abstracto y el comportamiento en la vida real del proceso.

La Tasa de Cambio

La moneda de un país tiene una equivalencia en moneda de otro y ese valor se conoce como tasa de cambio. Explicamos el concepto apoyados en los escritos del autor Mauricio Cárdenas [Cárdenas, 2016]. También es importante explicar porqué los productos de exportación tienen un efecto en la canasta de divisas y la balanza de pagos [Carriello, 2010].

La TRM

Dennis Robertson [Robertson, 1922] definió el dinero como "*todo aquello generalmente aceptado para el pago de una obligación*". El dinero en su forma más simple es el medio de pago de total liquidez, constituido por el *efectivo* (billetes y monedas) y puesto en circulación por la Banca Central y por el *dinero bancario*, correspondiente a los depósitos en bancos comerciales que son transferibles por medio de cheque.

El intercambio de bienes y comercio internacional se realiza tomando como premisa que países con diferente moneda tendrán que llegar a algún tipo de mecanismo para compensar las compras, ventas y pagos de las mismas entre ambos actores. A falta de una moneda común (por lo menos en términos legales) el mecanismo que rige dicha condición de medio de operación es la tasa de cambio.

Concepto: Tasa de Cambio

Para entender el concepto de la tasa representativa de mercado, es importante primero entender el concepto de tasa de cambio. Dicha idea es muy sencilla, y gira entorno al valor de una moneda en relación con otra [Marron et al., 2010]. En épocas pasadas, el tipo de cambio era fijo, pero esta teoría ha quedado atrás con la implementación de tipos de cambio de flotación libre. La preocupación de los gobiernos gira en procurar mantener un determinado tipo de cambio ni estimule la revalorización de la moneda, ni mucho menos genere una devaluación de la misma [Cárdenas, 2016].

Devaluación de la Moneda

Se entiende como devaluación monetaria la pérdida del valor nominal de la moneda nacional frente a otra u otras monedas extranjeras. Las causas generadoras de la devaluación se pueden sintetizar principalmente en dos:

- Falta o disminución de la demanda de la moneda nacional.
- Una mayor demanda de la moneda extranjera por parte de los consumidores y comerciantes de la nación.

En un sistema de cambio libre (dólar de flotación), en el cual la intervención del Banco de la República es nula, la devaluación toma el nombre de *depreciación*.

Apreciación de la Moneda Local

A veces, por causas externas a la economía de un país, la moneda local se ve sobrevaluada, sea por la abundancia de dólares procedentes del exterior o por el ingreso de capitales extranjeros al país. Esto genera que haya más reservas de dólares, provocando que la moneda local se aprecie por la mayor oferta de los capitales extranjeros.

Dólar de Flotación

El 25 de septiembre de 1999, la Junta Directiva del Banco de la República de Colombia optó por desmontar la banda cambiaria y dar paso al dólar flotante. Cuando el precio de la divisa se mueve por libre juego de la oferta y la demanda, sin límite de techos o pisos, se habla de un régimen de flotación. La flotación implica que el Banco de la República no tendrá en adelante ninguna injerencia en la fijación del precio del dólar [Cárdenas, 2016].

Las oportunidades en las cuales el estado ha tratado de varias formas de estabilizar la moneda y el tipo de cambio no han sido pocas. El país ha pasado a través de ciclos de revaluación y devaluación alternados, ambos con impactos negativos para la economía.

1. En el año 2007 el Gobierno Nacional intentó frenar el ingreso de dólares producto de capital golondrina con medidas de cautelas de depósitos de un cuarenta por ciento del valor durante seis meses, tratando de evitar la especulación (Decreto 2466 MINHACIENDA, Junio 2007)
2. La disminución de los capitales y el aumento del desempleo llevó al Gobierno Nacional a desarticular dicha medida en el año 2008 (Decreto 1888 MINHACIENDA, Mayo 2008)
3. En el año 2012 el Banco de la República tomo la estrategia de compras diarias de treinta millones de dólares como forma de mantener la moneda estable y lejos de la apreciación (Empresarios piden bajar tasas de interés por caída del dólar. (Enero 27 del 2012, Portafolio, pp.3)

4. Hacia el año 2014 el Banco de la República, habiendo conseguido su meta de una tasa de cambio estable, redujo notablemente sus esfuerzos de compras de la divisa americana. Lamentablemente hacia mediados del 2015, la caída de los precios del petróleo tuvo un efecto nefasto en la devaluación del peso colombiano, que llegaría a tasas de cambio a finales del año cercanas a los \$3,300 pesos.

La TRM (Tasa Representativa del Mercado)

La Superintendencia Financiera de Colombia es la que calcula y certifica diariamente la TRM con base en las operaciones registradas el día hábil inmediatamente anterior y la define de la siguiente manera (Circular Reglamentaria Externa del Banco de la República DODM-146, 2015):

La tasa de cambio representativa del mercado (TRM) es la cantidad de pesos colombianos por un dólar de los Estados Unidos (antes del 27 de noviembre de 1991 la tasa de cambio del mercado colombiano estaba dada por el valor de un certificado de cambio). La TRM se calcula con base en las operaciones de compra y venta de divisas entre intermediarios financieros que transan en el mercado cambiario colombiano, con cumplimiento el mismo día cuando se realiza la negociación de las divisas.

La Superintendencia Financiera de Colombia no determina el valor de la TRM sino de un elemento derivado de las operaciones de compra y venta de la misma. Son los agentes de operación (exportadores que venden sus productos en dólares y los deben canjear a pesos colombianos e importadores que compran sus productos en dólares y para tal fin cambian sus pesos colombianos). Ambos obedecen a fuerzas del mercado que dan forma y materializan la valorización.

Exportaciones de Colombia

Si bien no buscamos ser expertos en ninguno de los tipos de exportación que hace Colombia, es importante en esta sección describir uno a uno los rubros con mayor contribución, ya que serán nuestras variables independientes para aplicar en el proceso de aprendizaje automatizado y modelar el comportamiento futuro de la TRM.

El Petróleo

Del petróleo se dice que es el energético más importante en la historia de la humanidad, que es un recurso no renovable que aporta el mayor porcentaje del total de la energía que se consume en el mundo. En cuanto a Colombia, hace parte del grupo de países en el mundo que tiene petróleo, sin llegar a ser un país petrolero; su producción para el año 2015 tan solo alcanzó un millón de barriles diarios, de los cuales no todos son clasificados como los mejores, ya que no alcanzan según las normas API el nivel superior a 26 grados [Cárdenas, 2016].

En Colombia los recursos naturales no renovables, entre ellos, los hidrocarburos, son propiedad del Estado. La política petrolera es definida por el Gobierno Nacional a través del Ministerio de Minas y Energía, y hasta el año 2003 Ecopetrol era la empresa encargada de su ejecución.

El Carbón

Colombia, en cuanto a recursos carboníferos se refiere, ocupa dentro de los países latinoamericanos un lugar privilegiado, pues cuenta con las mayores reservas y cuenta con gran variedad de calidades. Este potencial carbonífero está distribuido en las tres cordilleras principales, correspondiendo la mayor parte a la cordillera oriental [Cárdenas, 2016]. Colombia es el país con mayores reservas de carbón en América Latina, cuenta con recursos potenciales de 16,992 millones de toneladas (MT) de los cuales 7,063 MT son medidas, 4,571 MT son indicadas, 4,237 MT son inferidas y 1,119 MT son recursos hipotéticos. Por otra parte, es el sexto exportador de carbón del mundo, con una participación de 6,3 %, equivalente a 50 MT anuales de carbón [Muriel et al., 2005].

La importancia del carbón colombiano, más que por sus características, es por su posición estratégica (particularmente en las minas de la Guajira), pues facilita el acceso al mercado europeo y norteamericano, y porque ha logrado, con relativo éxito, la conquista de dichos mercados por su precio y calidad respecto al de los carbones procedentes de Australia e Indonesia [Cárdenas, 2016]. Con la tasa de explotación actual, las reservas medidas de carbón en Colombia aseguran más de 120 años de producción, suficientes para participar a gran escala en el mercado internacional y abastecer la demanda interna [Muriel et al., 2005]

El carbón, fuente generadora de divisas y de empleo, concentra el 47 % de la actividad minera nacional y representa el 1 % del producto interno bruto colombiano con algo más de 3,4 billones

de pesos [Muriel et al., 2005]. En los últimos años se ha consolidado en el segundo producto de exportación nacional después del petróleo y se estima que bajo las condiciones de mercado actuales, entre el 2010 y 2015 podría superar las exportaciones de petróleo.

El Café

El café es uno de los productos básicos del mundo que más se comercia. Es el principal producto agrícola de Colombia, y de él depende un porcentaje significativo de la economía y el sustento de gran parte de la población. El café Colombiano es reconocido a nivel mundial a través de su marca registrada Juan Valdez. Dado que es una de las exportaciones que continua creciendo, es de esperar que sea una fuente de divisas y exista una correlación estrecha entre el precio del café y el valor de la TRM.

Se cree que los Jesuitas fueron los primeros en cultivar café en Colombia en la región del Orinoco, hacia 1732. Posteriormente, difundieron su cultivo por el sur del país. El párroco de Sálazar de las Palmas, Francisco Romero, ferviente admirador de la planta, impuso como penitencia a sus feligreses la siembra de cafetos según la gravedad de los pecados. Su ejemplo, seguido por otros sacerdotes y así se propagó el café por el nororiente del país. A mediados del siglo XIX el cultivo del café se expandió del norte al centro y occidente del territorio. A finales de ese siglo, se consolidó como cultivo de exportación. Desde cuando comenzaron a tener forma ordenada el cultivo y la actividad exportadora de café en Colombia, el producto ha estado estrechamente ligado al desarrollo y bienestar del país [Echeverri et al., 2005].

Actualmente, el café genera más de 1 millón de empleos permanentes de los cuales 800,000 se ocupan de las labores agrícolas. Más de 500,000 familias se benefician de su cultivo. Todos los cafetales sembrados hasta 1993 estaban en producción y las exportaciones ascendieron a cerca de 532,000 sacos. Para mediados de la década de los 90, el café representaba mucho más de la mitad del valor total de las exportaciones colombianas, y en los años pico de 1995 y 1996 el café significó cerca del 70 por ciento del valor total de las exportaciones. Alrededor de 1 millón de hectáreas están sembradas en café, lo que equivale al uno por ciento del área total de Colombia. Las zonas cafeteras se distribuyen a lo largo de las pendientes de las cordilleras en un microambiente especial de clima templado. La mayor cantidad de cultivos se encuentra en los departamentos de Antioquia, Caldas, Risaralda, Quindío, Tolima y Valle del Cauca [Echeverri et al., 2005]

Colombia tiene, pues, gran tradición como país productor y exportador de café. La actividad cafetera favoreció el aumento y la expansión de la industria manufacturera, el crecimiento de las ciudades, el desarrollo de la infraestructura de transporte, la formación del sector financiero y la vinculación del país al comercio internacional.

El Níquel

El desarrollo de la minería en Colombia, aún en proceso de mejoramiento, muestra el adelanto de la industria del Níquel como una de las que mayores beneficios le han dado al país, al lado de los grandes progresos que se tienen en el sector carbonífero, siendo estas por excelencia las exportaciones tradicionales del país, en lo que compete al sector minero, con el petróleo y carbón [Castañeda et al., 2009].

La importancia del níquel radica en las aleaciones con otros elementos para dar fuerza y resistencia a la corrosión en amplias variaciones de temperatura. Se utiliza principalmente en aleaciones con el hierro y el acero para las fabricaciones de aceros inoxidables empleados en la industria en forma general. En Colombia, los recursos identificados pertenecen al grupo de las lateritas niquelíferas, producto de la alteración de las rocas ultramáficas del conocido sistema tectónico ofiolítico [Cárdenas, 2016].

En Colombia existen seis yacimientos de Níquel, tres de ellos están localizados en la región Caribe, en el departamento de Córdoba (Cerro Matoso, Planeta Rica y Uré). Los tres restantes se encuentran en el departamento de Antioquia (Ituango, Morro Pelón y Medellín) [Castañeda et al., 2009].

Cerro Matoso es una mina de extracción de Níquel integrada con el proceso de fundición, que además combina los depósitos lateríticos de Níquel más ricos del mundo, con una fundición de Ferroníquel a bajo costo, lo cual la ha convertido en uno de los productores de Ferroníquel con más bajo costo de producción en el mundo [Castañeda et al., 2009].

Colombia es el primer productor de Níquel en Suramérica y el tercero en Centroamérica y el Caribe, después de Cuba y República Dominicana. Cerro Matoso aporta el 10 % de la producción mundial de Ferroníquel y un 3 % de la producción mundial de Níquel. La producción industrial se hace en lingotes de Ferroníquel con un contenido de 37,5 % de Níquel [Castañeda et al., 2009].

El Oro

De acuerdo a la Contraloría General de la República, se afirma que en Colombia hay 17 departamentos y 80 municipios donde se llevan a cabo procesos de extracción artesanal, pequeña o industrial de oro y según la UPME, Antioquía y Bolívar poseen la mayor cantidad de minas del país y producen alrededor de 18.8 MT de oro anuales, si bien departamentos como Chocó, Córdoba, Caldas y Tolima también tienen amplia presencia de la actividad extractiva del metal [Casallas and Martinez, 2015].

La actividad de extracción del oro en el país se podría nominar como atomizada, es decir, existen múltiples actividades de extracción en diferentes zonas, la mayoría de las cuales no cuenta con una legalidad o formalización en su actividad. Tomando datos oficiales, existen 4,133 unidades de minería que son equivalentes al 29 % de la minería con o sin título minero, de las cuales 3,584 son ilegales. Esto representa el 40 % del total de la ilegalidad de minería en el país, lo cual indica que de cada cinco unidades ilegales dos pertenecen al oro [Casallas and Martinez, 2015].

Lamentablemente la explotación del oro tiene una connotación negativa en el país. La Dra. Adriana Arango nos ilustra [Arango, 2017]:

Después de la independencia de Colombia, el oro pasó a ser propiedad de la Nación y desde entonces la minería se convirtió en un sector económico regulado por la legislación nacional. Luego de muchos años de explotación, mayormente por la industria, medianos y pequeños mineros, los grupos armados pasaron a tomar parte en el negocio de la minería de oro, ya sea extorsionando mineros y/o extrayendo oro de forma ilegal. Esto ocurrió a partir de las negociaciones formales de paz entre el gobierno y la guerrilla en 2012, donde el oro se convirtió en una actividad económica que sostenía las organizaciones armadas. A pesar de que los grupos insurgentes (FARC y ELN) estaban adquiriendo un promedio de \$600 millones al año, proveniente del negocio de cultivos ilícitos, extorsión, secuestro, ganado robado, y otras fuentes; el oro también se volvió lucrativo debido a su pequeño volumen y su alto valor. El incremento de explotación de oro por parte de grupos armados incrementó con el aumento en el control de cultivos ilícitos en el país. Así, la extracción de oro pasó de 47.8 MT en 2009 a 66.2 MT en 2012, cifra que se ha mantenido hasta el 2016.

Es interesante que los ingresos por la extracción del oro pasan en gran parte por la economía informal. ¿Cuál es el impacto de ingresos informales del oro en la tasa de cambio del dólar en Colombia? Si bien esta no es una pregunta que nos hacemos en el proyecto de investigación, se podrá contestar cuando se mida el coeficiente de determinación y el coeficiente de correlación de Pearson en el capítulo 4 de análisis y discusión de resultados.

El Banano

El banano es el cultivo que ocupa el primer lugar en las exportaciones agropecuarias menores. Las principales zonas de cultivo son las de Urabá (72 % de la producción) y Santa Marta. Los principales problemas en el cultivo son las plagas, los problemas socio laborales, los vientos huracanados y problemas internacionales por la aparición de otros tipos de banano de mejor aceptación. Aunque el volumen de producción de Colombia se ve superado por Ecuador, existen óptimas condiciones para la producción a bajos costos. La fruta es cultivada desde el nivel del mar hasta alturas de 2,200 metros. El consumo nacional ha mejorado y cada vez se han ido extendiendo los cultivos en algunas fincas del Quindío y del Valle del Cauca, intercalando con el plátano [SUÁREZ, 2017].

Colombia ha tenido una relativa larga tradición como productora y exportadora neta de banano de exportación tipo *Cavendish Valery*. La agroindustria bananera se ha desarrollado como una cadena agroexportadora tradicional, generando importantes divisas para el país, manteniendo su posición como exportadora neta, después del café y las flores. En el país existen dos tipos de banano: el banano de exportación y el banano criollo o de consumo interno [FINAGRO, 2017].

- El banano de exportación: las regiones del Golfo de Urabá y el nororiente del departamento del Magdalena, se han especializado en la producción y exportación de banano y plátano con altos niveles de productividad e integración de los productores y comercializadores, gracias a las ventajas comparativas de localización y calidad de los suelos con respecto a otras zonas productoras del mundo.
- El Banano Criollo: El banano criollo (común y murrapo) o de consumo interno, según datos del Ministerio de Agricultura, se produce principalmente en el Valle del Cauca, Tolima y Antioquia y tiene un área cosechada y una producción significativamente menores al de

exportación.

La Asociación De Bananeros De Colombia *AUGURA* es una corporación de derecho civil de interés colectivo, estrictamente gremial, que agrupa a los productores y comercializadoras internacionales de banano de Antioquia y Magdalena, zonas colombianas productoras de la fruta para los mercados internacionales. *AUGURA* como gremio busca asegurar que las exportaciones de banano se consoliden en los mercados internacionales, como resultados de procesos de producción sostenible que garanticen la conservación del recurso humano y natural, una justa distribución del ingreso y el bienestar social de los trabajadores de la industria y de los habitantes de las zonas de producción [AUGURA, 2018].

Las Rosas

Las primeras noticias que se tienen en Colombia de la producción de flores con fines comerciales, es de los primeros años de la década del 30 cuando algunos miembros de la sociedad bogotana, entre ellos granjeros de origen europeo, cultivaron jardines en los solares de las casas, crearon viveros y con ellos los clubes de jardinería. Igualmente por esa época se realizaron las primeras ferias de flores como la Exposición Mundial de Orquídeas en Medellín, primer antecedente de la Feria de las Flores actual [Poveda and Espejo, 2011].

Según Cárdenas y Rodríguez [Poveda and Espejo, 2011], el origen del comercio de flores en Colombia sin embargo fue la visión de un ciudadano norteamericano.

Simultáneamente con los estudios de Cheever y otros estudiantes de las Universidades de Chicago y California, Edgar Wells Castillo un colombiano que residía en Estados Unidos vio en la industria de las flores un excelente negocio ya que las condiciones climáticas de Colombia eran mejores que la tierra y el clima de Estados Unidos. Allí conoció los pormenores de la industria y regreso al país con la ilusión de convertir a Colombia en uno de los principales países productores de flores. Wells junto con otros empresarios iniciaron la aventura de producir flor de corte, inicialmente para abastecer el mercado local pero el gran sueño era exportar a los Estados Unidos. Wells creo una de las primeras empresas de flores del país “Flores Colombianas Ltda.” la cual producía

claveles y crisantemos y en octubre de 1965 enviaron el primer embarque a los Estados Unidos.

La industria de las flores de corte en Colombia se inició con el cultivo del clavel, pompones, crisantemos y rosas. Posteriormente finalizando la década del 70 los cultivos se diversificaron. Con la evolución de los mercados, Colombia tuvo que implementar políticas de diversificación de cultivos para seguir siendo competitivos. En la actualidad se exportan más de 50 tipos de flor y follajes, lo que le ha permitido al país seguir ocupando el segundo lugar de exportaciones en el mundo. Igualmente las regiones se han venido especializando en los cultivos, la Sabana de Bogotá produce rosas, claveles y alstroemerias, Antioquia crisantemos y follajes y Valle y el Eje Cafetero follajes, helechos y flores tropicales. En la actualidad se producen y exportan principalmente rosas 30 %, clavel estándar 13 %, mini clavel 6 %, crisantemos 2 %, pompones 6 %, y otros tipos de flores 33 % [Poveda and Espejo, 2011]

Gasoleo

El petrodiesel es el gasóleo extraído del petróleo. Se diferencia del biodiésel, que es el gasóleo extraído del aceite vegetal. En España se denomina gasóleo al combustible y diésel al motor diésel, aunque en América Latina es más común usar diésel para ambos, en Colombia se lo denomina ACPM, que son las siglas de Aceite Combustible Para Motores. Es una mezcla de hidrocarburos que se obtiene por destilación fraccionada del petróleo entre 250C y 350C a presión atmosférica. El gasóleo es más sencillo de refinar que la gasolina y suele costar menos. Por el contrario, tiene mayores cantidades de compuestos minerales y de azufre.

Compendio de Exportaciones Colombia 2010 al 2016

En la siguiente tabla figura el compendio de las principales exportaciones de Colombia, entre los años 2010 y 2016, que se utilizaron en el estudio para definir los principales regresores a entrenar con el modelo de aprendizaje automatizado.

PRINCIPALES RUBROS DE EXPORTACION COLOMBIA (2010 AL 2016 - USD 000's)		2010	2011	2012	2013	2014	2015	2016
001	Aceites crudos de petróleo o de mineral bituminoso.	13,393,973	23,020,133	26,495,874	27,644,198	25,760,766	12,834,389	8,060,042
002	Hullas térmicas.	5,350,130	7,566,983	7,034,314	6,079,881	6,277,833	4,139,771	4,298,032
003	Los demás cafés sin tostar, sin descafeinar.	1,883,557	2,608,365	1,909,997	1,883,906	2,473,248	2,526,438	2,379,235
004	Oro(incluido el oro platinado), en las demás formas en bruto	1,997,240	2,591,714	3,190,547	2,078,942	1,440,824	956,814	1,392,340
005	Fueloils (fuel).	1,528,495	2,406,184	2,389,241	2,376,618	2,015,562	799,700	711,962
006	Ferroniquel.	967,338	826,621	881,169	680,124	640,595	429,753	327,765
007	Bananas o plátanos frescos del tipo "cavendish valery".	694,415	769,779	763,830	707,601	767,592	748,280	848,689
008	Gasóleos (gasóleo).	522,892	736,212	911,160	843,701	182,037	55,663	593,902
009	Coques y semicoques de hulla, incluso aglomerados.	494,008	540,006	505,813	433,648	433,648	302,324	245,903
010	Rosas frescas, cortadas para ramos o adornos.	375,960	381,228	363,404	365,189	371,574	315,498	304,267
011	Polipropileno	219,932	266,774	280,319	290,016	296,426	255,748	212,170
012	Policloruro de vinilo	64,730	249,035	229,186	261,309	244,828	210,107	188,733
013	Aceite de palma en bruto	47,365	154,949	144,854	115,675	168,884	213,534	208,586
014	Esmeraldas	108,003	128,435	116,914	121,730	134,318	141,927	137,853
TOTAL EXPORTACIONES		39,819,529	56,953,516	60,666,537	58,821,870	54,794,812	35,690,776	31,044,991
PORCENTAJE CUBIERTO		68.3%	72.8%	73.3%	73.3%	73.7%	64.7%	61.7%

Figura 2.1: Principales Rubros de Exportación Colombia 2010-2016

Regresión Lineal

La regresión lineal es el punto de entrada más sencillo de entender y aplicar en la Ciencia de Datos. Parte de esto se debe a que la regresión lineal es aplicable en muchos casos a una gran gama de problemas de predicción en los cuales el científico de datos cuenta con una base de datos o juego de datos lo suficientemente grande y accesible para entrenar un modelo [Daroczi, 2015]. La segunda razón es que un modelo bien entrenado de regresión lineal por lo general nos da una respuesta con cierto grado de precisión que da por cerrado el caso [Leek, 2015].

El concepto en sí es relativamente sencillo de abstraer y explicar. En una visualización de datos donde un valor y se corresponde con alguna relación del valor x , para cada x y y , es posible trazar una línea que en cierta forma sea representativa del valor de predicción de y para cada x . Esta línea puede no ser perfecta, o puede dejar muchos puntos sin una relación válida (a menos en el papel de gráfico) pero nos da una idea aproximada de la tendencia y evolución de los datos.

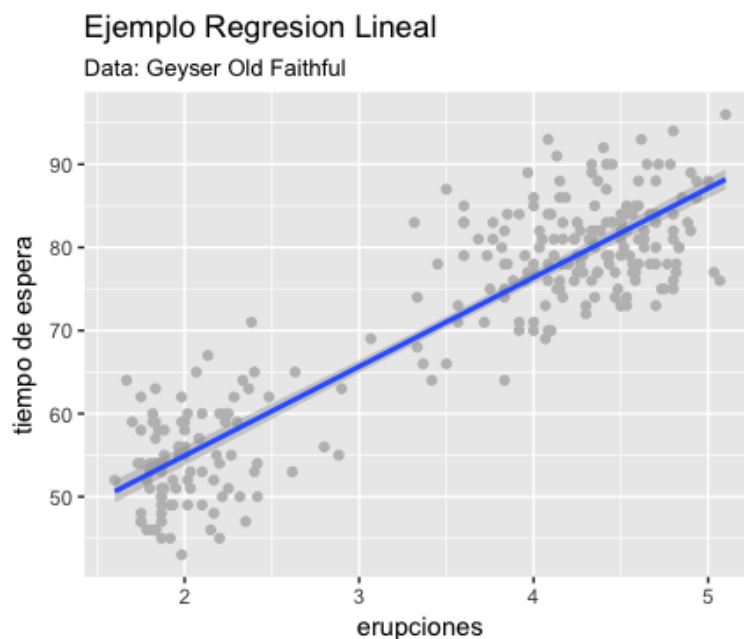


Figura 2.2: Ejemplo de Regresión Lineal con Old Geyser

Zumel y Mount describen la regresión lineal como el más común de los métodos de aprendizaje automatizado [Zumel and Mount, 2014]. Para los autores hay una probabilidad muy grande que el método funcione bien con el problema, y si no, es muy fácil verificar cual otro método probar

como segunda opción. Para Daroczi, el énfasis está en los modelos de regresión multivariable (una extensión de la regresión lineal simple de un solo predictor y resultado) que construyen el camino para la predicción de fenómenos complejos en la naturaleza y negocios [Daroczi, 2015]. Por su parte, Harrington resume los beneficios de la regresión lineal [Harrington, 2012] por la facilidad de interpretar los resultados y lo frugal en el uso de ciclos de computación (aunque puede ser menos útil si el fenómeno no es perfectamente lineal).

Definición de Regresión Lineal

Downey describe la regresión lineal como aquella que está basada en modelos de funciones lineales [Downey, 2014]. Para Mann y Lacke la regresión lineal es aquella que se da como una función lineal entre dos variables, y la cual se puede dibujar en el plano cartesiano como una recta [Mann and Lacke, 2010]. Yau por su lado, define la regresión lineal simple como el modelo que describe la relación entre dos variables, x y y , expresada por la ecuación de regresión lineal, donde α y β son parámetros y ϵ es el término de error [Yau, 2013]. Para García, López y Calvo, el primer paso para el estudio de la relación entre las variables consiste en la construcción y observación de un diagrama de dispersión. El problema de la regresión se concreta entonces en ajustar una función a la nube de puntos representada en dicho diagrama. Esta función permitirá entonces obtener, al menos de forma aproximada, una estimación del valor de una de las variables a partir del valor que tome la otra [García et al., 2011].

La fórmula a la que hacemos referencia en la definición de Yau, y la que utilizan los otros autores, es la siguiente:

$$Y_i = \beta_0 + \beta_1 X_i + \epsilon_i \quad (2.1)$$

Dentro del aprendizaje automatizado la regresión tiene su propia interpretación donde se asume que el modelo está definido por un juego de parámetros [Alpaydin, 2010]:

$$y = g(x \mid \theta) \quad (2.2)$$

donde $g(\cdot)$ es el modelo y θ son sus parámetros. Y es un número dentro de una regresión y $g(\cdot)$ es la función de la regresión. El programa de aprendizaje automatizado optimiza los parámetros θ

de forma que el error de aproximación sea mínimo, o en otras palabras, que los valores estimados sean los más cercanos a los valores reales del juego de entrenamiento.

Los parámetros β_0 y β_1 determinan el punto en el que la función intercepta la ordenada y la pendiente de la función. Podemos profundizar estos dos puntos aún más:

- el punto de intercepción es la predicción del valor de y cuando $x = 0$.
- la pendiente β_1 representa la predicción del aumento de y con cada unidad que incrementa x

Notemos que las observaciones no están dispuestas en una línea recta, sino que se encuentran dispersas alrededor de esta. Debemos pensar de cada observación $\beta_0 + \beta_1 x_i$ como la parte sistemática del modelo, y ϵ_i como el error aleatorio. Este margen de error no es un error per se, pero una desviación del modelo lineal [Hyndman and Athanasopoulos, 2014]. Asumimos que el factor de error cumple con los siguientes requisitos.

1. tiene media cero
2. no contiene autocorrelación
3. no está relacionado con la variable predictor

Se espera que la distribución de los errores sea normal con varianza constante para producir pronósticos precisos.

Estimación con Mínimos Cuadrados

En la práctica se tiene un juego de valores y no los mismos de β_0 y β_1 . Estos necesitan ser calculados en base al juego de datos en lo que se conoce como el calce o ajuste de la línea a través de los datos. Hay muchas posibles líneas que calcen en el modelo con diferentes valores para β_0 y β_1 . El método de mínimos cuadrados provee una forma de seleccionar valores para β_0 y β_1 minimizando la suma del error cuadrático [García et al., 2011]:

$$\sum_{i=1}^N \epsilon_i^2 = \sum_{i=1}^N (y_i - \beta_0 - \beta_1 x_i)^2 \quad (2.3)$$

Utilizando cálculo matemático, se ha demostrado que los estimados de los mínimos cuadrados son:

$$\begin{aligned}\hat{\beta}_1 &= \frac{\sum_{i=1}^N (y_i - \bar{y})(x_i - \bar{x})}{\sum_{i=1}^N (x_i - \bar{x})^2} \\ \hat{\beta}_0 &= \bar{y} - \hat{\beta}_1 \bar{x}\end{aligned}\tag{2.4}$$

Limitaciones de la Regresión Lineal

Aunque el análisis de la regresión lineal y la derivación del coeficiente de correlación parecen un método muy adecuado para estudiar la relación entre dos variables, hay que indicar que tiene importantes debilidades [García et al., 2011]. En particular:

- Tanto la recta de regresión como el coeficiente de correlación no son robustos, en el sentido de que resultan muy afectados por medidas particulares que se alejen mucho de la tendencia general.
- No hay que olvidar que el coeficiente de correlación no es más que una medida resumen. En ningún caso puede substituir al diagrama de dispersión, que siempre habrá que construir para extraer más información. Formas muy diferentes de la nube de puntos pueden conducir al mismo coeficiente de correlación.
- El que en un caso se obtenga un coeficiente de correlación bajo no significa que no pueda existir correlación entre las variables. De lo único que nos informa es de que la correlación no es lineal (no se ajusta a una recta), pero es posible que pueda existir una buena correlación de otro tipo.
- Un coeficiente de correlación alto no significa que exista una dependencia directa entre las variables. Es decir, no se puede extraer una conclusión de causa y efecto basándose únicamente en el coeficiente de correlación. En general hay que tener en cuenta que puede existir una tercera variable escondida que puede producir una correlación que, en muchos casos, puede no tener sentido.

Regresión Multi-Variable

Para Downey [Downey, 2014], la regresión múltiple es aquella en la cual se utilizan múltiples variables independientes, pero una sola variable dependiente.

El Dr. Tattar de la Universidad de Bangalore define que el modelo de regresión línea simple no es realista ni aplicable al mundo práctico [Narayanachar, 2013]. Para aplicaciones más reales, es casi obligatorio el uso de modelos de regresión múltiple, en los cuales varias variables independientes se conjugan como parámetros de regresión.

La regresión multivariable no es un tema mayormente complicado en teoría cómo lo es en llevar a la práctica. No todos los ejemplos de regresiones multivariadas nos van a llevar a funciones lineales, sino que estamos tocando el límite entre regresión lineal y métodos de regresión general con funciones no lineales que pueden necesitar de transformaciones matemáticas para obtener un modelo apropiado [Daroczi, 2015]. Aquí también se explica la selección de un modelo con múltiples variables independientes y cuales conviene seleccionar [Viswanathan and Viswanathan, 2015].

La mayor parte de la teoría de esta sección sigue el desarrollo de la fórmula:

$$Y_i = \beta_0 + \beta_1 X_1 + \beta_2 X_2 + \cdots + \epsilon_i \quad (2.5)$$

Para medir el nivel de relación entre una variable de predicción y otra de respuesta sobre el modelo de regresión lineal tradicional. Pero si se trata de modelos más complejos donde una serie de variables pueden estar afectando el resultado, es necesario utilizar un modelo multivariable. Una variable oculta [García et al., 2011] o confundidora [Daroczi, 2015] es aquella que sesga (incrementa o disminuye) el valor de la asociación que se analiza. En este sentido una variable confundidora siempre está asociada con la respuesta y el predictor. Los modelos de regresión en general se entienden como formas de medir la asociación entre respuestas y predictores controlando el efecto de terceros. Confundidores potenciales se agregan al modelo como predictores adicionales, y el coeficiente de regresión del predictor (el coeficiente parcial) mide el efecto de la regresión ajustada por los confundidores [Daroczi, 2015].

Presunción del Modelo

Los modelos de regresión lineal que utilizan los métodos tradicionales de estimación hacen un número de presunciones sobre el resultado de las variables estimadas, las variables regresores, y su relación [Daroczi, 2015].

1. Y es una variable continua (no es binaria, nominal u ordinal)
2. La variación aleatoria (los errores residuales) son estadísticamente independientes
3. Existe una relación estocástica lineal entre Y y cada X
4. Y tiene una distribución normal, si tomamos X fijo
5. Y tiene la misma varianza, más allá del valor fijo de las X 's

Una violación del precepto 2 ocurre en el análisis de series de tiempo, si se utiliza el tiempo como variable de predicción. Dado que los años consecutivos no son independientes, el error no será independiente tampoco. Una violación del precepto 3 ocurre cuando la relación no es exactamente lineal sino que existe una desviación de la línea de tendencia. Los preceptos 4 y 5 requieren que la distribución condicional de Y sea normal y tenga la misma varianza, sin importar los valores correspondientes de las X 's. Finalmente el precepto 5 se conoce como *homocedasticidad*, y en caso contrario la regresión se ve afectada por el efecto de *heterocedasticidad*.

Calce de los Datos

Llegar a un modelo de regresión lineal no significa llegar a una solución óptima, ni mucho menos. Los datos pueden calzar de forma muy elástica dentro del modelo, por lo que debemos recurrir a ciertas medidas para verificar si el modelo tiene algún poder predictivo de uso científico. Decimos que existe una correlación lineal en el grado en que la nube de puntos representada en el diagrama de dispersión se acerca a una recta. Cuanto mejor se aproxime dicha nube a una recta, mayor será el grado de correlación lineal [García et al., 2011]. De esta forma, el estudio de la correlación lineal está íntimamente ligado al de la regresión lineal. Distinguiremos dos tipos de correlación lineal. Cuando al crecer la variable x , la variable y tienda también a aumentar

(pendiente positiva de la recta de regresión) diremos que tenemos una correlación positiva o directa. Cuando ocurra lo contrario, la correlación será negativa o inversa [García et al., 2011].

Covarianza de una Correlación Lineal

Evidentemente, la simple observación del diagrama de dispersión proporciona una idea cualitativa del grado de correlación. Sin embargo, es claramente más útil disponer de una medida cuantitativa de dicha correlación. Una primera cuantificación de la correlación se puede obtener a partir de la covarianza. Puede observarse que, en el caso de una clara correlación lineal positiva, la mayor parte de los puntos de datos estarán en el segundo y tercer cuadrante, de forma que, cuando x_i sea mayor que \bar{x} , también y_i tenderá a ser mayor que \bar{y} , y al revés. Por tanto, la mayoría de los términos del sumatorio serán positivos y la covarianza alcanzará un valor alto. Por el mismo argumento, si existe correlación lineal negativa, la mayoría de los términos del sumatorio serán negativos y la covarianza tendrá un valor alto y negativo. En el caso de que no hubiese correlación y los puntos estuviesen repartidos en los cuatro cuadrantes, aparecerían por igual términos positivos y negativos, que se anularían dando un valor muy bajo, en valor absoluto, de la covarianza. En resumen, la covarianza es una medida de la correlación lineal entre las dos variables [García et al., 2011].

R - Coeficiente de Correlación de Pearson

La utilidad de la covarianza como medida de correlación está limitada por el hecho de que depende de las unidades de medida en que se trabaje. Para construir una medida adimensional de la correlación habrá que dividir la varianza por un término con sus mismas dimensiones. De esta forma, se define el *coeficiente de correlación lineal* R como el cociente entre la covarianza y las desviaciones típicas (o raíces cuadradas de las varianzas) de x e y [García et al., 2011].

El coeficiente de correlación también se conoce como *coeficiente de correlación de Pearson* mide la relación lineal entre dos variables aleatorias cuantitativas. La correlación de Pearson es independiente de la escala de medida de las variables, lo que permite tener comparaciones mucho más objetivas independiente del fenómeno estudiado. De manera menos formal, podemos definir el coeficiente de correlación de Pearson como un índice que puede utilizarse para medir el grado de relación de dos variables siempre y cuando ambas sean cuantitativas [Mann and Lacke, 2010].

$$R = \frac{\Sigma(x_i - \bar{x})(y_i - \bar{y})}{\sqrt{\Sigma(x_i - \bar{x})^2 \Sigma(y_i - \bar{y})^2}} \quad (2.6)$$

R2 - Coeficiente de Determinación

El coeficiente de determinación - denominado R^2 - es un estadístico usado en el contexto de un modelo estadístico cuyo principal propósito es predecir resultados futuros o probar una hipótesis. El coeficiente determina la calidad del modelo para replicar los resultados, y la proporción de variación de los resultados que puede explicarse por el modelo [Daroczi, 2015]. El coeficiente de determinación, puede interpretarse como la fracción de la variación total que se explica por la recta de regresión. Así, un coeficiente de correlación próximo a +1 o -1 indica que casi todas las variaciones encontradas en y son explicadas por la recta (teniéndose una buena correlación), mientras que si R es 0, la recta de regresión apenas sirve para explicar las variaciones y la correlación lineal será pobre. Como ejemplo, si $R = 0,95$, podemos deducir que aproximadamente el 90 % de las variaciones de y son debidas a la regresión lineal.

En el caso de regresión lineal, la formula del coeficiente de determinación sigue la siguiente forma:

$$R^2 = \frac{\sigma_{XY}^2}{\sigma_X^2 \sigma_Y^2} \quad (2.7)$$

Valor de p

La evaluación de una hipótesis emerge como un componente crucial en la toma de decisión cuando dos opciones compiten como solución de un problema. La evaluación estadística de la hipótesis provee un marco formal y guías para hacer tal selección [Downey, 2014]. Una hipótesis estadística es una afirmación o conjetura que se hace sobre una, o varias, características de una población. Ejemplos de dichas afirmaciones incluyen el que la media de una población tenga un determinado valor, o que los valores de una variable presenten menor dispersión en torno a un valor medio en una población comparada con la dispersión en otra, etc. Evidentemente, la forma más directa de comprobar tales hipótesis sería estudiando todos y cada uno de los elementos de la población. Sin embargo, frecuentemente esto no es posible (la población podría ser incluso

infinita), por lo que el contraste de la hipótesis ha de basarse en una muestra, que supondremos aleatoria, de la población en estudio. Al no estudiarse la población entera, nunca podremos estar completamente seguros de si la hipótesis realizada es verdadera o falsa. Es decir, siempre existe la probabilidad de llegar a una conclusión equivocada [García et al., 2011].

Una prueba estadística de hipótesis está formada de cinco partes [Mendehall et al., 2010]:

1. La hipótesis nula, denotada por H_0
2. La hipótesis alternativa, denotada por H_a
3. El estadístico de prueba y su valor p
4. La región de rechazo
5. La conclusión

Las dos hipótesis en competencia son la hipótesis alternativa H_a , generalmente la hipótesis que el investigador desea apoyar y la hipótesis nula H_0 , una contradicción de la hipótesis alternativa. Es más fácil presentar apoyo para la hipótesis alternativa al demostrar que la hipótesis nula es falsa. En consecuencia, el investigador estadístico siempre empieza por suponer que la hipótesis nula H_0 es verdadera. El investigador utiliza entonces los datos muestrales para decidir si la evidencia está a favor de H_a más que de H_0 y saca una de dos conclusiones:

- Rechaza H_0 y concluye que H_a es verdadera.
- Acepta (no rechaza) H_0 como verdadera

La decisión de rechazar o aceptar la hipótesis nula está basada en información contenida en una muestra sacada de la población de interés. Esta información toma estas formas:

- **Estadística de prueba:** un solo número calculado a partir de los datos muestrales
- **Valor p:** probabilidad calculada usando la prueba estadística

Cualquiera de estas mediciones, o ambas, actúan como quienes toman decisiones para el investigador al decidir si rechazar o aceptar H_0 [Mendehall et al., 2010]. Un valor de p por debajo de 0.05 puede interpretarse como que la regresión es estadísticamente significativa [Daroczi, 2015].

Series de Tiempo

Muchos autores han escrito sobre las series de tiempo, pero es difícil agregar al tema o discutir las ideas del profesor Robert Hyndman, uno de los expertos más respetados en la comunidad de la estadística por su trabajo en las series de tiempo. Hyndman extiende la teoría a las series de tiempo como elementos de pronóstico y su relación con la regresión lineal [Hyndman and Athanasopoulos, 2014]. Desde el punto de vista técnico, Hyndman es el creador de varias bibliotecas de funciones de pronóstico utilizando series de tiempo y ARIMA en lenguaje R. Dentro de la bibliografía, Daroczi es quien agrega detalles sobre la detección temprana de valores atípicos que pueden dificultar – y mucho – el análisis [Daroczi, 2015].

Introducción a las Series de Tiempo

Las series de datos son muy útiles para pronosticar algo que cambia con el tiempo. Ejemplos de estas cantidades que varían con el tiempo incluyen acciones en la bolsa de valor, cifras de ventas, y otro tipo de información cuantitativa [Hyndman and Athanasopoulos, 2014].

Una serie de tiempo es una serie de datos indexada en orden temporal. Comúnmente una serie de datos es una secuencia de datos tomados a puntos sucesivos y equidistantes en el tiempo, lo que la convierte en una secuencia de datos discretos en el tiempo. En forma general cualquier cosa que observamos secuencialmente en el tiempo es una serie de tiempos [Hyndman and Athanasopoulos, 2014]. La literatura académica se concentra en series de tiempo que se observan en intervalos regulares de tiempo, aunque aquellas que se observan en intervalos irregulares también existen.

El análisis de las series de tiempo es el uso de métodos para extraer estadísticas interesantes y otras características de los datos. El pronóstico de series de tiempo es el uso de modelos para predecir valores futuros basados en valores observados en el pasado. En el pronóstico de series de tiempo, la idea principal es estimar cómo la secuencia de observaciones continuará en el futuro. El pronóstico de series de tiempo utiliza solamente información de la variable a ser pronosticada, y no hace intento alguno de descubrir cuales son los factores que motivan este comportamiento (en análisis de regresión diríamos que buscamos las variables de confusión). Por lo tanto el análisis de series de tiempo extrapola la tendencia secular y los patrones cíclicas, pero ignora todo otro

tipo de información que puede afectar el movimiento de la variable estudiada, como pueden ser en la vida real efectos de la publicidad en el lanzamiento de un producto, la tasa de cambio en las ventas, o actividades de riesgo en el precio internacional de materias primas.

Podemos ver un ejemplo de serie de tiempo si tomamos los valores de la TRM (la Tasa Representativa de Mercado, el nombre oficial de la tasa de cambio del dólar en Colombia) en la siguiente gráfica:

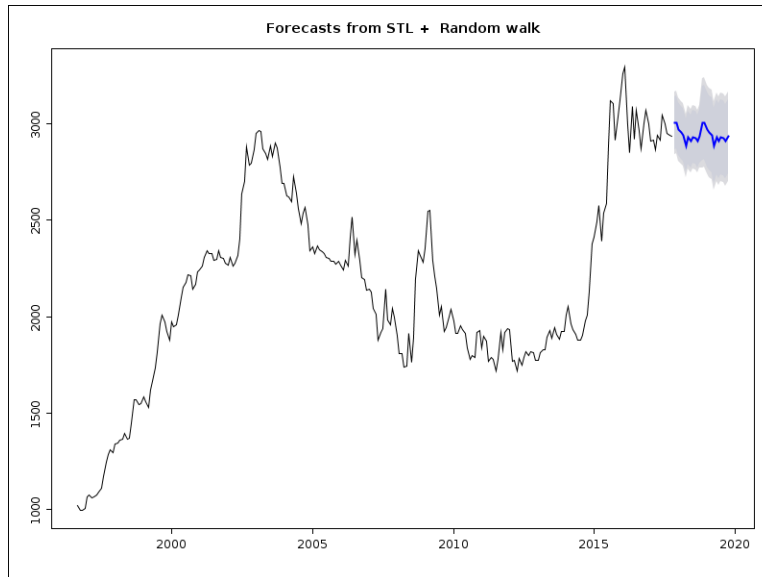


Figura 2.3: Ejemplo de Pronóstico con Descomposición STL (Fuente Hyndman and Athanasopoulos)

La línea negra es la variación de la TRM a lo largo del tiempo (en este caso, desde el año 1980 hasta el 2017). La línea azul es el pronóstico del valor de la TRM según la función `forecast()` del lenguaje R. La zona gris comprenden el intervalo de confianza del pronóstico, la cual nos da una idea más real de como puede fluctuar el pronóstico dentro del mismo.

La forma de una ecuación de series de tiempo se puede escribir en los siguientes términos:

$$x(t+1) = f(x_t, x_{t-1}, x_{t-2}, \dots, error)$$

Es posible utilizar predictores en el pronóstico de series de tiempo. Un ejemplo utilizando el tema de investigación de este mismo trabajo es el pronóstico de la TRM, la cual estimamos es el resultado de varios factores:

$$TRM = f(\text{demanda dólar, tasa interés, turismo, error})$$

La relación no es exacta, sino que siempre habrá factores por lo cuales el modelo no puede responder. Estas variaciones están previstas en el término error dentro del modelo. Este tipo de modelo se llama *modelo explicativo*.

Las series de tiempo se suelen catalogar en aditivas y multiplicativas.

- Las series aditivas son aquellas cuya variación en la estacionalidad, o variación en el ciclo o tendencia secular, no aumentan de forma proporcional al avance del tiempo.
- Las series multiplicativas son aquellas cuya variación en la estacionalidad, o variación en el ciclo o tendencia secular, aumentan de forma proporcional al avance del tiempo. Las series multiplicativas son comunes en ciencias como la economía y finanzas.

Pronóstico con Series de Tiempo

Los pronósticos con series de tiempo utilizan solamente la información disponible de la variable que se propone pronosticar, sin hacer intento alguno por descubrir los factores adicionales que condicionan su comportamiento. Por lo tanto se extrapolan las tendencias y patrones temporales, pero se ignora toda la información adicional como pueden ser iniciativas de publicidad, actividad de la competencia, cambios en las condiciones económicas y otros [Hyndman and Athanasopoulos, 2014].

Patrones

Las series de tiempo pueden descomponerse según su patrón o tendencia en tres elementos que las componen [Velazco, M., 2017]. A saber:

1. Tendencia Secular: la tendencia secular o tendencia a largo plazo de una serie de tiempo es por lo común el resultado de factores a largo plazo. La tendencia no tiene porque ser lineal. Además es común ver que la tendencia cambia de dirección, ascendente o descendente [Hyndman and Athanasopoulos, 2014].
2. Variación Estacional: Es el componente de la serie de tiempo que representa la variabilidad de los datos debido a la influencia de las estaciones. El componente de estacionalidad es siempre fijo [Hyndman and Athanasopoulos, 2014]

3. Variación Irregular: Esta variación se debe a factores a corto plazo, imprevisibles, y no recurrentes que afectan la serie de tiempo. Algunos autores llaman a estas variaciones *cíclicas*.

Es importante saber distinguir entre los patrones cíclicos y estacionales. Los patrones estacionales tienen una duración fija y conocida en su extensión, mientras que los patrones cíclicos son mucho más extensos que los patrones estacionales y la duración de su magnitud es variable. La forma más sencilla es identificar los ciclos de estación con el calendario, por ejemplo los aumentos de tráfico en los centros comerciales en las fiestas de fin de año [Hyndman and Athanasopoulos, 2014].

Auto Correlación

De igual manera que una correlación mide la extensión de una relación linear entre dos variables, la autocorrelación mide la relación linear entre dos valores retrasados de series de tiempo [Hyndman and Athanasopoulos, 2014].

El valor de una autocorrelación para un r_k dado es:

$$r_k = \frac{\sum_{t=k+1}^T (y_t - \bar{y})(y_{t-k} - \bar{y})}{\sum_{t=1}^T (y_t - \bar{y})^2}$$

donde T es el valor de período temporal de la serie de tiempo.

El autor Daroczi agrega como metodología para la verificación de autocorrelación en un juego de datos (no solo una serie de tiempos, sino cualquier juego de datos espacial) el *Índice I de Moran* [Daroczi, 2015]. Dicho índice está dado por la formula:

$$I = \frac{N}{W} \frac{\sum_i \sum_j w_{ij} (x_i - \bar{x})(x_j - \bar{x})}{\sum_i (x_i - \bar{x})^2}$$

Los coeficientes de autocorrelación se visualizan a través de un gráfico de la función de autocorrelación o ACF (también llamado correlograma). Dicho gráfico analiza las relaciones entre valores retrasados de la serie de tiempo. Podemos utilizar la serie de tiempo representativa de la TRM para visualizar su gráfica de ACF.

Las series de tiempo que no muestran efectos de autocorrelación se denominan *ruido blanco*. En dichas series se espera que los coeficientes de correlación sean cercanos a cero. Esto de por sí es

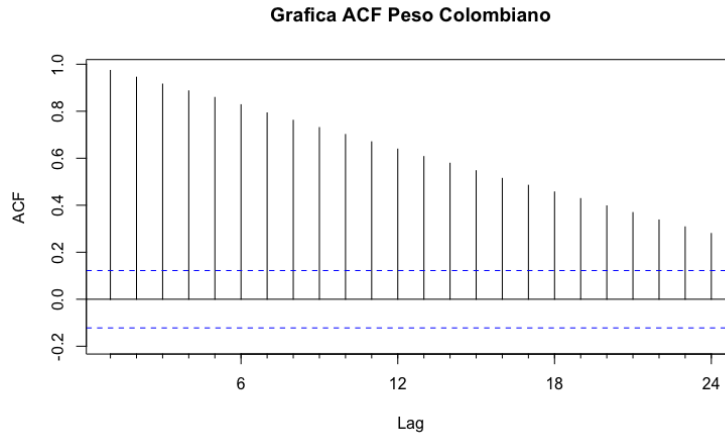


Figura 2.4: Correlograma del Peso Colombiano (Fuente propia)

difícil, ya que toda serie de tiempo tendrá cierta variación aleatoria, pero en términos matemáticos esperamos que la serie tenga variaciones que 95 % del tiempo estén dentro de la región de $\pm 2/\sqrt{T}$ donde T es la extensión de la serie de tiempo. Si hay una o más series de magnitud fuera de estos límites, o si el 5 % o más de las series están fuera de estos límites, es muy probable que no sea ruido blanco [Hyndman and Athanasopoulos, 2014].

Existe una prueba adicional de autocorrelación que utiliza todo un grupo de datos r_k en vez de tratarlos por separado. El racional para el proceso es que la visualización normal de una gráfica ACF es un test de hipótesis para cada retraso entre series. Cuando se hacen múltiples de estos test, la probabilidad de encontrar un falso positivo incrementa. Se evita este problema evaluando si las autocorrelación de los primeros h valores es diferente de una serie de ruido blanco. El test de un grupo de valores con autocorrelación se conoce como un test *portmanteau*. Uno de los más utilizados es el test *Box-Pierce*:

$$Q = T \sum_{k=1}^h r_k^2$$

donde h es el retraso máximo considerado y T es el número de observaciones. Si cada uno de los r_k es cercano a cero, entonces Q será mínimo. Si alguno de los valores de r_k son grandes (ya sea positivos o negativos), entonces Q será grande. Hyndman y Athanasopoulos sugieren utilizar $h = 10$ para data no estacional y $h = 2m$ para datos con estacionalidad, donde m es el número de estaciones, por ejemplo 4 para trimestres [Hyndman and Athanasopoulos, 2014]. El test *Box-*

Pierce tiende a no ser confiable con valores grandes de h . Si $h > T/5$ es recomendable utilizar $h = T/5$.

Un test relacionado - y más preciso - es el test *Ljung-Box*:

$$Q^* = T(T+2) \sum_{k=1}^h (T-k)^{-1} r_{k'}^2$$

Si el valor de Q^* es grande, las autocorrelaciones no provienen de una serie de ruido blanco.

Precisión del Pronóstico

Para el estudio de la precisión del pronóstico de series de tiempo, sea y_i la observación i de datos y \hat{y}_i el pronóstico de y_i .

Errores dependiente de la Escala

El error del pronóstico es la diferencia $e_i = y_i - \hat{y}_i$, que está en la misma escala que los datos. Las medidas de precisión que dependen de e_i son dependientes de la escala y no se pueden utilizar para hacer comparaciones entre series de tiempo de diferentes escalas. Las dos formas que se utilizan comúnmente para medir la precisión del pronóstico de series de tiempo dependiente de escalas están basadas en el error absoluto o error cuadrático [Hyndman and Athanasopoulos, 2014]. Se trata de:

$$\begin{aligned} \text{Error Promedio Absoluto (MAE)} &= \text{promedio}(|e_i|) \\ \text{Error Promedio Cuadrático (RMSE)} &= \sqrt{\text{promedio}(e_i^2)} \end{aligned}$$

La tendencia al comparar precisión en un solo juego de datos es utilizar el MAE ya que es mas sencillo y simple de entender.

Errores Porcentuales

Un error porcentual es del tipo $p_i = 100e_i/y_i$. Los errores porcentuales son independientes de la escala, y se utilizan con facilidad para comparar errores en la precisión de múltiples juegos de

datos. Es error porcentual más común es:

$$\text{Error Promedio Porcentual Absoluto (MAPE)} = \text{promedio}(|p_i|)$$

Las medidas basadas en errores porcentuales tienen la debilidad de ser infinitas o indefinidas cuando $y_i = 0$ para cualquier i . Esto también ocurre cuando un y_i tiende a cero.

Descomposición de Series de Tiempo

La descomposición de las series de tiempo facilita el análisis y la investigación exploratoria de los datos. Una de las formas mas sencillas de lograr esto es la aplicación de promedios móviles, lo cual se facilita mucho en R con el uso de la función `decompose()` [Daroczi, 2015].

Pensemos en la serie de tiempo y_t compuesta por tres factores: un componente estacional, un componente de tendencia (que contiene tanto tendencia secular como cíclica) y un último componente que contiene cualquier otro resto de información importante. Podemos entonces escribir una serie de tiempos aditiva como:

$$y_t = S_t + T_t + E_t$$

donde y_t es la data en el período t , S_t es el componente estacional en el período t , T_t es el componente de tendencia-ciclo en el período t , y E_t es el componente de error en el período t . De forma alternativa podemos escribir una ecuación similar para los modelos de series de datos multiplicativos como:

$$y_t = S_t * T_t * E_t$$

El modelo aditivo es más apropiado si la magnitud de las fluctuaciones estacionales o la variación alrededor del ciclo o tendencia no varía con los niveles de la serie de tiempo (ejemplo: el avance del tiempo). Cuando la variación se da, o sea es proporcional con el avance del tiempo en la serie, un modelo multiplicativo es más apropiado. Este es el caso de la mayoría de las series de tiempo en la economía [Hyndman and Athanasopoulos, 2014].

Datos Ajustados Estacionalmente

Si el componente de estacionalidad se elimina de la serie de datos original, los valores resultantes se denominan *ajustados estacionalmente*. Para un modelo aditivo, el ajuste por estacionalidad se da por $y_t - S_t$. Para un modelo multiplicativo este se da por y_t / S_t . Si la variación por estacionalidad no es de importancia, la serie ajustada por estacionalidad puede ser útil. Estos casos se dan por ejemplo con los datos de desempleo mensual, los cuales se saben tienen variación estacional que altera la lectura real del cambio.

Métodos de Descomposición de Series de Tiempo

Existen múltiples métodos de descomposición de series de tiempo. En nuestro marco teórico tocaremos brevemente los de promedios móviles, promedios móviles ponderados, STL, suavizar exponencialmente, y ARIMA.

Promedios Móviles

El método de promedios móviles origina de los años 1920 y fue ampliamente utilizado hasta los 1950. Hasta el día de hoy es la base de todos los otros métodos modernos de descomposición. El fundamento del mismo es utilizar los promedios móviles para estimar la tendencia o ciclo [Hyndman and Athanasopoulos, 2014]. La descomposición por promedios móviles toma la forma siguiente:

$$\hat{T}_t = \frac{1}{m} \sum_{j=-k}^k y_{t+j}$$

donde $m = 2k + 1$. Esto significa que el estimado de la tendencia/ciclo en el momento t se obtiene promediando los valores de la serie de tiempo dentro de k períodos de t valores.

Promedios Móviles Ponderados

Es posible obtener promedios móviles de los promedios móviles. Combinaciones de estos nos dan promedios ponderados. Por ejemplo un modelo 2X4-MA, que es un promedio de promedios móviles, es el equivalente a un modelo 5-MA con ponderaciones dadas por el vector de pesos

$[\frac{1}{8}, \frac{1}{4}, \frac{1}{4}, \frac{1}{4}, \frac{1}{8}]$ [Hyndman and Athanasopoulos, 2014]. La forma de escribir un modelo de promedios móviles ponderados es la siguiente:

$$\hat{T}_t = \sum_{j=-k}^k a_j y_{t+j}$$

donde $k = (m - 1)/2$ y los pesos están dados por $[a_{-k}, \dots, a_k]$. Es importante que todos los pesos sumen uno como valor y que sean simétricos para que $a_j = a_{-j}$. Una ventaja mayor de los promedios móviles ponderados es que producen estimados más suavizados de la tendencia/ciclo.

Descomposición STL

El método STL es muy versátil y robusto para la descomposición de series de tiempo. Su nombre es el acrónimo en inglés de *Seasonal and Trend Decomposition using Loess*, que significa descomposición de estacionalidad y tendencia utilizando Loess. Loess es un método para estimar relaciones no-lineales desarrollado por Cleveland et al [Hyndman and Athanasopoulos, 2014]. Las desventajas de STL es su manejo de cierta data financiera (como por ejemplo días de comercio bursátil) y las variaciones de calendario. La biblioteca de R tiene una función que descompone automáticamente una serie de datos utilizando STL, la función `STL()`.

La descomposición STL se utiliza más que nada para estudiar las series de tiempo, pero tiene aplicación en pronosticar. Asumiendo una descomposición aditiva, la serie de tiempo descompuesta se puede escribir como:

$$y_t = \hat{S}_t + \hat{A}_t$$

donde $\hat{A}_t = \hat{T}_t + \hat{E}_t$ es el componente ajustado por estacionalidad. Si se trata de una serie multiplicativa entonces la misma ecuación se puede escribir como:

$$y_t = \hat{S}_t \hat{A}_t$$

donde $\hat{A}_t = \hat{T}_t \hat{E}_t$.

Para pronosticar cualquier componente ajustado por estacionalidad, se puede utilizar cualquier método de pronóstico no estacional. Por ejemplo, se puede aplicar camino aleatorio con deriva,

Holts-Winter, o ARIMA.

Alisamiento Exponencial

El Alisamiento Exponencial (o Suavizamiento Exponencial según la traducción), fue propuesto por Brown, Holt y Winters entre los años 1950 a 1960. Los pronósticos producto del suavizamiento exponencial son promedios ponderados de observaciones históricas en las cuales el valor del peso va decayendo a medidas que las observaciones van envejeciendo. En otras palabras, las observaciones más nuevas reciben mayor asociación con el peso.

La primera forma de suavizamiento exponencial se llama *suavizamiento exponencial simple*. Este método es aplicable para el pronóstico de series de datos sin tendencia o estacionalidad. El pronóstico se calcula con promedios ponderados donde los pesos decrecen exponencialmente a medida que las observaciones envejecen - los pesos más pequeños se asocian con las observaciones más antiguas.

$$\hat{y}_{T+1|T} = \alpha y_T + \alpha(1 - \alpha)y_{T-1} + \alpha(1 - \alpha)^2 y_{T-2} + \alpha(1 - \alpha)^3 y_{T-3} + \dots$$

donde $0 \leq \alpha \leq 1$ es el parámetro de alisamiento. El pronóstico de $T + 1$ es el promedio ponderado de todas las observaciones en la serie y_1, \dots, y_T . La tasa por la cual decrecen los pesos se controla con el parámetro α .

Este método se puede extender aplicando el factor de suavizamiento exponencial decreciente para lograr la ecuación de la segunda forma de suavizamiento exponencial ponderado de tal forma que:

$$\hat{T}_{T+1|T} = \sum_{j=0}^{T-1} \alpha(1 - \alpha)^j y_{T-j} + (1 - \alpha)^T \ell_0$$

Notemos que la ecuación es otra forma de escribir la notación del suavizamiento exponencial simple.

Holt extendió el método de suavizamiento exponencial para permitir hacer pronósticos con datos que contenían tendencia [Hyndman and Athanasopoulos, 2014]. Este método de pronóstico incluye una ecuación de pronóstico y dos ecuaciones de suavizamiento, una para el nivel y otra para la tendencia:

$$\begin{aligned}
\text{Ecuación de Pronóstico} \quad & \hat{y}_{t+h|t} = \ell_t + hb_t \\
\text{Ecuación de Nivel} \quad & \ell_t = \alpha y_t + (1 - \alpha)(\ell_{t-1} + b_{t-1}) \\
\text{Ecuación de Tendencia} \quad & b_t = \beta^*(\ell_t - \ell_{t-1}) + (1 - \beta^*)b_{t-1}
\end{aligned}$$

donde ℓ_t denota el nivel estimado de la serie de tiempo en el momento t , b_t denota el estimado de la tendencia de la serie de tiempo en el momento t , α es el parámetro de suavizamiento para el nivel, $0 \leq \alpha \leq 1$ y β^* es el parámetro de suavizamiento de la tendencia, $0 \leq \beta^* \leq 1$.

Holt y Winters volverían sobre el método de Holt para extenderlo y capturar el elemento de estacionalidad, el único que faltaba en la ecuación. El método *Holt-Winters* está compuesto por una ecuación de pronóstico y tres de suavizamiento - una para el nivel ℓ_t , una para la tendencia b_t , y otra para el componente estacional S_t , con los parámetros de suavizamiento α , β^2 , y γ . Se utiliza m para definir el período de estacionalidad, por ejemplo el número de temporadas en el año. De tal forma los meses serían $m = 12$.

Hay dos variaciones del método que difieren en la naturaleza de los componentes de estacionalidad. El método aditivo es preferible cuando las variaciones de estacionalidad son más o menos constantes a través de la serie. El método multiplicativo es preferible cuando la variación de estacionalidad son cambiantes proporcionalmente al nivel de las series.

Los componentes de la forma aditiva son los siguientes:

$$\begin{aligned}
\hat{y}_{t+h|t} &= \ell_t + hb_t + s_{t-m+h_m^+} \\
\ell_t &= \alpha(y_t - s_{t-m}) + (1 - \alpha)(\ell_{t-1} + b_{t-1}) \\
b_t &= \beta^*(\ell_t - \ell_{t-1}) + (1 - \beta^*)b_{t-1} \\
s_t &= \gamma(y_t - \ell_{t-1} - b_{t-1}) + (1 - \gamma)s_{t-m}
\end{aligned} \tag{2.8}$$

donde $h_m^+ = \lfloor (h-1) \bmod m \rfloor + 1$, son los que regulan que el estimado de los índices estacionales usados para el pronóstico vengan del año final de la serie. La ecuación de nivel muestra el promedio ponderado entre la observación ajustada por estacionalidad ($y_t - s_{t-m}$) y el pronóstico no ajustado

$(\ell_{t-1} + b_{t-1})$ para el momento t . La ecuación de la tendencia es idéntica al método lineal de Holt. La ecuación de la estacionalidad muestra un promedio ponderado el índice estacional actual, $(y_t - \ell_{t-1} - b_{t-1})$, y el índice para la misma temporada en el período previo (por ejemplo, m períodos atrás).

Los parámetros de la ecuación ℓ_t , b_t y s_t se corrigen por error dentro de la ecuación de suavizamiento con las siguientes fórmulas:

$$\begin{aligned}\ell_t &= \ell_{t-1} + b_{t-1} + \alpha e_t \\ b_t &= b_{t-1} + \alpha \beta^* e_t \\ s_t &= s_{t-m} + \gamma e_t\end{aligned}\tag{2.9}$$

Los componentes del método *Holt-Winters* para modelos multiplicativos son los siguientes:

$$\begin{aligned}\hat{y}_{t+h|t} &= (\ell_t + hb_t)s_{t-m+h_m^+} \\ \ell_t &= \alpha \frac{y_t}{s_{t-m}} + (1 - \alpha)(\ell_{t-1} + b_{t-1}) \\ b_t &= \beta^*(\ell_t - \ell_{t-1}) + (1 - \beta^*)b_{t-1} \\ s_t &= \gamma \frac{y_t}{(\ell_{t-1} - b_{t-1})} + (1 - \gamma)s_{t-m}\end{aligned}\tag{2.10}$$

Las ecuaciones para la corrección de errores son las siguientes:

$$\begin{aligned}\ell_t &= \ell_{t-1} + b_{t-1} + \alpha \frac{e_t}{s_{t-m}} \\ b_t &= b_{t-1} + \alpha \beta^* \frac{e_t}{s_{t-m}} \\ s_t &= s_t + \gamma \frac{e_t}{s_{t-m}} (\ell_{t-1} + b_{t-1})\end{aligned}\tag{2.11}$$

donde $e_t = y_t - (\ell_{t-1} + b_{t-1})s_{t-m}$.

ARIMA

Los modelos ARIMA son otro enfoque para el pronóstico de series de tiempo. Mientras que la metodología de suavizamiento exponencial busca la descripción de la tendencia y estacionalidad de la data, los modelos ARIMA intentan describir la autocorrelación de la misma.

Series de Tiempo Estacionarias

Un requisito para el modelar pronósticos con series de tiempo es que las mismas deben ser estacionarias [Srivastava, 2015]. Por lo tanto es importante definir la estacionalidad de series de tiempo antes de avanzar con la descomposición de las mismas.

Definimos una serie de tiempo estacionaria como aquella cuyas propiedades no dependen del momento en la cual se la observa [Hyndman and Athanasopoulos, 2014]. Por lo tanto las series de tiempo con tendencias, o con estacionalidad, no son estacionarias. La tendencia o la estacionalidad afectará el valor de la serie de tiempos en momentos específicos de la misma. Una serie de ruido blanco es un caso de series de tiempo estacionarias. En casos puede ser confuso determinar que es que. Una serie de tiempos puede ser cíclica y estacionaria si cumple con la condición de no tener tendencia o estacionalidad.

Hay tres criterios básicos que debe cumplir una serie de tiempos para catalogarla como estacionaria [Srivastava, 2015]:

1. El promedio de la serie no debiera ser una función del tiempo sino una constante. Esto es visible a la vista en una serie de tiempos que permanece relativamente horizontal sobre el eje de la abscisa a pesar de fluctuar.
2. La varianza de la serie no debiera ser una función del tiempo. Esta propiedad se conoce en matemática como *homocedasticidad*.
3. La covarianza del término x_i y el término $(x + m)_i$ no debiera ser una función en el tiempo. Esto también posible de ver en una gráfica, a medida que la función disminuye la distancia entre sus ondas, o aumenta la densidad de las mismas proporcional avanza en el tiempo.

El académico Tavish Srivastava agrega sobre el concepto de series estacionarias la necesidad de asociar el de *random walk* o camino aleatorio. Una serie de tiempo es un camino aleatorio

con promedio cero pero con varianza dependiente en el tiempo, por lo tanto no es una serie estacionaria [Srivastava, 2015].

Diferenciando Series de Tiempo

Una forma de convertir una serie de tiempo en estacionaria es diferenciarla. Al diferenciarla, se toma las diferencias entre observaciones consecutivas de la serie. La diferenciación ayuda a estabilizar el promedio de una serie de tiempos removiendo cambios en el nivel de la misma y eliminando - o por lo menos reduciendo - se tendencia y estacionalidad [Hyndman and Athanasopoulos, 2014].

Para una serie de tiempos estacionaria, su ACF disminuirá a cero relativamente rápido, mientras que el cuadro ACF de una serie no estacionaria disminuirá de forma paulatina y lenta. Además, para una serie no estacionaria, su valor r_1 es por lo general grande y positivo [Hyndman and Athanasopoulos, 2014].

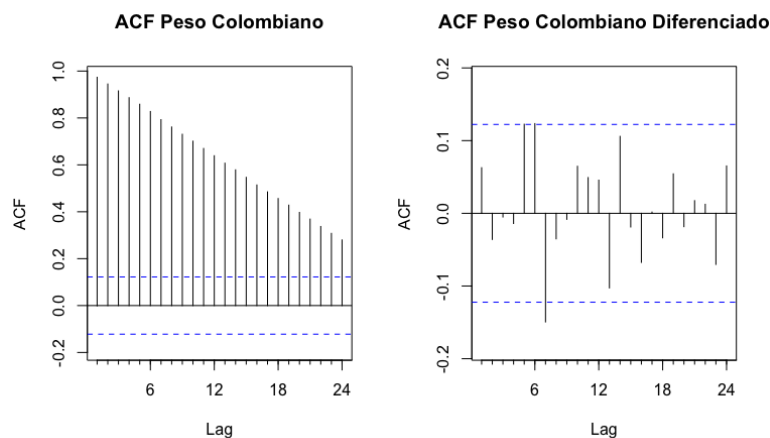


Figura 2.5: Correlograma del Peso Colombiano Con y Sin Diferenciar (Fuente propia)

Una serie diferenciada es el cambio entre dos observaciones consecutivas y puede detallarse de la siguiente forma:

$$y'_t = y_t - y_{t-1}$$

Una serie diferenciada tendrá solo $T - 1$ valores dado que no es posible calcular la diferencia y'_1 para la primera observación. Cuando la serie diferenciada es ruido blanco, se la puede definir como:

$$y_t = y_{t-1} - e_t$$

Las diferenciaciones también pueden hacerse por temporadas. Una diferenciación estacional es la diferencia entre una observación y su observación correspondiente del período pasado:

$$y'_t = y_t - y_{t-m}$$

donde m es igual al número de temporadas. Estas se conocen como *diferencias de m -retrasos*.

Pruebas de Raíz Unitaria

Una forma de determinar más objetivamente si hay necesidad de diferenciar una serie es la *prueba de raíz unitaria*. Estas son pruebas de hipótesis estadísticas que están diseñadas para determinar la necesidad o no de diferenciación de la serie [Hyndman and Athanasopoulos, 2014]. Existen varias y están basadas en diferentes enfoques, por lo que es común utilizar más de una si hay respuestas conflictivas que confrontar.

La más utilizada es la prueba aumentada *Dickey-Fuller*, también conocida como *ADF*. Para este test, se utiliza el siguiente modelo de regresión [Dickey and Fuller, 1981]:

$$y'_t = \phi y_{t-1} + \beta_1 y'_{t-1} + \beta_2 y'_{t-2} + \dots + \beta_k y'_{t-k}$$

donde y'_t denota la primera serie diferenciada, $y'_t = y_t - y_{t-1}$ y k es el número de retrasos para incluir en la regresión (que por regla común se ajusta a 3). Si la serie original, y_t , necesita diferenciarse, entonces el coeficiente $\hat{\phi}$ debiera aproximar a cero. Si y_t ya es estacionaria, $\hat{\phi} < 0$. La metodología normal de test de hipótesis no funciona cuando la serie es estacionaria, pero el lenguaje *R* tiene una función que lo calcula sin problemas de la forma `adf.test(x, alternative="stationary")` [Hyndman, 2016].

La hipótesis nula para una prueba *Dickey-Fuller* es que la data es no-estacionaria. De tal manera que valores grandes de p son indicativos de no-estacionalidad y valores pequeños de p por el contrario indican que la hipótesis alternativa es de serie estacionaria. Un corolario de esto es que se necesita usar diferenciación cuando $p > 0,05$.

Modelos Autoregresivos (AR)

En un modelo de regresión múltiple, pronosticamos la variable de interés usando una combinación lineal de predictores. En un modelo autoregresivo, el pronóstico de la variable de interés se conforma con una combinación lineal de valores pasados de la variable. El término autoregresión indica que es una regresión de variables contra si mismas [Hyndman and Athanasopoulos, 2014].

Por lo tanto un modelo autoregresivo de orden p puede ser escrito como:

$$y_t = c + \phi_1 y_{t-1} + \phi_2 y_{t-2} + \dots + \phi_p y_{t-p} + e_t$$

donde e_t es ruido blanco. Es muy similar a la regresión múltiple pero con valores retrasados de y_t como predictores. Esto se refiere a un modelo **AR(p)**. Los modelos autoregresivos son muy flexibles para manejar un portafolio amplio de patrones de series de datos. El cambio de los parámetros ϕ_1, \dots, ϕ_p resulta en diferentes patrones de series de datos. La varianza del término de error e_t solo modifica la escala de la serie, no los patrones.

Modelos de Promedios Móviles (MA)

En vez de utilizar los valores pasados de una variable de pronóstico en una regresión, el modelo de promedios móviles utiliza los errores pasados del pronóstico en un modelo cuasi-regresión.

$$y_t = c + e_t + \theta_1 e_{t-1} + \theta_2 e_{t-2} + \dots + \theta_q e_{t-q}$$

donde e_t es ruido blanco. Nos referimos a este modelo como **MA(q)**. En realidad no observamos los valores de e_t , por lo que no es una regresión en el sentido estricto de la palabra [Hyndman and Athanasopoulos, 2014]. Hacemos notar que cada valor de y_t puede ser pensado como un promedio móvil ponderado de los últimos errores de pronóstico. Sin embargo no hay que confundirlo con el suavizamiento de promedios móviles. El cambio de los parámetros ϕ_1, \dots, ϕ_p resulta en diferentes patrones de series de datos. Al igual que en los modelos autoregresivos, la variación del término de error e_t solo modifica la escala de la serie, no los patrones.

Modelos ARIMA No-Estacionarios

Si combinamos la diferenciación con la autoregresión y un modelo de promedios móviles, obtenemos el *modelo no-estacionario ARIMA*. ARIMA es el acrónimo para *AutoRegressive Integrated Moving Average* (o modelos autoregresivos integrados de promedios móviles). En este caso son integrados porque la integración es la función opuesta de diferenciación [Hyndman and Athanasopoulos, 2014]. Podemos escribir el modelo completo como:

$$y'_t = c + \phi_1 y'_{t-1} + \dots + \phi_p y'_{t-p} + \theta_1 e_{t-1} + \dots + \theta_q e_{t-q} + e_t$$

donde y'_t es la serie diferenciada (puede haber sido diferenciada más de una vez). Los predictores en la mano derecha de la ecuación incluyen tanto valores rezagados de y_t y errores rezagados. A esto lo llamamos un modelo **ARIMA(p, d, q)**, donde:

p = orden de la parte autoregresiva;

d = grado de la primera diferenciación involucrada;

q = orden de la parte de promedios móviles.

Las mismas condiciones de estacionalidad e invertibilidad que se utiliza en los modelos de autoregresión y promedios móviles aplican al modelo ARIMA.

Gráficas ACF y PACF

Seleccionar el juego indicado de variables p , d , q puede ser difícil. Las bibliotecas de *R* tienen funciones para ayudar. Por lo general no es posible a simple vista evaluar estos valores. Sin embargo, si es posible utilizar las gráficas de la función de autocorrelación ACF y su función asociada PACF para seleccionar valores de p y q . La gráfica de la función PACF mide la autocorrelación parcial entre y_t y y_{t-k} después de eliminar los efectos de otras series rezagadas $1, 2, 3, \dots, k-1$. Por lo tanto la primer autocorrelación parcial es idéntica a la primer autocorrelación, porque no hay nada que eliminar.

Si los datos son de un modelo $ARIMA(p, d, 0)$ o $ARIMA(0, d, q)$, entonces las gráficas ACF y PACF pueden ser útiles en determinar los valores de p o q . Si tanto p y q son positivas, los gráficos no podrán ayudar a determinar los valores adecuados de p y q .

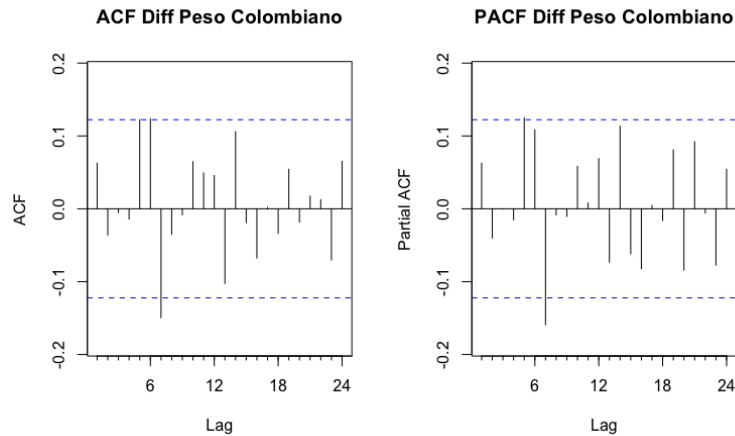


Figura 2.6: Gráficas de las Funciones ACF y PACF del Peso Colombiano (Fuente propia)

Los datos pueden seguir un modelo $ARIMA(p,d,0)$ si el gráfico ACF y PACF de los datos diferenciados muestran los siguientes patrones.

- la gráfica ACF decrece exponencialmente o tiene forma senoide
- hay un crecimiento significativo en el tramo p en la gráfica PACF, pero ninguno después del tramo p

Los datos pueden seguir un modelo $ARIMA(0,d,q)$ si el gráfico ACF y PACF de los datos diferenciados muestran los siguientes patrones.

- la gráfica PACF decrece exponencialmente o tiene forma senoide
- hay un crecimiento significativo en el tramo p en la gráfica ACF, pero ninguno después del tramo p

La Ciencia de Datos

La Ciencia de Datos es una disciplina relativamente nueva, inclusive en muchos entornos académicos. El objetivo de este capítulo es el de resumir los aspectos mayores de la ciencia de datos como estudio multidisciplinario cuya intención es hacer sentido de la gran cantidad de datos que surgen de nuestro entorno, con miras a modificar los fenómenos del mundo.

Introducción

La ciencia de datos [Zumel and Mount, 2014] utiliza herramientas de otras ciencias empíricas, estadística, análisis matemático, finanzas, técnicas de visualización, inteligencia de negocios, sistemas expertos, aprendizaje automatizado, bases de datos, bioestadística, y ciencia de la computación con la finalidad de procesar y extraer conocimiento de la data, ya sea que esta se encuentre estructurada o no estructurada.

Previo al termino Ciencia de Datos, el matemático John W. Tukey comienza a circular la idea del análisis de datos versus la estadística en su libro *The Future of Data Analysis* [Tukey, 1962]. La premisa es que la estadística es una ciencia formal, mientras que el análisis de datos es una ciencia empírica ya que se basa en datos extraídos de la vida real. Tukey sostuvo que de la data debía extraerse hipótesis para evaluación, y que el análisis confirmatorio de datos debía coexistir al lado del análisis exploratorio de datos. Ambos se apoyan en la estadística como disciplina de aplicación pero estudian objetos diferentes.

La ciencia de datos [Wikipedia, 2018] ha resultado para muchos una disciplina de reciente creación, pero en la realidad este concepto lo utilizó por primera vez el científico danés Peter Naur en la década de los sesenta como sustituto de las ciencias computacionales. En 1974 publicó el libro *Concise Survey of Computer Methods* 3 donde utiliza ampliamente el concepto ciencia de datos, lo que permitió que se comenzara a utilizar más libremente entre el mundo académico [Naur, 1974].

Por otro lado, el matemático japonés e inventor de la *Metodología de Cuantificación* Chikio Hayashi define sucintamente [Hayashi et al., 1981] la ciencia de datos no solo como un concepto sintético para unificar las disciplinas de la estadística, el análisis de datos, y sus métodos relacionados, sino por la forma en la cual sus resultados se aplican. Esta nueva metodología incluye tres

fases: diseño de la data, recolección de la data, y análisis de la misma.

Muchas veces se ha criticado a la ciencia de datos como el uso disimulado de estadística bajo un nombre diferente con fines comerciales. En 2001, William S. Cleveland introdujo a la ciencia de datos como una disciplina independiente, extendiendo el campo de la estadística para incluir los avances en computación con datos en su artículo *Ciencia de datos: un plan de acción para expandir las áreas técnicas del campo de la estadística*. Cleveland estableció seis áreas técnicas que en su opinión conformarían al campo de la ciencia de datos: investigaciones multidisciplinarias, modelos y métodos para datos, computación con datos, pedagogía, evaluación de herramientas, y teoría [Cleveland, 2001].

En abril del 2002, el *Council for Science: Committee on Data for Science and Technology* [CODATA, 2012] empezó la publicación del *Data Science Journal*, enfocada en problemas como la descripción de sistemas de datos, su publicación en Internet, sus aplicaciones y problemas legales. Poco después, en enero del 2003, la Universidad de Columbia empezó a publicar *The Journal of Data Science*, la cual ofreció una plataforma para que todos los profesionales de datos presentaran sus perspectivas e intercambiaran ideas [Wikipedia, 2018].

El Científico de Datos y su Rol como Investigador

Las personas que se dedican a la ciencia de datos se les conoce como científico de datos. El proyecto *Master in Data Science* define al científico de datos como una mezcla de estadísticos, computólogos y pensadores creativos, con las siguientes habilidades:

- Recopilar, procesar y extraer valor de las diversas y extensas bases de datos.
- Imaginación para comprender, visualizar y comunicar sus conclusiones a los no científicos de datos.
- Capacidad para crear soluciones basadas en datos que aumentan los beneficios, reducen los costos.

Los científicos de datos trabajan en todas las industrias y hacen frente a los grandes proyectos de datos en todos los niveles. La definición mas famosa de las habilidades que componen a un científico de datos se han atribuido al Dr. Nathan Yau [Yau, 2013], quien precisó lo siguiente:

el científico de datos es un estadístico que debería aprender interfaces de programación de aplicaciones (API), bases de datos y extracción de datos; es un diseñador que deberá aprender a programar; y es un computólogo que deberá saber analizar y encontrar datos con significado.

En la tesis doctoral de Benjamin Fry [Fry, 2000] explicó que el proceso para comprender mejor a los datos comenzaba con una serie de números y el objetivo de responder preguntas sobre los datos, en cada fase del proceso que él propone (adquirir, analizar, filtrar, extraer, representar, refinar e interactuar), se requiere de diferentes enfoques especializados que aporten a una mejor comprensión de los datos. Entre los enfoques que menciona Fry están: ingenieros en sistemas, matemáticos, estadísticos, diseñadores gráficos, especialistas en visualización de la información y especialistas en interacciones hombre-máquina, mejor conocidos por sus siglas en inglés “HCI” (Human-Computer Interaction). Además, Fry afirmó que contar con diferentes enfoques especializados lejos de resolver el problema de entendimiento de datos, se convierte en parte del problema, ya que cada especialización conduce de manera aislada el problema y el camino hacia la solución se puede perder algo en cada transición del proceso.

La Ciencia de Datos como Herramienta Predictiva

Uno de los enfoques principales de la ciencia de datos es el procesamiento de datos estructurados o no estructurados para la obtención de conocimiento. Es importante destacar que la ciencia de datos trabaja en condiciones especiales que la definen de otras disciplinas (como por ejemplo, la inteligencia de negocios).

- Trabaja en datos incompletos; es muy probable que hasta un setenta por ciento del tiempo de un científico de datos se utilice en recopilar y curar datos aparentemente no-relacionados, incompletos, o altamente dispersos.
- Los datos suelen estar desordenados; las fuentes de los datos a utilizar pueden ser de fuentes diversas y formatos diferentes, especialmente si estos datos provienen del Internet
- Analiza los datos para ver qué información obtiene; la exploración de datos no tiene garantía de hallazgo alguno como procedimiento científico, a diferencia de la inteligencia de negocios

que opera sobre juegos de datos donde siempre hay certeza de al menos una conclusión

- Los hallazgos impulsan decisiones sobre operaciones y productos; no solo de negocios sino dentro del mundo de la investigación de otras disciplinas, tales como la genética, biología, inteligencia artificial, etc.

Lo que distingue a la ciencia de datos de sus mismas técnicas y metodologías es su objetivo central de desplegar modelos efectivos para la toma de decisiones en un medio ambiente de producción. Así es una disciplina que administra el proceso de transformar hipótesis y data en predicciones accionables [Zumel and Mount, 2014]. Los objetivos de predicción mas comunes incluyen la predicción de quien ganara una elección política presidencial, que productos se venderán mejor juntos, que créditos resultaran en moratoria, y cual pagina web el consumidor hará clic en la próxima hora.

Diseño de un Estudio de Ciencia de Datos

El científico de datos es responsable de guiar el proyecto de ciencia de datos de comienzo a fin. El éxito de un proyecto de ciencia de datos no se da por la utilización de alguna herramienta en particular, sino de tener goles cuantificables, buena metodología, interacción interdisciplinaria, y un flujo de trabajo adecuado. Hay seis pasos principales en el diseño de un proyecto de ciencia de datos [Zumel and Mount, 2014].

1. **Definir el objetivo:** El primer paso en un proyecto de ciencia de datos es definir un objetivo medible y cuantificable. En esta etapa se trata de aprender todo lo posible sobre el contexto del problema. Un objetivo concreto incluye condiciones firmes para definir el éxito de la solución y criterios de aplicación.
2. **Recopilar y administrar la data:** El segundo paso incluye identificar los datos necesarios para alcanzar los objetivos propuestos, explorar dicha data, y acondicionarla para hacerla aplicable al análisis. Esta etapa suele ser una de las más intensiva en el uso de tiempo y recursos y es también la más importante. El investigador debe contestar las preguntas más críticas. ¿Qué datos se tienen disponibles? ¿Cuáles de estos datos son los necesarios para

resolver el problema? ¿La data disponible es suficiente o se necesita más información? ¿La calidad de la data es óptima?

3. **Construir el modelo de predicción:** La etapa de construcción del modelo es aquella donde se extrae información relevante de los datos para alcanzar el objetivo de estudio. Dado que muchas de las técnicas y procedimientos de modelos hace uso de suposiciones iniciales sobre la distribución de la data y sus relaciones, es muy probable que el investigador tenga que retroceder a la fase anterior, curar la data, y volver a la etapa de modelo en varias interacciones.
4. **Evaluar y criticar el modelo:** Una vez se obtiene el modelo, es necesario ver si se ajusta al problema en cuestión. ¿Es lo suficientemente preciso? ¿Su uso se generaliza bien? ¿Su desempeño es mejor que las herramientas disponibles existentes? Los resultados del modelo (coeficientes, agrupaciones, reglas, etc.) hacen sentido dentro del contexto del problema?
5. **Presentar los hallazgos y documentar:** A partir del momento que el investigador aprueba el modelo de datos, es importante la presentación de los mismos con el rigor científico esperado por aquellos que tienen implicación o serán evaluadores del proyecto de investigación. ¿
6. **Implementar el modelo en producción:** Muchos de los modelos de datos utilizados en la ciencia de datos deberán ser implementados como herramientas en la vida real. A esto se le conoce como despliegue en producción y tiene implicaciones de implementación que muchas veces salen de las manos del científico de datos y hacia el equipo de ingeniería.

Los renombrados científicos de Johns Hopkins University Roger Peng y Elizabeth Matsui prefieren hablar de epiciclos en su libro "*The Art of Data Science*". Un epiciclo se define como un proceso iterativo que se aplica a todos los pasos del análisis de data. El epiciclo del análisis de datos incluye cinco pasos [Peng and Matsui, 2017].

1. Formular y refinar la pregunta
2. Explorar la data
3. Construcción formal del modelo estadístico

4. Interpretación de los resultados
5. Comunicación de los resultados

Estas cinco actividades pueden ocurrir en diferentes escalas de tiempo, con proyectos pequeños ejecutados en un día, y empréstitos mayores ocupando meses del tiempo de un equipo completo. Cada una de las cinco actividades del epíciclo a su vez se materializa a través de tres componentes principales.

1. Establecer expectativas
2. Recolección de datos, comparación con las expectativas, y resolución de conflictos cuando los datos y las expectativas no concuerdan
3. Revisión de las expectativas, o los datos, según sea la prognosis del científico de datos

La iteración de los tres pasos es lo que se denomina el *epíciclo del análisis de datos* [Peng and Matsui, 2017]. A medida que se avanza por cada una de las cinco fases del análisis, será obligatorio iterar a través del epíciclo de análisis de datos para refinar la pregunta, la exploración inicial de datos, la interpretación y comunicación de los resultados. La siguiente tabla profundiza el uso de los tres pasos iterativos a través de dichas cinco fases.

Tareas Comunes en la Ciencia de Datos

Hemos hablado de la ciencia de datos y su carácter predictivo. Las tareas más comunes para lo cual se utiliza la ciencia de datos son las siguientes.

- **Clasificación:** Decidir si algo pertenece a una categoría u otra. Harrington define la clasificación como la tarea de predecir a que tipo de clase pertenece una instancia (ejemplo) de la data propia de los métodos supervisados [Harrington, 2012].
- **Puntuación:** Predecir o estimar un valor numérico, tal como lo es un precio o la probabilidad de un fenómeno. Alpaydin define esto como la extracción de reglas de los datos de los cuales se puede esperar estadísticamente un comportamiento similar y por lo cual se pueden efectuar predicciones correctas para instancias nuevas [Alpaydin, 2010].

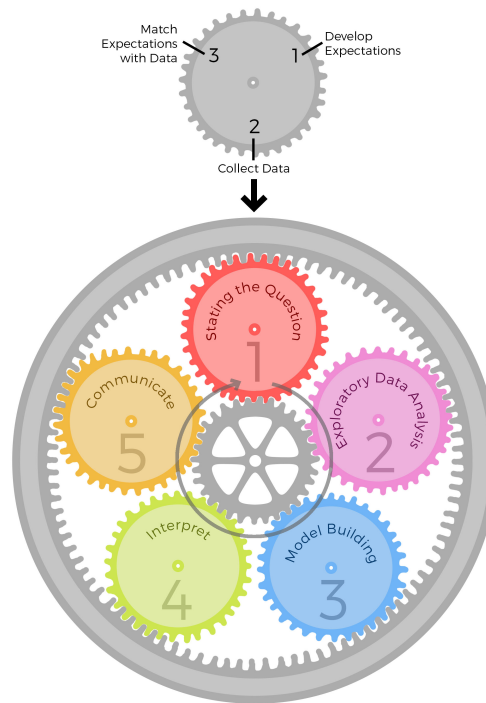


Figura 2.7: Modelo de Epiciclos de Análisis de Datos (Fuente Peng y Matsui, 2017)

- **Ranking:** Aprender a ordenar objetos por preferencias
- **Agrupamientos:** Agrupar objetos en grupos de características homogéneas. Las técnicas de agrupamiento son típicas de los métodos de aprendizaje automatizado no-supervisados, donde en vez de buscar clasificar en clases conocidas o puntuar con valores ciertos, se busca la características comunes de la data para la agrupación de la misma en clases, tomando en cuenta que dichas clases no son conocidas a priori [Harrington, 2012].
- **Relaciones:** Encontrar relaciones o causas potenciales de efecto tal cual se ven en la data. Para Alpaydin la regresión lineal es un perfecto ejemplo de búsqueda de relaciones en la ciencia de datos, donde existe una función con un juego de parámetros asociados $y = g(x | \theta)$, $g(\cdot)$ es el modelo y θ son sus parámetros. Y es un número dentro de una regresión y $g(\cdot)$ es la función de la regresión [Alpaydin, 2010]
- **Caracterizaciones:** Utilización general de visualizaciones y reportes de la data. Un ejemplo notable lo da Witten y Frank al referirse a la técnica de *Market Basket Analysis* dentro de la mercadotecnia [Witten and Frank, 2005]. En dicha técnica se busca que otros artículos

comprarán los consumidores basados en el comportamiento registrado de sus compras pasadas. En términos matemáticos, estamos buscando $P(Y \mid X, D) = x_i$ donde D es el juego conocido de datos históricos de los movimientos comerciales de los consumidores.

Aprendizaje Automatizado

El aprendizaje automatizado es un campo de la ciencia de la computación donde se busca darle a las computadoras la habilidad de aprender sin ser explícitamente programadas. El término se le atribuye a **Arthur Samuel**, un pionero del campo de la inteligencia artificial, quien lo acuñó en 1959 [Kohavi and Provost, 1998]. Algunos autores también señalan al profesor James Townsend de la Universidad de Indiana quien se refiere al término en sus trabajos sobre matrices de confusión [Townsend, 1971].

Es interesante que los métodos de aprendizaje automatizado proliferaron de forma paralela al concepto de ciencia de datos, y solo fueron absorbidos por esta en los últimos diez años. Alpaydim nos describe el aprendizaje automatizado como la programación de computadoras para optimizar un criterio de desempeño utilizando datos o experiencia pasada [Alpaydin, 2010]. Tom Mitchell respeta este concepto al describir el aprendizaje automatizado como "... la construcción de programas computacionales que aprenden con la experiencia..." [Mitchell, 1997, pag. XV]. Solo Peter Harrington utiliza una descripción mucho más simplista al determinar que "El aprendizaje automatizado es la extracción de información de la data." [Harrington, 2012, pag. 5].

Estudiar los procedimientos de aprendizaje automatizado equivale a estudiar tres temas principales que los componen.

- Diseño del estudio: conjuntos de entrenamiento y conjuntos de predicción
- Problemas conceptuales: error fuera de la muestra, curvas ROC
- Implementación práctica: en este caso en particular, un tema que se cubrirá con la biblioteca Caret

Todo el mundo predice todo tipo de aseveraciones, desde el resultado de una elección presidencial hasta el partido de fútbol del domingo de una liga en particular. Pero en el sentido estricto de la palabra, ¿qué significa predecir? En nuestro contexto científico, definiremos el acto de predecir como el resultado de utilizar la probabilidad y muestreo para la selección de un conjunto de entrenamiento, el cual utilizaremos para construir las características de diseño de una función de predicción. La función utilizará dichas características para generar nuevas predicciones. Los componentes para la selección adecuada de variables de predicción son los siguientes:



Figura 2.8: Esquema de Generación de Variables de Predicción

Un ejemplo muy común utilizado generalmente para explicar el uso del aprendizaje automatizado es la detección de correo chatarra, también conocido como spam. Podemos utilizar atributos cuantitativos de los mensajes, por ejemplo la frecuencia de ciertas palabras, para que un modelo se entrene y pueda predecir dentro de ciertos rangos de certeza si un correo cualquiera es o no spam.

Importancia Relativa de Los Pasos

Hay una secuencia de pasos importante para la consecución de modelos de aprendizaje automatizado coherentes.

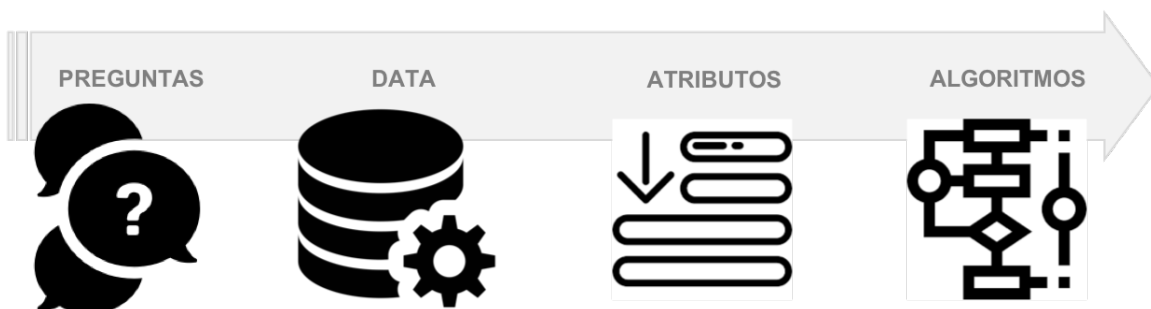


Figura 2.9: Pasos para la Consecución de Modelos con Aprendizaje Automatizado

La combinación de algunos datos y un deseo extremo de conseguir una respuesta no nos asegura que una razonable pueda extraerse de un cuerpo cualquiera de información [Tukey, 1962]. También es útil recordar que la calidad de los datos que ingresan al conjunto de entrenamiento tienen un efecto sobre el resultado del modelo. Datos que no son útiles no aportan nada. Es mucho mejor que la data sea curada y organizada de manera que tenga alta relevancia al tema de estudio.

Los buenos atributos son aquellos que comparten las siguientes características:

1. ayudan a comprimir la data

2. retienen el mayor volumen de información relevante
3. son creados basados en un modelo experto del modelo a aplicarse

No es fácil hacer una buena selección de atributos que mas adelante se convertirán en variables de predicción. Los errores mas comunes son los siguientes.

1. tratar de automatizar la selección de atributos
2. no prestar la atención necesaria a las variaciones y particularidades de los datos
3. desechar información importante innecesariamente

En este sentido los algoritmos importan mucho menos que la selección y curación de la data a utilizar. Los mejores métodos de aprendizaje automatizado reúnen una serie de características que los hace justamente sobresalir del montón. Las características en mención son las siguientes:

1. Interpretable: el modelo debe ser capaz de llegar a una solución que pueda entenderse y aplicarse al problema que se tiene a mano.
2. Simples: el modelo debe ser lo suficientemente sencillo para implementarse en un ambiente científico real con las herramientas disponibles.
3. Precisos: el modelo debe tener un nivel mínimo de precisión que esté en línea con los parámetros esperados por la investigación científica tradicional.
4. Rápidos (de entrenar y evaluar): el modelo debe ser capaz de ser entrenado y evaluado dentro de marcos normales de tiempo y recursos.
5. Escalables: el modelo, de ser posible, debe ser capaz de escalar e implementarse en sistemas de menor costo de recursos.

La predicción de modelos se basa mucho en el arte de compensar beneficios versus necesidades.

1. interpretación de los datos vs. precisión
2. velocidad vs. precisión

3. simplicidad vs. precisión
4. modelos escalables vs. precisión

A pesar de tener que sopesar la mejor forma de compensar todas estas variables, la interpretación es muy importante y debe conservar su lugar, ya que poco sirve un modelo rápido y preciso que no se puede interpretar. Muchos autores otorgan un segundo lugar de importancia a lo escalable del modelo. Se han dado casos donde modelos muy precisos no se han podido poner en producción por la complejidad de escalar el algoritmo. El caso mas mencionado es el premio NETFLIX, el cual otorgo un millón de dolares al equipo con el mejor modelo de predicción de gustos de sus clientes, solo para luego llegar a la conclusión que el mismo era demasiado complejo y lento de escalar en producción y archivarlo [Masnick, 2012].

Métodos Supervisados y No-Supervisados

Para los autores Hastie, Tibshirani, y Friedman el aprendizaje supervisado intenta aprender una función f de predicción a través del uso de uso juegos de datos de entrenamiento en forma de muestras del total de los datos disponibles. El uso de datos de entrenamiento le permite al sistema aprender y minimizar el error del modelo de predicción [Hastie et al., 1997].

Harrington nos da una explicación más sencilla del término, al aclarar que el aprendizaje supervisado es aquel que le pide al computador aprender de los datos utilizando una variable específica como objetivo. Esto reduce la complejidad de algoritmos y patrones que se deben derivar de la muestra de datos [Harrington, 2012].

El profesor Alpaydin agrega que el aprendizaje supervisado tiene como objeto aprender un mapeo de los elementos de entrada a los de salida, teniendo en cuenta que los valores correctos de estos últimos están dados por el supervisor [Alpaydin, 2010].

Error Muestral y Error Fuera de Muestra

El siguiente concepto es fundamental dentro de la teoría de aprendizaje automatizado, y la terminología puede diferir un poco de los términos establecidos en la estadística inferencial.

- **Error dentro de la muestra:** es el margen de error que se obtiene al utilizar el juego de datos de entrenamiento en la construcción del modelo de predicción. También se conoce como error de re-substitución
- **Error fuera de muestra:** es el margen de error que se obtiene cuando se aplica el modelo de predicción a un nuevo juego de datos. También se lo conoce como error de generalización.

En este punto debemos aclarar cuales son las ideas principales en las que hay que enfocarse.

1. Principalmente estamos interesados mucho mas en el error de generalización - el que se obtiene al aplicar un nuevo juego de datos al modelo de predicción - que del margen de error de resubstitución.
2. El error de resubstitución siempre va a ser menor que el error de generalización
3. La razón por la cual se da este fenómeno (que el error de resubstitución sea menor que el error de generalización) es el efecto de sobreajuste. El algoritmo se está ajustando de más a los datos.

La data en la ciencia de datos tiene dos partes: señal y ruido. El objetivo del modelo de predicción es el de predecir la señal. Siempre se puede diseñar un modelo perfecto que capture tanto la señal como el ruido. Pero dicho modelo no se desempeñará bien en juegos de datos nuevos.

El efecto de sobreajuste se como la creación de un modelo optimista a partir del juego de datos de entrenamiento. Los métodos que utilizamos buscan interpretar los datos de tal manera que no solo se ajustan a la señal sino al ruido de los mismos. Por esa razón el margen de error de resubstitución (error dentro de la muestra) es tan bajo pero cuando se prueba el mismo modelo entrenado en un juego de datos externo el margen de error generalizado (fuera de la muestra) crece. Se ha comprobado que los errores por sobreajuste ocurren más en modelos complejos que en modelos sencillos. La razón es que muchas veces el modelo complejo es precisamente más complicado para ajustarse mejor a la señal de los datos, sin que estos ajustes sean necesarios - o precisos - al momento de cambiar del juego de datos.

Diseño de un Estudio de Aprendizaje Automatizado

El diseño de una investigación de ciencia de datos tiene seis pasos. El diseño del estudio de un problema de aprendizaje automatizado debe verse como el diseño de la fase de modelo (paso tres) mucho más detallado para no confundirlos. La metodología recomendada por el Dr. Jeff Leek [Leek, 2015] recomienda los siguientes seis:

1. Definir el margen de error deseado
2. Dividir la data en juegos específicos de entrenamiento, evaluación y validación (opcional)
3. En el juego de entrenamiento, seleccionar atributos y utilizar validación cruzada
4. En el juego de entrenamiento, seleccionar la función de predicción; utilizar nuevamente validación cruzada
5. si no se utilizo validación cruzada, aplicar prueba $1X$ al juego de evaluación
6. si se utilizo validación cruzada, aplicar prueba al juego de evaluación, refinar el algoritmo, y luego volver a someter $1X$ al juego de validación

A pesar de que no tiene una comprobación científica, la comunidad siempre aconseja evitar las muestras pequeñas de la misma forma que se evitan en la estadística clásica. Una pregunta válida es cuanto de los datos disponibles se deben destinar al juego de entrenamiento, cuantos al juego de validación y cuantos al juego de evaluación. Zumel y Mount [Zumel and Mount, 2014] consideran un modelo sencillo de división con 90 % de los datos destinados al entrenamiento de modelos y el 10 % restante a la evaluación. Sin embargo Leek [Leek, 2015] en su libro *Data Style* nos da un juego de reglas mas comprensivas de como distribuir los datos según el volumen de los mismos.

A. Si el volumen de datos es grande

- 60 % para el juego de entrenamiento
- 20 % para el juego de evaluación
- 20 % para el juego de validación

B. Si el volumen de datos es mediano

- 60 % para el juego de entrenamiento
- 40 % para el juego de evaluación

C. Si el volumen de datos es pequeño

- entrenar sobre el 100 % de los datos
- utilizar validación cruzada sobre el mismo juego que se entrenó
- no ocultar el hecho hacer alusión en la investigación de la muestra poco representativa

La tentación de utilizar el juego de datos de validación y/o evaluación es muy grande para todos los científicos de datos noveles. Sin embargo la literatura concuerda en que no se debe utilizar la evaluación sino hacia el final del proceso.

La selección de que datos en particular deben elegirse en cada grupo debe ser aleatoria, con un porcentaje definido en cada uno pero total certeza de que no hay parcialidad en la selección. En el caso del lenguaje R, la biblioteca CARET tiene incorporada funciones para garantizar asignaciones de datos a los grupos de entrenamiento y evaluación totalmente aleatorios. Los juegos finales de datos deben reflejar sin embargo las mismas estructuras del problema. Un claro ejemplo son las series de tiempo [Hyndman and Athanasopoulos, 2014] en las cuales los datos tiene un componente de tiempo que denota un orden en especial. De estos grupos debe seleccionarse muestras aleatorias pero representativas de los periodos de tiempo a fin de tener sentido. A su vez cada sub-muestra debe reflejar el mayor grado de diversidad posible. Esto se debe lograr con selección aleatoria pero a veces es difícil mantener dicho balance con la mezcla posible de atributos.

Tipo de Errores

El concepto de error en estadística es uno que embarca varias dimensiones. En lo que respecta al aprendizaje automatizado, no importa que tan grande sea la muestra ni que tan exacto sea el algoritmo, siempre cabe la probabilidad - aunque pequeña - que una predicción sea falsa a pesar de que arroja un resultado positivo. Podemos entonces dividir los tipos de errores según su predicción y verdadera naturaleza [Yakir, 2011].

En líneas generales diremos que un resultado es positivo si ha sido identificado como tal, y que es negativo si ha sido rechazado. De tal forma:

- **verdadero positivo:** es aquel que ha sido correctamente identificado
- **falso positivo:** es aquel que ha sido incorrectamente identificado
- **verdadero negativo:** es aquel que ha sido correctamente rechazado
- **falso negativo:** es aquel que ha sido incorrectamente rechazado

La combinación de los siguientes resultados nos permite medir estadísticamente variables pertinentes a los resultados del modelo. Estas variables se conocen como sensibilidad, especificidad, valor predictivo positivo, valor predictivo negativo, y exactitud.

Sensibilidad: La sensibilidad es la probabilidad que un fenómeno arroje un valor positivo cuando realmente lo es. Por ejemplo, un examen de una enfermedad da positivo cuando el paciente realmente esta enfermo de dicho padecer. Podemos expresar la formula como un cociente de la siguiente forma:

$$sensibilidad = \frac{VP}{(VP + FN)} \quad (2.12)$$

Especificidad: La especificidad es la probabilidad que un fenómeno arroje un valor negativo cuando realmente no se encuentra presente (o sea es una predicción negativa cuando la realidad también es negativo). Por ejemplo, un examen de embarazo que da negativo cuando la paciente no esta embarazada. Podemos expresar la formula como un cociente de la siguiente forma:

$$especificidad = \frac{VN}{(FP + VN)} \quad (2.13)$$

Valor Predictivo Positivo: El valor predictivo positivo es la probabilidad de que un fenomeno este presente cuando la predicción arroja un valor positivo. Por ejemplo, la probabilidad de que un paciente tenga diabetes cuando el examen arroja positivo. Podemos expresar la formula como un cociente de la siguiente forma:

$$valor\ predictivo\ positivo = \frac{VP}{(VP + FP)} \quad (2.14)$$

Valor Predictivo Negativo: Lo opuesto del valor predictivo positivo, es la probabilidad de que una predicción arroje negativo cuando el fenómeno no este presente. Por ejemplo, la probabilidad de que un paciente no se le detecte diabetes cuando en la vida real no la tiene. Podemos expresar la formula como un cociente de la siguiente forma:

$$\text{valor predictivo negativo} = \frac{VN}{(VN + FN)} \quad (2.15)$$

Exactitud: Quizás el mas sencillo de percibir de forma natural, la exactitud es simplemente la probabilidad de una predicción correcta. Podemos expresar la formula como un cociente de la siguiente forma:

$$\text{exactitud} = \frac{VP + VN}{(VP + FP + VN + FN)} \quad (2.16)$$

Midiendo Error en Data Continua

Para data continua, de naturaleza numérico, las dos formas de medir el error mas comunes en aprendizaje automatizado son el error cuadrático medio y la raíz error cuadrático medio.

La raíz error cuadrático media es utilizada con frecuencia para medir la diferencia entre valores (de una muestra y valores de una población) predicha por un modelo o un estimador y los datos observados en la realidad. Este valor representa la desviación estándar de la muestra entre los valores predichos y los valores observados. Las diferencias individuales entre estas dos medidas se conocen como residuos si son extraídos de la muestra, y errores de predicción si son calculados fuera de muestra.

$$\sqrt{\frac{1}{n} \sum_{i=1}^n (\text{prediccion}_i - \text{observado}_i)^2} \quad (2.17)$$

Sobreajuste

En aprendizaje automatizado, el sobreajuste (también es frecuente emplear el término en inglés overfitting) es el efecto de sobre-entrenar un algoritmo de aprendizaje con unos ciertos datos para los que se conoce el resultado deseado. Daroczi define el sobreajuste como la descripción del

modelo en conjunto con el ruido aleatorio de la muestra en vez de solo el fenómeno generador de datos [Daroczi, 2015]. El sobreajuste ocurre, por ejemplo, cuando el modelo tiene más predictores de los que puede acomodar la muestra de datos.

Según Zumel y Mount, una de las señales de sobreajuste más sencillas de detectar se da cuando un modelo tiene un excelente desempeño en el juego de datos que se entrenó, pero uno muy malo en un juego de datos nuevo [Zumel and Mount, 2014]. Esto es causa y efecto de memorizar la data de entrenamiento en vez de aprender reglas generales de la generación del patrón.

R y la Biblioteca CARET

La biblioteca *CARET* (nombre extraído de Classification And Regression Training) es una librería de funciones en R para optimizar el proceso de crear modelos predictivos. El paquete contiene herramientas para:

- segmentar juegos de datos
- preproceso de los datos
- seleccion de predictores
- optimizacion del modelo utilizando reconfiguracion de muestras
- estimacion de la importancia de la variable

El paquete esta mantenido en GitHub bajo la administración del Doctor en Estadística Max Kuhn [Kuhn, 2018].

Modelos Ensamblados

El tema de modelos ensamblados es uno que por lo general se reserva más como técnica de composición que cómo teoría del aprendizaje automatizado. Los modelos ensamblados ayudan a mejorar los resultados del aprendizaje automatizado combinando diferentes modelos. Este enfoque permite la producción de mejores modelos predictivos en contraposición a la utilización de un solo modelo [Smolyakov, 2017].

Introducción

El uso de modelos ensamblados es en cierta forma la prueba final de la hipótesis de trabajo: la utilización de dos modelos entrecruzados cuyos resultados conforman una tabla temporal de valores esperados de los cuales se genera un nuevo modelo sintético de predicción más general y con mayor capacidad de predicción en juegos de datos de validación cruzada. Este concepto es novel; Witten y Frank lo describen como combinación de métodos múltiples, y escriben: "... un enfoque obvio para hacer mejores decisiones es tomar el resultado de diferentes métodos y combinarlos..." [Witten and Frank, 2005]. Zhou nos describe que "... los modelos ensamblados que entrenan múltiples variables y luego las combinan para uso de entrenamiento, con el Boosting y el Bagging como representantes principales, representan lo más novedoso en el estado del arte de la ciencia de datos..." [Zhou, 2012, p. 7]. De una manera un tanto más coloquial, Zhang y Ma describen el uso de modelos ensamblados con una analogía de la vida real, en la cual los pacientes buscan una segunda y hasta tercera opinión de expertos antes de someterse a una operación complicada [Zhang and Ma, 2012]. Curiosamente tanto Zhang, Ma y Zhou hablan de la combinación de métodos de regresión general con clasificadores, y solo Witten y Frank hablan de otras combinaciones (por supuesto, Witten y Frank comenzaban a escribir en los albores del ensamblaje de métodos, cuando los clasificadores no estaban tan de moda porque el análisis era mayoritariamente de números, algo que cambió con el avance de las redes sociales). Una de las descripciones más sucintas y prácticas es la de Vadim Smolyakov, quien define el uso de modelos ensamblados como meta-algoritmos que combinan dos o más técnicas de aprendizaje automatizado en un modelo predictivo de forma que se logre disminuir la varianza (bagging), el sesgo (boosting) o se mejore la precisión (stacking) [Smolyakov, 2017].

Combinando Métodos

La combinación de métodos es el ultimo paso en la estrategia de construcción de un sistema ensamblado de aprendizaje automatizado. La pregunta de que métodos combinar esta estrechamente relacionado con el tipo de juegos de datos y la solución que se busca alcanzar. Por ejemplo, alguno métodos de clasificación como los vectores de soporte solo devuelven valores discretos [Zhang and Ma, 2012]. De tal manera el uso de dos métodos alternos en uno ensamblado estará determinado por la forma final en que se ensamblan y el algoritmo final utilizado para la decisión de predicción. Tanto Polikar [Zhang and Ma, 2012] como Zhou [Zhou, 2012] citan como preferibles las metodologías de voto por mayoría, promedio, promedio ponderado, y ensamblaje infinito. Dzeroski y Zenko denotan que la mayoría de la investigación alrededor de métodos ensamblados se da con la generación de ensambles utilizando un único algoritmo de clasificación, como por ejemplo los árboles de decisión o el entrenamiento de redes neuronales [Dzeroski and Zenko, 2004].

Smolyakov divide los métodos ensamblados en dos grandes clasificaciones [Smolyakov, 2017]:

- **Métodos Ensamblados Secuenciales:** son aquellos donde los modelos bases de aprendizaje se generan de forma secuencial. La idea inicial es que se explota la dependencia entre dichos modelos base al momento de generarlos. Un buen ejemplo de modelos ensamblados secuenciales es *AdaBoost*. El desempeño de predicción o la acotación del margen de error se optimiza al calibrar los regresores y/o clasificadores después de cada entrenamiento y previo al próximo.
- **Métodos Ensamblados Paralelos:** son aquellos en los cuales los modelos bases se generar en forma paralela e independiente. Un buen ejemplo de modelos ensamblados paralelos es *Random Forest*. La motivación de utilizar modelos ensamblados paralelos es maximizar la independencia entre los regresores y/o clasificadores que se optimizan entre si al promediar los resultados, reduciendo el margen de error.

Diversidad

La diversidad de ensamblaje, o la diferencia entre diferentes métodos de aprendizaje, es un tema fundamental en el ensamblaje de métodos [Zhou, 2012]. Intuitivamente es fácil entender

que para obtener una ventaja de la combinación, es necesario que los aprendizajes sean diferentes, de otra manera la ganancia en desempeño no sería marginalmente superior a los métodos por separado [Zhou, 2012].

La mayoría de los métodos ensamblados utilizan solo un tipo de modelo base de algoritmo de aprendizaje para producir regresores o clasificadores homogéneos (del mismo tipo) conocidos como *ensamblajes homogéneos* [Smolyakov, 2017]. También existen métodos que utilizan diferentes tipos de modelos bases como clasificadores y/o regresores. Estos modelos ensamblados se conocen como *modelos heterogeneos*. Para poder ensamblar modelos más precisos que cualquiera de sus modelos base por si solos es necesario que los modelos bases sean precisos en primera instancia, y tan diversos como sea matemáticamente posible [Smolyakov, 2017].

Para propósitos de este marco teórico revisaremos de forma breve los tres métodos más utilizados en la actualidad para el ensamblaje que son:

- Bagging: cuando se busca reducir la varianza en los clasificadores
- Boosting: cuando se busca reducir el sesgo
- Stacking: cuando se busca aumentar la predicción de los regresores

Dado que la hipótesis de trabajo del siguiente estudio utiliza el ensamblaje heterogéneo de modelos bases de regresión lineal y pronóstico de series de tiempo con ARIMA, haremos un alto para entrar con más detalle en la teoría y bondades de los modelos apilados (*stacking*).

Bagging

La idea del *bagging* está estrechamente ligada al *bootstrapping*, y determinada por la selección de múltiples muestras de datos generadas a través de *bootstrapping*, utilizadas para alimentar clasificadores, sobre cuyos resultados el método ensamblado puede votar [Daume, 2013]. La palabra *bagging* es la composición de *bootstrap aggregation*. La etimología proviene de la metodología propia del método, que usa la agregación de múltiples muestras generadas de los datos disponibles (por ende, el *bootstrapping*) para promediar múltiples estimados [Smolyakov, 2017]. Por ejemplo, se pudiera utilizar el *bagging* para entrenar M árboles diferentes en diferentes juegos de datos seleccionados al azar con reemplazo para computar el ensamblado siguiente:

$$f(x) = \frac{1}{M} \sum_{m=1}^M f_m^{(x)}$$

Bagging utiliza muestreo por *bootstrap* para obtener juegos de datos para entrenar los modelos base. Para agregar los resultados de los modelos base, el *bagging* utiliza dos maneras:

1. votación para clasificadores
2. promedios para regresión

Boosting

El *boosting* se refiere a una familia de técnicas de algoritmos que tienen la capacidad de convertir clasificadores (o regresores) débiles en entrenadores fuertes. El principio del *boosting* es calzar una secuencia de clasificadores débiles - modelos que son escasamente mejores en la predicción que selección al azar, como por ejemplo pequeños árboles de decisión - a versiones ajustadas y sopesadas de los datos. Más peso se le otorga a los clasificadores que fueron mal clasificados en rondas anteriores [Smolyakov, 2017]. Daume describe el método como "...La forma en la cual funciona el *boosting* es que basado en un juego de datos y resultados pasados, va generando nuevas predicciones. Las predicciones con resultados aceptables se les pone menor peso y recursos, mientras que el algoritmo vuelve a iterar en aquellas predicciones con valores lejanos hasta que cobran fuerza ..."[Daume, 2013]. Esta técnica recibe el nombre de **AdaBoost**, del ingles *adaptive boosting algorithm*. **AdaBoost** fue una de las primeras técnicas practicas en la ciencia de datos.

Los algoritmos de *AdaBoost* comienzan ajustando los pesos del clasificador base $y_1(x)$ a $\frac{1}{N}$. Al comienzo todos los coeficientes de peso son los mismos. En rondas subsiguientes los coeficientes de peso se aumentan para aquellos puntos de datos que han sido mal clasificados y se reduce el peso de aquellos que han sido clasificados correctamente. Esta iteración es la que permite fortalecer los clasificadores débiles (a la vez fortaleciendo los débiles y debilitando los fuertes para contrastar mejor) [Smolyakov, 2017].

Existe una variable epsilon que representa el error ajustado de cada clasificador base. Hacia el final de las iteraciones del algoritmo los coeficientes ajustados alfa le otorgan mayor peso a los clasificadores con mayor precisión (la cual ha sido ajustada en n iteraciones).

Una metodología derivada es el *Boosting de Árboles Degradados*. Dicho método es una generalización del *boosting* para funciones arbitrarias de pérdida [Smolyakov, 2017]. El mismo se puede utilizar tanto para problemas de clasificación como de regresión, y construye el modelo de forma secuencial:

$$F_m(x) = F_{m-1}(x) + \gamma_m^{h_m(x)}$$

En cada nodo del árbol de decisión $h_m(x)$ se elige para minimizar una función de pérdida L dado el modelo actual $F_{m-1}(x)$:

$$F_m(x) = F_{m-1}(x) + \operatorname{argmin}_h \sum_{i=1}^n L(y_i, F_{m-1}(x_i) + h(x_i))$$

Los algoritmos para regresión y clasificación en este caso utilizan diferentes tipos de funciones de pérdida cuya explicación queda fuera del alcance de este marco teórico.

Stacking

El *stacking* - del inglés apilar - es una técnica de aprendizaje ensamblado que combina múltiples modelos de regresión o clasificación mediante un meta-regresor o un meta-clasificador. Los modelos base se entrenan en el juego de datos de entrenamiento, y luego el meta-modelo es entrenado en los resultados de los modelos base como variables [Smolyakov, 2017]. Los modelos base por lo general son diferentes algoritmos de aprendizaje automatizado, por lo que los modelos ensamblados por *stacking* son usualmente heterogéneos. David Wolpert, del Centro de Estudio de Los Alamos, Nuevo México, escribió por primera vez sobre el método. Su propuesta era utilizar *stacking* generalizado como una manera de reducir el sesgo del entrenamiento de datos y el error de generalización. La tesis planteada es que el *stacking* tiene un mejor margen de generalización ya que reduce el mismo al utilizar como fuente de datos de entrenamiento las predicciones (el cual denomina conjeturas en su artículo original) de un juego inicial de clasificadores [Wolpert, 1992]. Wolpert habla de un aprendizaje automatizado en dos espacios, uno inicial donde se toma como entradas los clasificadores base, y un segundo espacio, donde bautiza como *generalizador* lo que la literatura actual denomina el meta-clasificador. La idea de generalización era la reducción del error del modelo aplicado a la vida real en solución de problemas. El concepto de sobreajuste

(*overfit*) no figura entonces pero lo que se buscaba era un método que generalizara mejor sobre datos de validación reduciendo el error generado por el sobreajuste de los modelos base sobre el juego de datos de entrenamiento. Dzeroski y Zenko han continuado los estudios de Wolpert y han presentado nuevos métodos de *stacking*, incluyendo el uso de distribuciones de probabilidades y regresión lineal de múltiples respuestas como opciones que clasifican y predicen como mayor precisión [Dzeroski and Zenko, 2004]. Ting y Witten definen la generalización por *stacking* como una metodología general que utiliza un modelo de alto nivel que combina modelos inferiores para alcanzar mayores niveles de precisión en la predicción [Ting and Witten, 1999].

Dado que gran parte del trabajo de tesis doctoral involucra el uso de *stacking*, el pseudo-código para el algoritmo se presenta a continuación.

```

1 Input: data entrenamiento  $D = \{x_i, y_i\}$ ,  $i=1\dots m$ 
2 Output: clasificados ensamblado  $H$ 
3 Paso 1: aprender de los clasificadores base
4 para  $t = 1$  a  $T$  hacer:
5   aprender  $h(t)$  basado en  $D$ 
6 terminar bucle
7 Paso 2: construir un nuevo juego de datos para predicciones
8 para  $i = 1$  a  $m$  hacer:
9    $D(h) = \{x_i', y_i\}$ , donde  $x_i' = \{h_1(x_i), \dots, h_T(x_i)\}$ 
10  terminar bucle
11 Paso 3: aprender del meta-clasificador
12 aprender  $H$  basado en  $D(h)$ 
13 retornar  $H$ 

```

Entrando en mayor profundidad sobre la metodología, el *stacking* se centra en la combinación de múltiples clasificadores generados por la utilización de diferentes algoritmos L_1, \dots, L_N en un juego de datos único S , el cual consiste de ejemplos $s_1 = (x_i, y_i)$, pares de vectores (x_i) y sus clasificaciones (y_i) . En la primera fase, un juego de clasificadores bases C_1, C_2, \dots, C_N se generan, donde $C_i = L_i(S)$. En la segunda fase, un meta-clasificador se aprende de la combinación de salidas del clasificador base [Wolpert, 1992]

Para generar un juego de entrenamiento para el meta-clasificador, se puede aplicar un proceso de *validación cruzada* o *dejar-uno-fuera*. En caso de utilizar el proceso de dejar-uno-afuera, se

aplica cada uno de los algoritmos base a todo el juego de datos menos un ejemplo para prueba: $\forall i = 1, \dots, n : \forall k = 1, \dots, N : C_k^i = L_k(S - S_i)$. Luego se utilizan los clasificadores aprendidos para generar predicciones para $s_i : \hat{y}_i^k = C_k^i(x_i)$. El juego de datos a meta-nivel consiste de ejemplos de la forma $((\hat{y}_i^1, \dots, \hat{y}_i^N), y_i)$ donde los regresores o clasificadores son las predicciones de los regresores/clasificadores base y la clase es la clase correcta del ejemplo a mano [Dzeroski and Zenko, 2004].

La decisión de que meta-clasificador o meta-regresor utilizar es por el momento decisión del científico de datos en cada caso, y un tema que ha llevado a controversias en la comunidad de la ciencia estadística. El método de stacking continúa su evolución como por ejemplo el uso de distribuciones de probabilidades. Ting y Witten continúan el trabajo de Wolpert concentrándose en los que ellos llaman los dos factores cruciales de los métodos de *stacking* generalizado: el tipo de generalizador más conveniente para derivar el modelo de nivel superior, y los tipos de atributos que debieran ser utilizados como variables de ingreso [Ting and Witten, 1999]. Los autores introducen una metodología novel donde se ensamblan clasificadores cuyas predicciones son las distribuciones de probabilidad de los valores de las clases, en vez de los valores de las clases en si. Ende, los meta-atributos son probabilidades de cada una de los valores de clase que arroja cada uno de los clasificadores base. Los autores aducen que esto no solo les permite hacer predicciones, sino utilizar el intervalo de confianza de los clasificadores base.

Cada clasificador base predice una distribución de probabilidades para un juego de posibles valores de clase. La predicción de un clasificador base C aplicada al ejemplo x es una distribución de probabilidades a su vez:

$$p^C(x) = (p^C(c_1 | x), p^C(c_2 | x), \dots, p^C(c_m | x))$$

donde c_1, c_2, \dots, c_m es el rango de posibles valores de la clase y $(p^C(c_i | x))$ denota la probabilidad de que dicho ejemplo x pertenezca a la clase c_i como lo estima (y predice) el clasificador C . La clase c_j con la probabilidad más alta $p^C(c_j | x)$ se predice con el clasificador C . Los meta-atributos son las predicciones de probabilidades para cada clase posible según cada uno de los clasificadores base [Dzeroski and Zenko, 2004].

Operacionalización de Variables

Las siguientes son las variables utilizadas en el trabajo de investigación y su operacionalización incluyendo fuente de series de tiempo Quandl.

Variable Nominal	Definición	Dimensiones	Nombre	Indicadores	Fuentes Quandl
Variable Dependiente	Valor de la Tasa Representativa del Mercado indicativa de la tasa de cambio del dólar en pesos Colombianos.	TRM	trm	R R2 p-value	CURRFX/ USDCOP
Variables Independientes	Rubros de exportación de la economía Colombiana cuyo valor agregado supera el 60 % del producto bruto interno	Aceite de Palma	palma	R R2 p-value	ODA/ PPOIL_USD
		Oro	oro	R R2 p-value	WGC/GOLD_ DAILY_USD
		Petroleo	wti	R R2 p-value	EIA/PET_ RWTC.D

Variable Nominal	Definición	Dimensiones	Nombre	Indicadores	Fuentes Quandl
		Cafe	cafe	R R2 p-value	CHRIS/ ICE_KC1
		Banana	banano	R R2 p-value	ODA/PBA NSOP_USD
		Ferro- niquel	niquel	R R2 p-value	LME/PR_NI
		Gasoil	gasoil	R R2 p-value	NASDAQ OMX/NQC IGOE
		Polipropileno	poli- propileno	R R2 p-value	FRED/WPU 091303223
		Hulla Térmica	hulla	R R2 p-value	CHRIS/ SGX_CFF3
		Carbón	carbón	R R2 p-value	EIA/COAL

Cuadro 2.1: Tabla Operacionalización de Variables

Marco Conceptual

La TRM representa un ejemplo perfecto de series de tiempo con marcada tendencia secular y estacionalidad. Podríamos en cualquier caso utilizar métodos de pronóstico de series de tiempo como ARIMA para entonces estimar el valor futuro de la TRM. Sin embargo, esta estimación tendría como único elemento de referencia el valor de la TRM en diferentes puntos del tiempo. Estaríamos resolviendo el problema haciendo caso omiso de las diferentes variables exógenas que intervienen en la economía mundial y de Colombia, y que juntas definen a través de la ley de oferta y demanda el valor final de la TRM.

En dicho caso, el uso de regresión lineal y regresión multivariable nos permite justamente crear un modelo de pronóstico basado en regresores relacionados con la variable independiente que a su vez son variables exógenas. A través de la creación de dicho modelo la predicción se hace sin tomar en cuenta que la TRM es una serie de tiempo y puede aportar en su descomposición factores importantes tales como la estacionalidad de la tendencia.

Si partimos del hecho de que la TRM es una serie de tiempos y puede ser estudiada como tal, y que además los diferentes rubros de exportación de la economía de Colombia aportan divisas que a través de la ley de oferta y demanda regulan en el mercado sus precios, es una admisión de que existen variables relacionadas, aunque exógenas que rigen el comportamiento de la TRM además de sus tendencias seculares y estacionalidad.

Es válido, si partimos de ambos supuestos y los tomamos como ciertos, pensar que puede existir un modelo híbrido de pronóstico que tome en consideración ambos eventos. Hay claras sinergias entre las exportaciones de Colombia, fuentes de ingresos de divisas, que se manifiestan en indicios de comportamiento de cotización de mercado. Hay claras manifestaciones en la estacionalidad y tendencia de una serie de tiempos representativa de la TRM. Ambas metodologías de pronóstico son el reflejo de la realidad económica modelados de diferentes maneras.

La Ciencia de Datos utiliza el aprendizaje automatizado como forma de llegar a modelos complejos de clasificación y estimación. Es aprendizaje automatizado porque los datos son los que se entrenan y definen el modelo, no el científico. Si existen sinergias fuertes el modelo cobra vida de forma automática. Inclusive el aprendizaje automatizado prevé la existencia de modelos ensamblados, justamente para aumentar la capacidad de estimación cuando un fenómeno puede

ser modelado mejor como una sumatoria de clasificadores y/o regresores que por un solo método. Por lo tanto, es plausible obtener un modelo de predicción de la TRM generado por el aprendizaje automatizado de series de tiempo y regresión multivariable en un solo método híbrido y ensamblado que parta desde:

- el uso de los valores de la TRM como serie de tiempo,
- y los valores de la TRM y los diferentes rubros mayores que componen la canasta de exportación de Colombia como una estructura de datos para el análisis de regresión multivariable.

¿Cómo podemos predecir la TRM para mitigar el efecto negativo de las fluctuaciones en la tasa de cambio en la contabilidad de precios y costos?

La hipótesis de trabajo para resolver dicha pregunta postula un modelo basado en los principales rubros de exportación de Colombia diseñado con Machine Learning de los mismos datos:

- Existen una cantidad finita - e inferior a la decena - de productos de exportación que fungen como variables de agregación al producto bruto interno de Colombia y que son necesarias para la consecución de un modelo predictivo parsimonioso de la TRM.
- El valor de la TRM, tal cual lo ja la Superintendencia Financiera de Colombia, no es sino el reflejo de los movimientos de estas variables de aportación que ayudan a modelar y controlar la tasa de cambio.
- El comportamiento pasado de dichas variables puede ser utilizado para entrenar y generar un modelo estadístico predictivo parsimonioso utilizando aprendizaje automatizado cuyo margen de error sea inferior al 5 % (o, en otros términos, $p > 0,05$).
- El modelo final no es único sino es el resultado del ensamblaje de varios modelos matemáticos predictivos y dinámico en su concepción ya que puede ser afectado por la acumulación de nuevos datos de retroalimentación a posteriori

En términos formales:

$$p^c(x) = (p^c(c_1 | x), p^c(c_2 | x)) \quad (2.18)$$

Donde:

$$c_1 : y'_t = c + \phi_1 y'_{t-1} + \dots + \phi_p y'_{t-p} + \phi_1 e_{t-1} + \dots + \phi_q e_{t-q} + e_t \quad (2.19)$$

$$c_2 : f(y_t) = \beta_0 + \beta_1 x_{t-1} + \beta_2 x_{t-2} + \dots + \beta_n x_{t-n} + \epsilon_t \quad (2.20)$$

En términos coloquiales, el modelo de predicción está determinado por el ensamblaje acumulado de dos clasificadores (ambos regresores), un modelo de regresión lineal y otro de pronóstico ARIMA.

La hipótesis de trabajo propuesta tiene marcada diferencias con los trabajos de otros investigadores en el área de predicción del FOREX.

- Los investigadores Mehreen Rehman, Gul Muhammad Khan y Sahibzada Ali Mahmud han utilizado la ciencia de datos para la predicción de FOREX. Los autores utilizan CGP (Programación Genética Cartesiana), una extensión del uso de redes neuronales, para obtener predicciones del dólar australiano [Rehman et al., 2014]. Este modelo se alimenta exclusivamente de datos históricos de la cotizaciones de la moneda y no tiene datos de variables exógenas como los regresores propuestos de los rubros de exportación de Colombia.
- El estudio de los doctores Hossein Talebi, Winsor Hoang y Marina Gavrilova busca la mejora de sistemas automatizados de corretaje de FOREX. Los autores proponen un nuevo método de clasificación con extracción de clasificadores de múltiples escalas para el entrenamiento de datos, y luego se ensamblan diferentes clasificadores por voto Bayes [Talebi et al., 2014]. El trabajo tiene en cuenta el uso de métodos ensamblados pero utiliza como clasificadores pares de cotizaciones de monedas (por ejemplo el par COP:USD) las cuales pueden pensarse como un ensamble de dos series de tiempo sin uso de variables exógenas.
- Los profesores de matemática de la universidad de Beijing Lean Yu, Shouyang Wang, y K. K. Lai usan un enfoque novedoso en el sentido que utilizan un sistema ensamblado de auto-regresión lineal generalizada (GLAR) con redes neuronales artificiales (ANN) [Yu et al., 2005]. Este estudio es similar a la propuesta de esta investigación pero sigue alimentando el sistema solo con series de tiempo.

Los autores que ya han utilizado aprendizaje automatizado y métodos ensamblados todos recurren al uso de series de tiempo como entradas, sin que ninguno se haya preguntado si existen sinergias adicionales en el concepto de valorización del FOREX. El problema ha sido estudiado con mucho detenimiento desde el punto de vista del aprendizaje automatizado puro pero no desde el punto de vista macro económico y comercial. La hipótesis de trabajo se basa en la observación de que son las exportaciones las que regulan el precio de la TRM y pueden aportar un elemento de agregado de precisión al modelo predictivo si se combina con el modelo entrenado de series de datos. El papel del aprendizaje automatizado es justamente este: entrenar un modelo que minimiza el error de predicción en base a una gran cantidad de datos y facilitar el análisis estadístico del modelo predictivo en aras de lograr un modelo de producción que pueda ser utilizado con facilidad todos los días, varias veces al día de ser necesario, o inclusive miles de veces al día en un sistema automatizado de FOREX.

Capítulo III:

Marco Metodológico

Hipótesis de Trabajo

Como sugiere Huertas en su escrito La Formulación de la Hipótesis [Huertas, 2002] las hipótesis se materializan luego que el investigador llega a través de la observación a una proposición inicial. La observación nos lleva a una creencia común del mercado bursátil de Colombia de que la TRM esta correlacionada al precio del barril de petróleo. Al llevar esta proposición al análisis, se nota que la correlación es real pero no completa. Hay otros elementos adicionales al precio internacional de petróleo que forman parte de un modelo predictivo, y que quizás compartan la similitud de ser variables relacionadas con los productos de mayor exportación y contribuyentes a la agregación del producto bruto interno.

La pregunta de investigación entonces evoluciona a la siguientes:

¿Como crear un modelo predictivo de la TRM de Colombia usando Aprendizaje Automatizado basándonos en los productos de mayor contribución a la canasta del producto bruto interno?

El elemento de aprendizaje automatizado es una condición de la solución innovadora solo por un hecho. Como nos explica Prabanjhan [Narayanachar, 2013]): “el aprendizaje automatizado utiliza datos estadísticos y métodos estadísticos y de computación avanzados para aprender de un juego y muestras de datos y entrenar un modelo con validación cruzada. . . “. A diferencia de las metodologías estadísticas anteriores donde el investigador utiliza los estudios y análisis de los datos para crear un modelo, el aprendizaje automatizado toma los datos y nos permite entrenar

los datos para resolver el problema del modelo. Como los datos entrenados se validan de forma cruzada con el modelo, el modelo subsiguiente ya tiene su propio error estadístico implícitamente delimitado, lo que nos permite utilizarlo con un grado de confianza medible desde el punto de vista matemático.

Utilizando técnicas de investigación exploratoria visual es evidente que solo la variable descriptora del precio internacional de petróleo no es suficiente, sino que hay otros factores que influyen en el precio de la TRM y que la mantienen de subir mucho y los efectos nefastos de la devaluación que esto acarrea. De aquí entonces nuestra hipótesis general de trabajo:

El valor de la TRM se puede pronosticar a través de un modelo estadístico parsimonioso basado en los datos históricos de la valorización de los productos de mayor contribución al portafolio de exportaciones de Colombia.

Hipótesis específicas

Las siguientes son hipótesis específicas de trabajo.

- Existen una cantidad finita - e inferior a la decena - de productos de exportación que fungen como variables de agregación al producto bruto interno de Colombia y que son necesarias para la consecución de un modelo predictivo parsimonioso de la TRM.
- El valor de la TRM, tal cual lo fija la Superintendencia Financiera de Colombia, no es sino el reflejo de los movimientos de estas variables de aportación que ayudan a modelar y controlar la tasa de cambio.
- El comportamiento pasado de dichas variables puede ser utilizado para entrenar y generar un modelo estadístico predictivo parsimonioso utilizando aprendizaje automatizado cuyo margen de error sea inferior al 5 % (o, en otros términos, $p < 0,05$).
- El modelo final no es único sino es el resultado del ensamblaje de varios modelos matemáticos predictivos y dinámico en su concepción ya que puede ser afectado por la acumulación de nuevos datos de retroalimentación a posteriori (N. Del A. esta hipótesis es especulativa en naturaleza, y experimentación matemática precisa es necesaria para validarla).

Metodología de Estudio

Enfoque cuantitativo experimental utilizando Machine Learning.

- Método ensamblado de GLM y ARIMA
- Aprendizaje automatizado
- Biblioteca CARET para la creación de muestras aleatorias de entrenamiento y evaluación cruzada
- 70 % datos de entrenamiento
- 30 % datos de evaluación cruzada

Descripción del Método

La metodología utilizada para el trabajo de investigación se apega estrictamente a la formalización de la hipótesis de trabajo:

$$p^c(x) = (p^c(c_1 | x), p^c(c_2 | x)) \quad (3.1)$$

Donde:

$$c_1 : y'_t = c + \phi_1 y'_{t-1} + \dots + \phi_p y'_{t-p} + \phi_1 e_{t-1} + \dots + \phi_q e_{t-q} + e_t \quad (3.2)$$

$$c_2 : f(y_t) = \beta_0 + \beta_1 x_{t-1} + \beta_2 x_{t-2} + \dots + \beta_n x_{t-n} + \epsilon_t \quad (3.3)$$

Por lo tanto la metodología del estudio se puede resumir en un método ensamblado de aprendizaje automatizado resultante de la composición de dos aprendices: uno basado en un regresor lineal y el segundo basado en un pronóstico ARIMA. Los valores estimados para cada caso del arreglo de datos se utilizan como variable independiente y predictor del modelo ensamblado, con la variable dependiente inmutable. El modelo ensamblado entonces se entrena nuevamente con los resultados de las predicciones contra los valores reales [Leek, 2015].

Podemos resumir el proceso con el siguiente esquema de arquitectura del modelo:

Confección DATA FRAME	
APRENDIZ 1 MRL	APRENDIZ 2 ARIMA
Entrenamiento Modelo Regresión Lineal	Entrenamiento Modelo ARIMA
Evaluación Modelo Regresión Lineal	Evaluación Modelo ARIMA
Modelo MRL Final	Modelo ARIMA Final
Modelo Ensamblado (Stacking)	
Regresores Aprendiz MRL y Aprendiz ARIMA	
Entrenamiento Modelo Ensamblado	
Evaluación Modelo Ensamblado	
Modelo Ensamblado Final	

Figura 3.1: Proceso de Investigación para el Análisis del Modelo Predictivo (Fuente Propia)

Cada aprendiz es a su vez un modelo de aprendizaje automatizado con su propia metodología de investigación.

Aprendiz 1: Modelo de Regresión Lineal

- El aprendiz 1 es un modelo de regresión lineal utilizando como variable dependiente el valor de la TRM para cada día del juego de datos y como regresores un arreglo asociado de cotizaciones del precio promedio mundial de los once productos principales de la canasta de exportación de Colombia entre los años 2010 y 2017.
- Para el juego de entrenamiento se selecciona un 70 % de los datos disponibles. Dicha selección se hace con la ayuda de la biblioteca CARET de R para funciones de aprendizaje automatizado.
- Para el juego de validación se selecciona un 30 % de los datos disponibles. Dicha selección también se hace con la ayuda de la biblioteca CARET de R para funciones de aprendizaje automatizado.
- La variable SEED se prefigura al valor arbitrario 7556014 para propósitos de reproducibilidad de los datos.

- El aprendizaje automatizado no asegura que todos los regresores sean útiles o necesarios para una predicción dentro de los valores de confianza esperados. Existe la posibilidad que un número limitado de regresores cumpla con los mismos valores de predicción que la totalidad de los mismos y que el modelo generalice mejor al tener menos regresores (disminuyendo la inflación de la varianza como efecto secundario).
- Para determinar el número óptimo de regresores se procedió a armar el modelo de aprendizaje automatizado sumando un regresor a la vez y analizando los valores del coeficiente de determinación y coeficiente de correlación. Los valores finales del error mínimo cuadrático de cada modelo se comparan para determinar la mejor combinación de regresores.
- Como segunda validación para la combinación correcta de regresores, se utilizó el análisis *Step_AIC* (reducción óptima de regresores utilizando análisis combinatorio y el Criterio de Información de Aikake) con la biblioteca *STEP_AIC* de *R*. El método *STEP_AIC* es intensivo en recursos de computación y no siempre arroja resultados superiores a los que un investigador pueda armar a mano utilizando técnicas visuales de exploración de datos.

Aprendiz 2: Modelo ARIMA

- El aprendiz 2 es un modelo de pronóstico ARIMA utilizando como serie de tiempo el valor de la TRM para cada día del juego de datos entre los años 2010 y 2017.
- Para el juego de entrenamiento se selecciona un 70 % de los datos disponibles. Dicha selección se hace con la ayuda de la biblioteca *FORECAST* de *R* para funciones de aprendizaje automatizado utilizando series de tiempo [Hyndman and Athanasopoulos, 2014].
- Para el juego de validación se selecciona un 30 % de los datos disponibles. Dicha selección también se hace con la ayuda de la biblioteca *FORECAST* de *R* para funciones de aprendizaje automatizado de series de tiempo.
- La variable *SEED* se prefigura al valor arbitrario *7556014* para propósitos de reproducibilidad de los datos.

Clasificador Ensamblado

- El clasificador ensamblado se toma como un arreglo de una variable dependiente (el valor de la TRM para cada día correspondiente al juego de datos) y dos variables independientes (los resultados de la predicción de los dos aprendices).
- Para el juego de entrenamiento se selecciona el 100 % de los datos disponibles. Dicha selección se hace con los resultados de las pruebas de evaluación de los dos aprendices iniciales [Opitz and Maclin, 1999].
- La variable SEED se prefigura al valor arbitrario *7556014* para propósitos de reproducibilidad de los datos.
- El modelo se resuelve utilizando la metodología de Stacking como un modelo de regresión lineal [Smolyakov, 2017].

Validación del Modelo Ensamblado

Se espera del modelo final un nivel de desempeño con predicciones dentro de un $\alpha \leq 0,05$. Para tal fin dentro del diseño de investigación se valida el modelo sometiendo el mismo a un juego aleatorio de 100 datos de muestra que comprende:

Esquema Visual del Modelo Predictivo

El siguiente es el esquema visual del modelo predictivo donde se muestra como los resultados de los aprendices del modelo ARIMA y de regresión lineal múltiple se convierten en las entradas del modelo ensamblado.

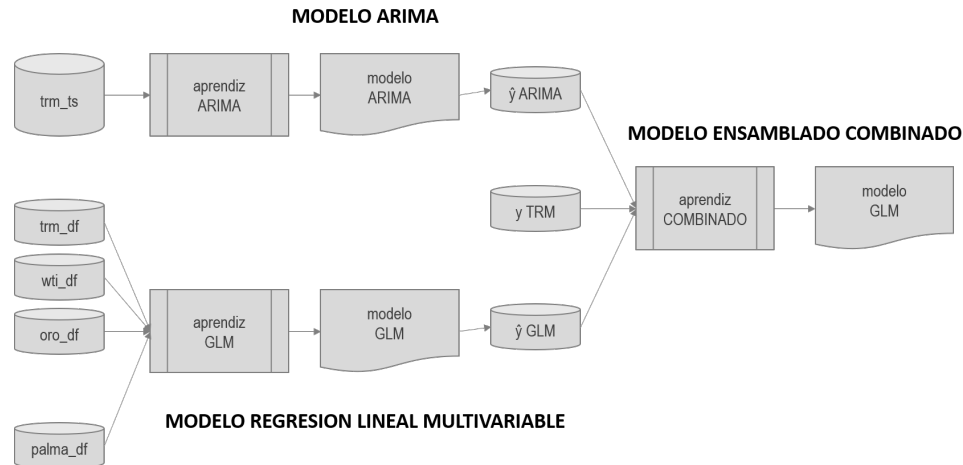


Figura 3.2: Esquema Modelo Predictivo

- Resultados de predicción del modelo versus el modelo aprendiz 1 de regresión lineal multivariable.
- Resultados de predicción del modelo ensamblado versus el modelo aprendiz 2 ARIMA.
- Resultados de predicción del modelo ensamblado versus un intervalo de confianza del 99 %.

El modelo se considera óptimo para producción si pasa las tres pruebas de validación.

Diseño de la Instrumentación

El diseño de la instrumentación para el trabajo de laboratorio incluirá programas de software matemático para:

- Recolectar las diferentes series de tiempo que servirán como variables dependientes (valor de la TRM) e independientes (regresores tales como las cotizaciones del barril de petróleo, quintal de café, etc.)
- Análisis exploratorio visual para determinar validez de los datos, muestras de autocorrelación y autocorrelación parcial a través de la prueba Dickey-Fueller
- Calce de la función de regresión lineal para las variables independientes
- Código para el modelo predictivo ensamblado

Componentes de Investigación Series de Tiempo

Un componente de aportación es cualquier rubro que se supone se exporta desde Colombia, aporta ingresos en dólares, y por lo tanto ayuda a equilibrar la balanza de pagos y demanda demanda de divisas - y por ende la TRM. Es importante hacer un análisis de cada uno de estos que debe incluir [Zumel and Mount, 2014]:

- carga inicial como serie de tiempo (time series class)
- start(), end()
- summary()
- plot.ts()
- acf()
- pacf()
- descomponer en stl()
- prueba Dickey Fuller adf.test()

La carga inicial de datos para cualquier serie de tiempo se hace a través del servicio web de *Quandl* (el siguiente ejemplo ilustrativo utiliza las cotizaciones del quintal de café).

```

1 # Load coffee prices as time series
2 library(Quandl)
3 library(tseries)
4
5 Quandl.api_key("KzzS8Vfxkw1ZgTWgU4jH")
6 coffee <- Quandl("ODA/PCOFFOTM_USD", collapse = "monthly", type = "ts")
7 head(coffee)
8 class(coffee)
9 cycle(coffee)

```

EDA (Explorative Data Analysis)

La forma más sencilla de ver los efectos del precio del café es revisar la tendencia del precio internacional y si ha habido efectos por temporada o alguna tendencia [Daroczi, 2015].

```
1 plot.ts(coffee)
2 abline(reg = lm(coffee ~ time(coffee)))
```

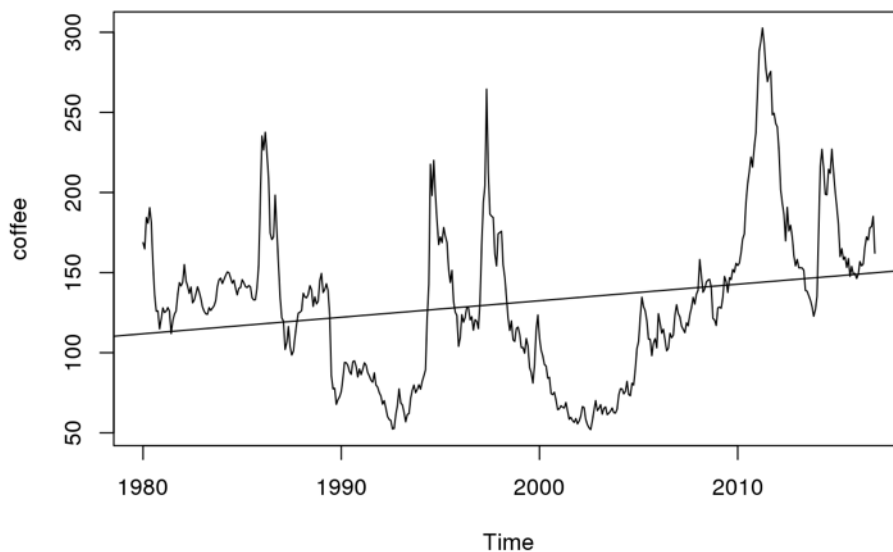


Figura 3.3: Análisis EDA Cotización Internacional Café por quintal (Fuente Propia)

Otro examen necesario es el de autocorrelación y autocorrelación parcial. Ambos análisis nos permiten ver si la serie es del tipo auto-regresiva o de promedios móviles [Hyndman and Athanasopoulos, 2014].

```
1 par(mfrow=c(1,2))
2 acf(coffee)
3 pacf(coffee)
```

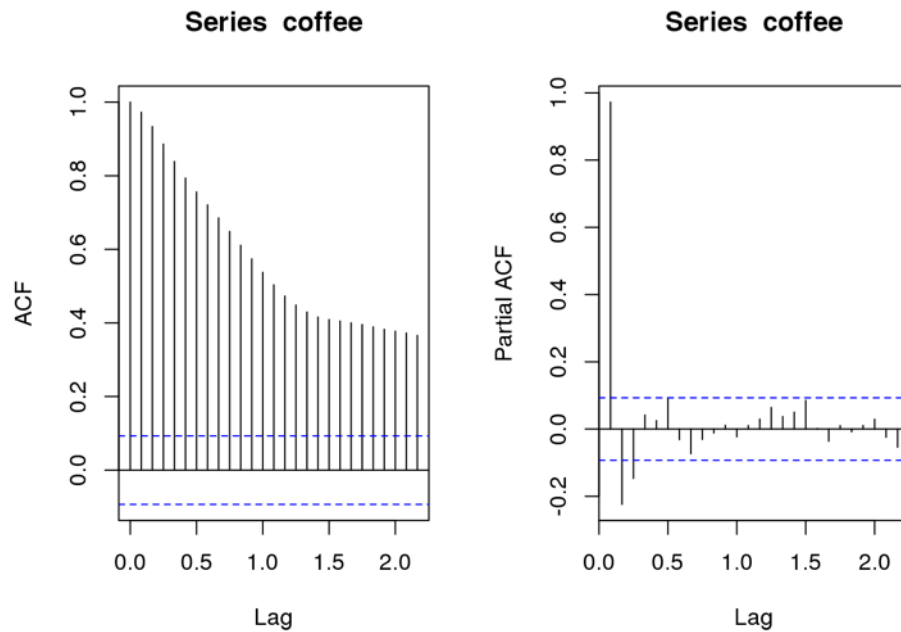



Figura 3.4: Correlograma Precio Internacional del Café (Fuente Propia)

El último examen es la descomposición de la serie en datos, temporalidad y tendencia, para ver si alguno de estos elementos está presente.

```
1 decomp <- stl(coffee, s.window = 11)
2 plot(decomp)
```

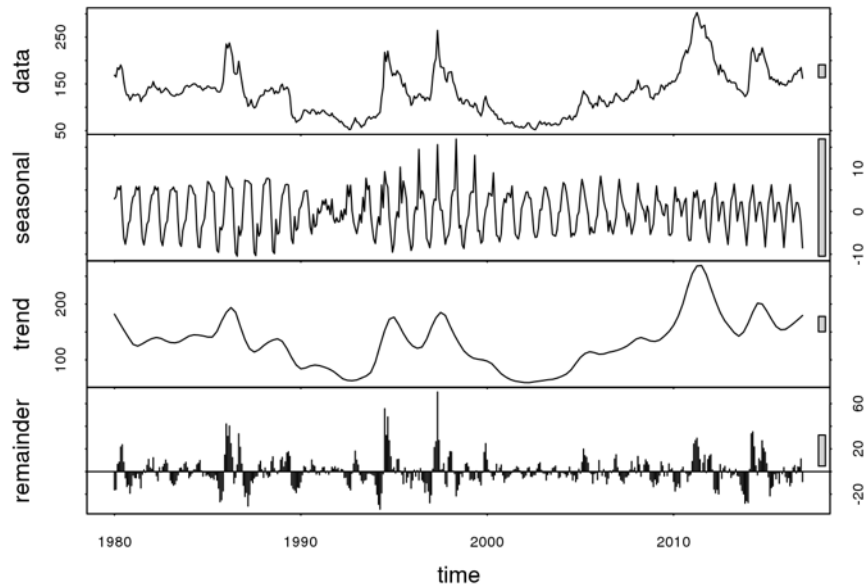


Figura 3.5: Descomposición STL Precio Internacional del Café (Fuente Propia)

El test *Dickey Fuller* [Dickey and Fuller, 1981] es la prueba mas importante para la verificación de la estacionalidad de una serie de tiempos. La literatura recomienda altamente someter todas las pruebas de series al test *Dickey Fuller* antes de proceder con otros análisis [Hyndman and Athanasopoulos, 2014].

```
1 # Dickey Fuller Test for stationary time series
2 df <- adf.test(coffee, k = 12)
3 df$statistic
4 df$p.value
```

Regresión Lineal con Calce de la Función de Predicción

Los modelos de regresión lineal utilizan la biblioteca *Quandl* para la extracción de datos y deben hacer la transformación del arreglo de datos a una serie de tiempos. Los datos serán colapsados de forma mensual y se revisará la fórmula de la función de calce para el coeficiente de correlación y determinación [Narayanachar, 2013].

```
1 # Load oil prices as time series
2 library(Quandl)
```

```

3 library(tseries)
4
5 Quandl.api_key("KzzS8Vfxkw1ZgTWgU4jH")
6 wti <- Quandl("EIA/PET_RWTC_D", collapse = "monthly", type = "ts")
7 head(wti)
8 class(wti)
9 cycle(wti)
10
11 plot.ts(wti)
12 abline(reg = lm(wti ~ time(wti)), col="red")
13 fit = lm(wti ~ time(wti))
14 summary(fit)
15
16
17 Call:
18 lm(formula = wti ~ time(wti))
19
20 Residuals:
21      Min       1Q   Median       3Q      Max
22 -45.031 -13.929  -0.368  11.399  80.925
23
24 Coefficients:
25             Estimate Std. Error t value Pr(>|t|)
26 (Intercept) -4849.3862    213.2634  -22.74  <2e-16 ***
27 time(wti)      2.4439      0.1065   22.94  <2e-16 ***
28 ---
29 Signif. codes:  0 '***' 0.001 '**' 0.01 '*' 0.05 '.' 0.1 ' ' 1
30
31 Residual standard error: 19.43 on 384 degrees of freedom
32 Multiple R-squared:  0.5782, Adjusted R-squared:  0.5771
33 F-statistic: 526.4 on 1 and 384 DF, p-value: < 2.2e-16

```

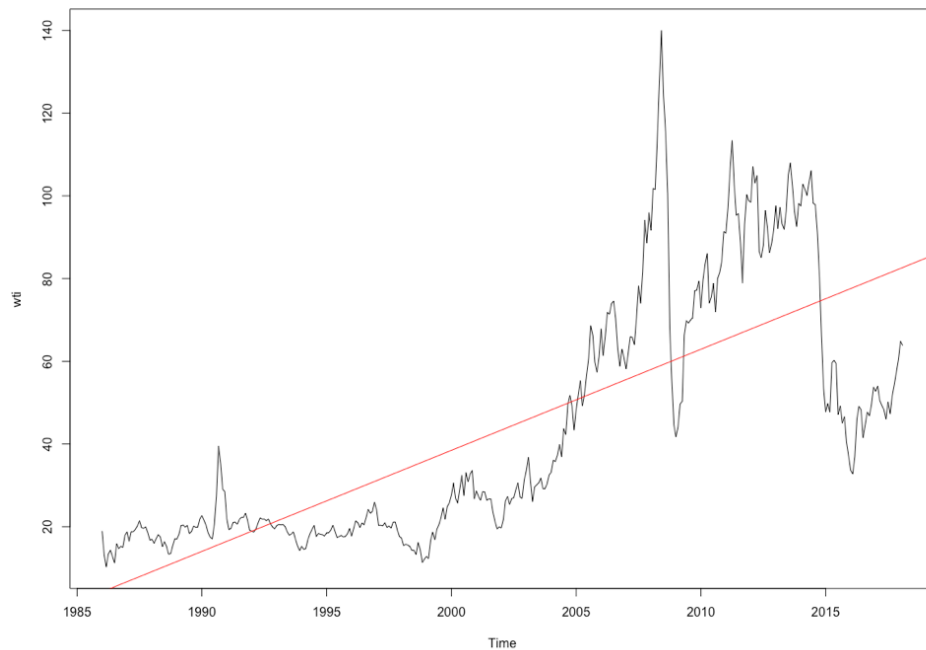


Figura 3.6: Descomposición STL Precio Internacional del Café (Fuente Propia)

Modelo Predictivo Ensamblado

El modelo predictivo ensamblado es el resultado del entrenamiento de un modelo predictivo de regresión lineal y un modelo ARIMA. Ambos modelos se combinan y se entrenan con la variable de valor real en común para ambos [Viswanathan and Viswanathan, 2015].

```

1 # Pseudo-código R simplificado
2 # Funcion de modelo ensamblado
3
4 # Cargar Data Frame con informacion de series de tiempo
5 library(caret)
6 set.seed(7556014)
7 data(featuresTRM)
8 data(TRM)
9 adData = data.frame(TRM, featuresTRM)
10 inTrain = createDataPartition(adData$TRM, p = 3/4)[[1]]
11 training = adData[ inTrain ,]
12 testing = adData[ -inTrain ,]
13

```

```

14 set.seed(7556014)
15
16 modelo1 <- train(TRM ~ ., method = "glm", data = training)
17 modelo2 <- train(TRM ~ ., method = "ARIMA", data = training)
18
19 # Vectores de valores de prediccion de cada modelo
20 predVec1 <- predict(modelo1, testing)
21 predVec2 <- predict(modelo2, testing)
22
23 # Construccion de matriz de datos ensamblados (variable dependiente y
    predictor)
24 predDF <- data.frame(TRM = testing$TRM, predVec1, predVec2)
25
26 # Modelo combinado (fit)
27 combModelFit <- train(TRM ~ ., method = "glm", data = predDF)
28 finalPred <- predict(combModelFit, predDF)

```

Diseño de muestreo

Inicialmente, podemos calcular el tamaño de la muestra necesaria para nuestro estudio con la fórmula [Mendehall et al., 2010]:

$$n = (N * z^2 * p * q) / (E^2 * (N - 1) + z^2 * p * q) \quad (3.4)$$

El tamaño total de todas las cotizaciones de la TRM o del precio internacional del petróleo WTI es un número finito. Los mercados funcionan de lunes a viernes, por lo general las cincuenta y dos semanas del año. Para el uso común de la tasa de cambio, esta cifra se usa todos los días, por ejemplo cuando un consumidor usa una tarjeta de crédito y el banco debe referir al valor de la TRM aunque no sea día de operaciones bursátiles. Por lo que el número total de posibles cotizaciones oficiales en un año dado cualesquiera se determinan como:

$$N_{regresor} = 365 \quad (3.5)$$

La fórmula es muy simple y equivale a sustituir cualquier variable regresor (por ejemplo, el

valor del petróleo WTI) por los números reales de días del año.

$$N_{wti} = 365 \quad (3.6)$$

Ende, existen 365 posibles valores de la cotización del petróleo WTI en un año cualesquiera. Dado que el modelo de predicción de aprendizaje automatizado utiliza datos del año 2010 al 2017 inclusive, podemos ampliar el universo dentro del período de estudio con la siguiente formula:

$$n_{regresor} = 365 * 8 = 2920 \quad (3.7)$$

Nuestro universo por regresor equivale a dos mil novecientos veinte puntos de datos. Para un estudio con un nivel de confianza del 99 % y un error de estimación del 5 % calculamos el número de la muestra como una proporción, donde:

$$N = 2,080 \text{ puntos de datos}$$

$$p = 0,5$$

$$q = 0,5 \text{ o } (1 - p)$$

$$z = 99 \% \text{ o } 2.575$$

$$e = 5 \% \text{ o } 0.05$$

Utilizamos el lenguaje R para resolver el cálculo:

```

1 N <- 2080
2 p <- 0.5
3 q <- 1 - p
4 z <- 2.575
5 E <- 0.05
6
7 muestra <- (N * z^2 * p * q) / ((N - 1) * E^2 + z^2 * p * q)
8 muestra
9 [1] 502.9681

```

El tamaño de la muestra es 503 puntos de datos por regresor a utilizar. Sin embargo, dado que los usos de técnicas de Ciencia de Datos nos permiten acceder a la biblioteca Quandl de forma de recolectar el universo entero de datos, utilizaremos los 2,920 puntos de datos para cada regresor, trabajando de esta forma con el universo entero y no la muestra. Este es un buen ejemplo del uso de Big Data [Peng and Matsui, 2017] que no solo aplica a muestras grandes de universos extensos, sino al total de la data de un universo pequeño.

Reglas de Imputación de Datos

Es común que las bases de datos retornen series de datos incompletas para los días feriados o días sin cambio en la cotización del bien. Para determinar el valor de cualquier día incompleto, la investigación resolvió el método de imputación como la última cotización válida para el regresor.

Observaciones Adicionales Sobre el Uso de Muestras dentro de Diseños de Investigación con Regresión Lineal

No todos los autores están de acuerdo con el uso de la fórmula tradicional para el cálculo del número de muestras en un estudio de regresión lineal. William Dupont y Walton Plummer han discutido el uso de técnicas alternativas cuando los estudios (sobre todo los estudios clínicos) utilizan regresiones lineales multivariable [Dupont and Plummer, 1998]. Dichas técnicas se apoyan en la identificación de diferentes pendientes en los análisis de regresión versus el uso de coeficientes (argumentando que es más fácil comparar visualmente pendientes versus coeficientes) y el manejo del poder estadístico $1-\beta$. Sobre este último los autores manifiestan ajustar los niveles de poder para verificar en que momento del cambio se detecta diferencias de la pendiente de una hipótesis contra su hipótesis alternativa dentro de una muestra de n pacientes.

Al momento de preparar el diseño del estudio, las herramientas de medición y la muestra, el doctorando ha decidido no profundizar más en métodos menos tradicionales de cálculo de muestras en estudios de regresión lineal, dado que en el caso específico se utilizará la totalidad del universo, haciendo el cálculo de muestra innecesario.

Resultados

Introducción

Los resultados del trabajo de laboratorio reflejan el esquema mismo propuesto en la sección de metodología. Se entrenaron dos aprendices distintos. El primero fue un modelo de predicción ARIMA utilizando como datos la serie de tiempo TRM con información sobre las cotizaciones diarias de la tasa de cambio de los años 2010 a finales del 2017. El segundo modelo fue un aprendiz de regresión multivariable utilizando las series de tiempo TRM como variable dependiente y diferentes regresores de los rubros de exportación. Las salidas de ambos modelos en forma de valores pronosticados fueron utilizados para un tercer aprendiz entrenado utilizando metodologías de modelos ensamblados. Los resultados de cada paso fueron registrados para evaluar el comportamiento y nivel de precisión de cada aprendiz.

Modelo ARIMA

Para el aprendiz de modelo ARIMA se utilizó la serie de tiempo de la TRM de Colombia con 2,922 puntos de datos abarcando las cotizaciones de la tasa de cambio desde el comienzo del año 2010 hasta el final del año 2017.

Validación de los Datos de Entrada

La evaluación de la serie de tiempo previo al uso concluye que la misma estaba completa y sin datos que ameriten imputación. Para validar dicha aseveración se reviso primero el rango de

datos y luego la visualización de la serie descompuesta en tendencia secular, variación estacionaria y error aleatorio.

La determinación del rango abarcó valores con un mínimo de 1,557 y un máximo de 3,414:

Cuadro 4.1: Rango de Valores Serie de Tiempo TRM

Min.	1st Qu.	Median	Mean	3rd Qu.	Max.
1557	1828	1933	2259	2906	3414

El análisis visual de la serie de tiempo determinó que a lo largo de su extensión no se vislumbraron valores extremos, nulos u otro tipo de anomalía que afectara el entrenamiento.

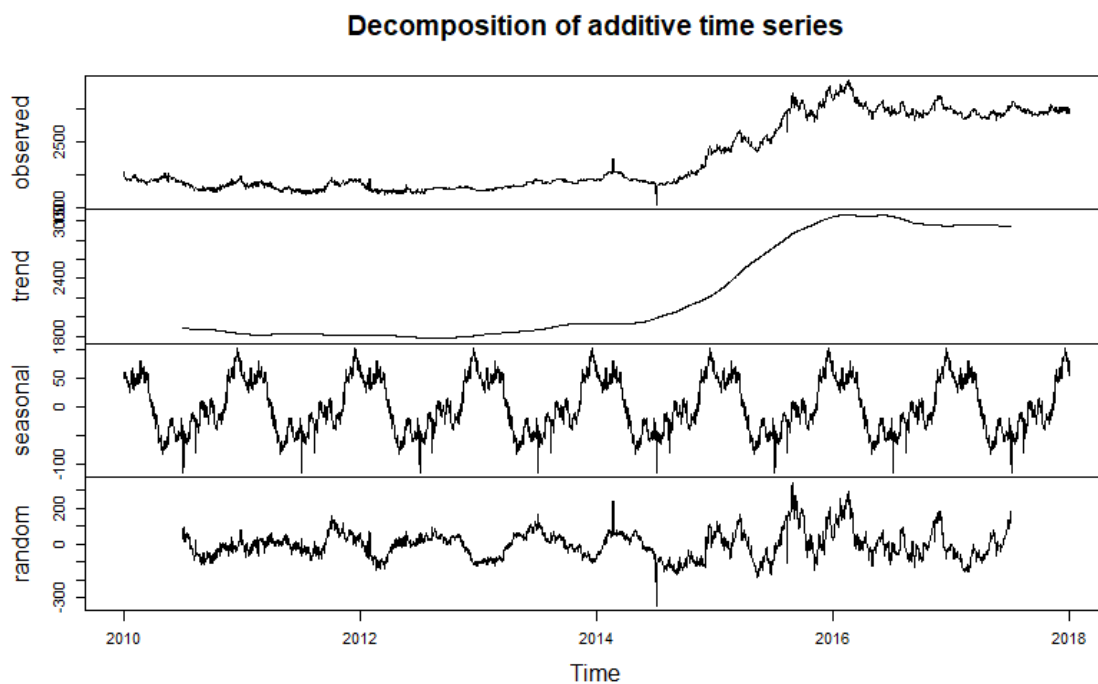


Figura 4.1: Descomposición de la Serie de Tiempo TRM 2010-2017

La serie de tiempo TRM tiene una marcada variación estacional por lo que no es estacionaria. El análisis visual determina que la TRM responde a patrones por temporada de fluctuaciones previsibles, adicionalmente sumado a una tendencia alcista que alcanzó un plató en el año 2017. La idea de una estacionalidad marcada se verifica con el análisis de autocorrelación y autocorrelación parcial efectuado en la serie.

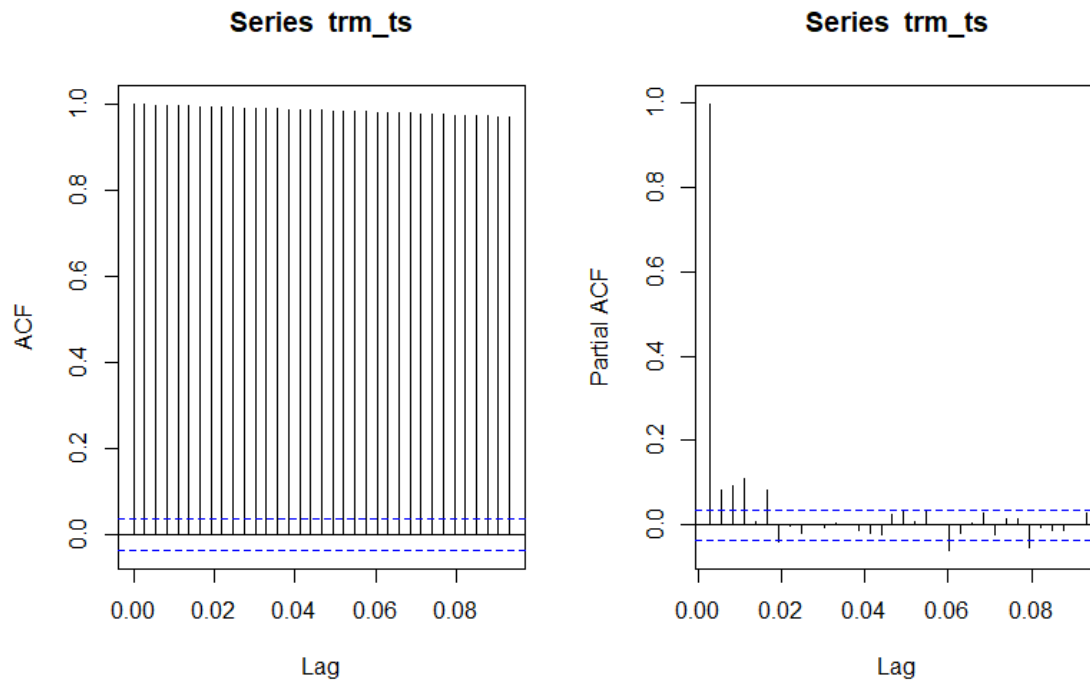


Figura 4.2: Análisis de Autocorrelación y Correlación Parcial de la Serie de Tiempo TRM 2010-2017

El primer gráfico demuestra que la serie de tiempo TRM tiene una autocorrelación marcada donde cada valor de cotización se da en función del anterior. La autocorrelación parcial demuestra que fuera del primer retraso la serie no presenta autocorrelación en períodos superiores.

Entrenamiento de Datos

Posteriormente al análisis EDA la serie de tiempo se entrenó con la metodología ARIMA utilizando la función *auto.Arima()* de la biblioteca *forecast* creada por el Dr. Hyndmann [Hyndman and Athanasopoulos, 2018]. Los resultados resumidos del entrenamiento fueron los siguientes.

```

1 Series: trm_ts
2 ARIMA(3,1,2)
3
4 Coefficients:
5          ar1      ar2      ar3      ma1      ma2
6      -0.3578  0.2932 -0.1187  0.2176 -0.4763
7 s.e.    0.0852  0.0770  0.0226  0.0848  0.0760

```

8

```

9 sigma^2 estimated as 654: log likelihood=-13610.88
10 AIC=27233.77    AICc=27233.8    BIC=27269.65
11
12 Training set error measures:
13
14 Training set 0.5077876 25.54737 14.28794 0.01199701 0.6205936 0.06057789
0.0001886243

```

El modelo final entrenado es del tipo ARIMA(3,1,2). El error promedio del modelo entrenado se ubica en 0.5078 y el error cuadrático en 25.55 (esto último debe entenderse como pesos colombianos). La ecuación del modelo ARIMA se puede escribir como:

$$\Delta y_t = -0,3578\Delta y_{t-1} + 0,2932\Delta y_{t-2} - 0,1187\Delta y_{t-3} + 0,2176\epsilon_{t-1} - 0,4763\epsilon_{t-2} \quad (4.1)$$

donde $\Delta = y_t - y_{t-1}$

Validación del Modelo Entrenado

Para comprender mejor el calce de los valores de predicción se graficó los valores reales del juego de entrenamiento versus los valores esperados del modelo en la tabla 4.3.

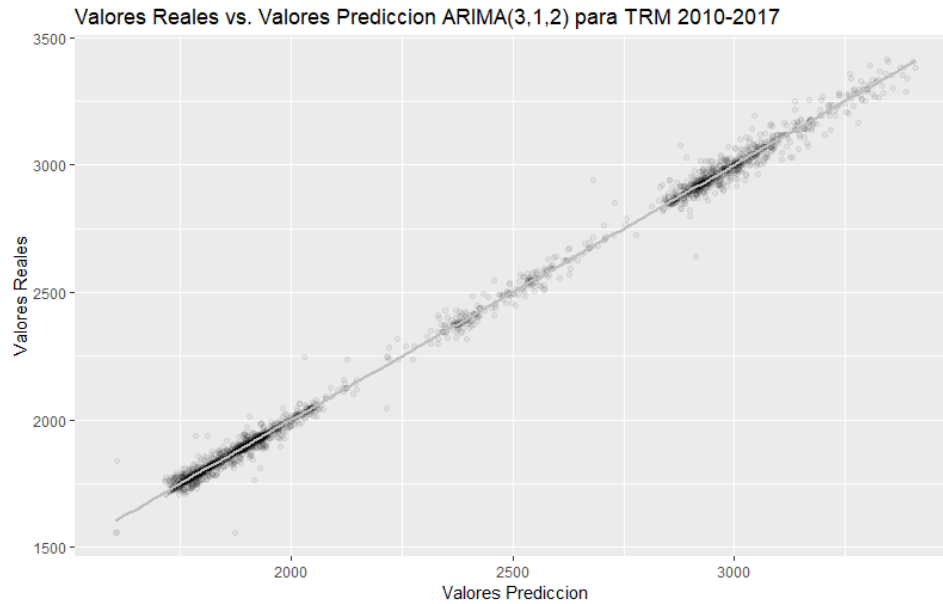


Figura 4.3: Análisis Valores Reales vs. Predicción Entrenamiento ARIMA de la Serie de Tiempo TRM 2010-2017

El coeficiente R^2 - coeficiente de determinación - del calce de los valores es 0.9976 con un valor de $p - value :< 2,2e - 16$.

Dado que la función automática de entrenamiento ARIMA de la biblioteca *forecast* utiliza los 2,922 puntos de datos para entrenar a través del muestreo múltiple con ventanas se procedió a revisar la precisión del modelo con una función de ayuda que determina diez puntos de datos al azar y calcula el error promedio entre valores reales de la TRM y los valores de predicción. Los valores del test se reflejan en la siguiente tabla:

```
1 > print(testMatrix)
2   VALOR REAL PREDICCION ERROR %
3 1      2144.5    2144.517    0.0
4 2      1833.0    1829.345   -0.2
5 3      1930.0    1931.454    0.1
6 4      2031.0    2035.333    0.2
7 5      2049.0    2044.812   -0.2
8 6      1753.8    1757.048    0.2
9 7      2546.0    2533.526   -0.5
10 8      1817.0    1816.756    0.0
11 9      1819.2    1815.438   -0.2
12 10     1927.0    1925.947   -0.1
13 > print(mean(testMatrix$'ERROR %'))
```

```
14 [1] -0.07
```

```
15 \>
```

Como procedimiento de evaluación final se visualizó una gráfica con cien valores aleatorios de prueba y su calce.

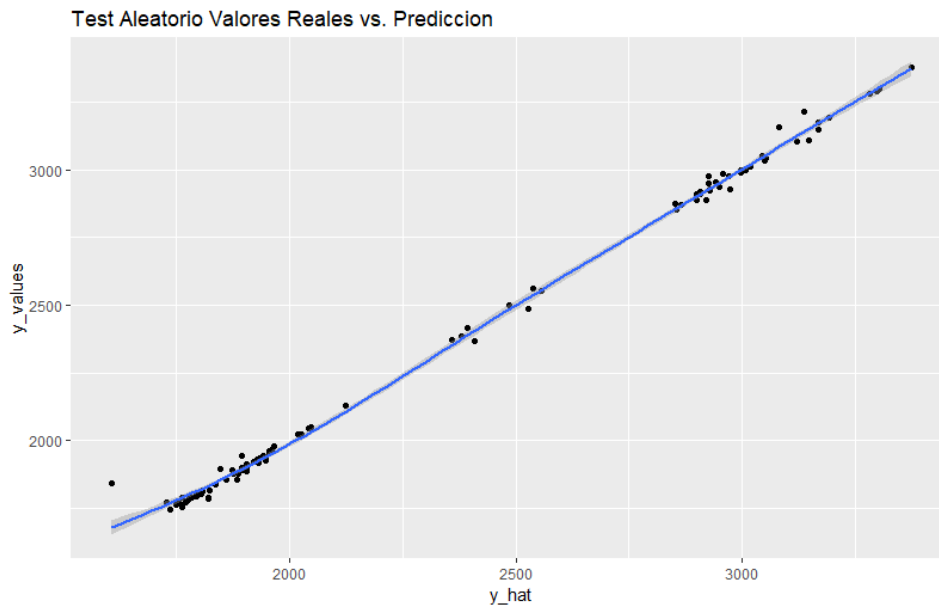


Figura 4.4: Test Aleatorio Valores Reales vs. Predicción Entrenamiento ARIMA TRM 2010-2017

Modelo Regresión Lineal Multivariable

Para la evaluación del modelo de regresión lineal multivariable se utilizó once juegos de datos diferentes correspondientes a la variable de predicción TRM y diez series de tiempo representativas de los diez rubros principales de exportación de Colombia:

- el petroleo West Texas
- el gasoleo (también conocido como gasoil)
- el polipropileno
- el carbón
- el café

- el aceite de palma
- el guineo (también conocido como banano)
- el oro
- el ferroníquel
- la hulla térmica

Validación de los Datos de Entrada

Previo a la utilización de los datos en el entrenamiento, se procedió a validar que las once series de datos estuviesen completas con la misma cantidad de puntos de información, 2,922 en cada caso, sin valores extremos u omitidos.

El primer examen se validó con la estructura de datos para cada serie de tiempo.

1			
2	Date	trm	palma
3	Min. :2010-01-01	Min. :1557	Min. : 483.5
4	1st Qu.:2012-01-01	1st Qu.:1828	1st Qu.: 634.4
5	Median :2013-12-31	Median :1933	Median : 752.9
6	Mean :2013-12-31	Mean :2259	Mean : 779.4
7	3rd Qu.:2015-12-31	3rd Qu.:2906	3rd Qu.: 883.5
8	Max. :2017-12-31	Max. :3414	Max. :1248.5
9			
10	oro	wti	cafe
11	Min. :1049	Min. : 26.19	Min. :101.5
12	1st Qu.:1214	1st Qu.: 50.25	1st Qu.:128.1
13	Median :1286	Median : 82.53	Median :144.8
14	Mean :1350	Mean : 75.29	Mean :162.0
15	3rd Qu.:1475	3rd Qu.: 96.08	3rd Qu.:182.4
16	Max. :1895	Max. :113.39	Max. :304.9
17			
18			
19	banana	nikel	gasoil
20	Min. : 782.7	Min. : 8298	Min. : 251.1

21	1st Qu.: 926.1	1st Qu.:10348	1st Qu.: 470.0
22	Median : 955.4	Median :15756	Median : 992.0
23	Mean : 964.2	Mean :15714	Mean : 799.8
24	3rd Qu.:1004.7	3rd Qu.:19055	3rd Qu.:1054.9
25	Max. :1151.4	Max. :28412	Max. :1112.4
26			
27	polipropileno	hulla	carbon
28	Min. : 98.3	Min. :4100	Min. :39.55
29	1st Qu.:100.0	1st Qu.:4450	1st Qu.:52.60
30	Median :104.4	Median :7888	Median :60.15
31	Mean :104.0	Mean :6563	Mean :60.03
32	3rd Qu.:107.0	3rd Qu.:7888	3rd Qu.:67.27
33	Max. :109.1	Max. :8510	Max. :81.65

Todos los datos se ajustaron a las fechas de inicio del año 2010 y finales del 2017, sin la existencia de valores nulos o extremos. Una segunda verificación visual se dió al graficar todas las series de datos en una matriz de valores correspondiente al gráfico 4.5.

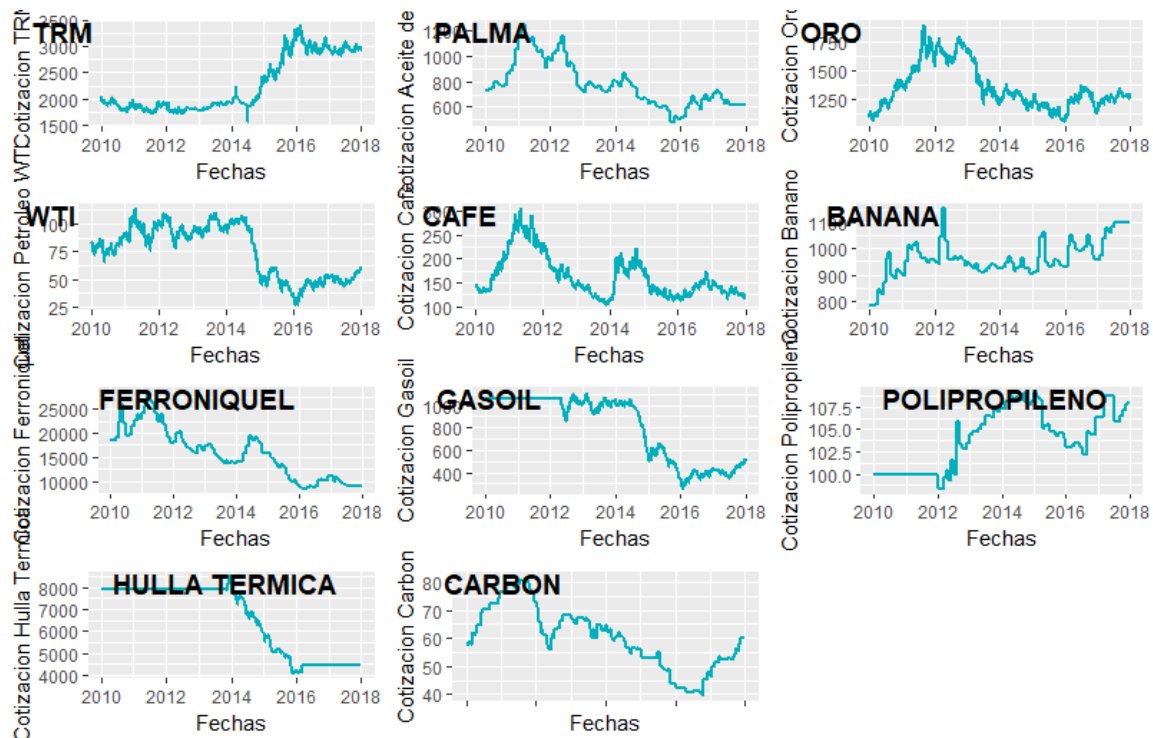


Figura 4.5: Matriz Series de Tiempo 2010-2017 Modelo Regresión Lineal

Entrenamiento de Datos

Previo al entrenamiento de los datos se procedió a un pre-análisis EDA para evaluar la correlación de los mismos. El modelo no está entrenado sino que solamente calculó la regresión multivariante de los regresores utilizando la serie de tiempo TRM como variable independiente. El correlograma resultante evidencia diferentes niveles de correlación de cada uno de los regresores que varían en su nivel de ajuste. Los coeficientes de determinación más débiles se dieron con los regresores de banana ($R^2 = 0,45$) y polipropileno ($R^2 = 0,36$) mientras que los más fuertes se dieron con la hulla ($R^2 = 0,97$) y carbón ($R^2 = 0,97$).

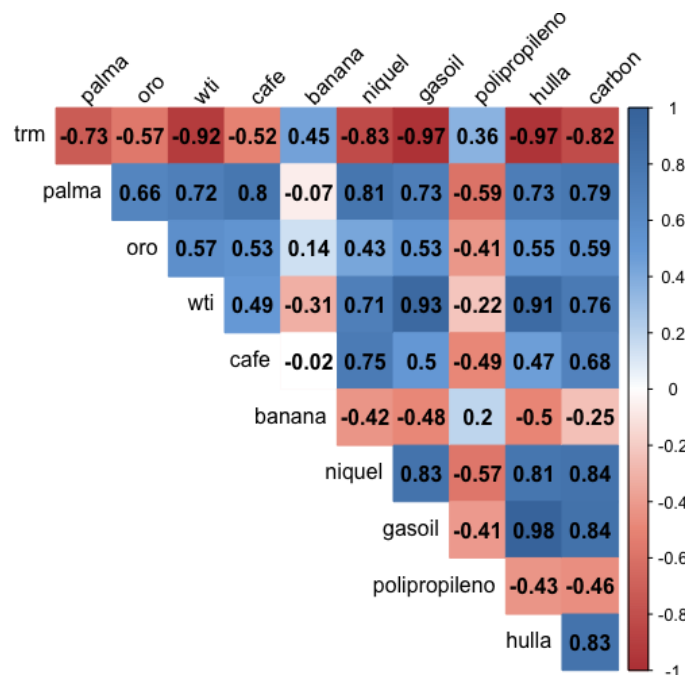


Figura 4.6: Matriz Series de Tiempo 2010-2017 Modelo Regresión Lineal

Posterior al análisis EDA se procedió a entrenar los datos con un modelo de regresión lineal multivariable.

- Los juegos de datos se dividieron en un 70 % de entrenamiento y un 30 % de test.
- Para la creación de juegos de datos de entrenamiento y test aleatorios y balanceados se utilizó las funciones de partición de datos de la biblioteca *CARET* del lenguaje R.
- La función de entrenamiento utilizó la serie de tiempo TRM como variable dependiente y las diez series de tiempo restante como regresores.

- La función utilizada como método de entrenamiento fue *glm* para permitir el uso de métodos generales de regresión con transformación de variables.

Los resultados del modelo entrenado con la biblioteca *CARET* fueron los siguientes:

```

1 > summary(modelFit)
2
3 Deviance Residuals:
4      Min       1Q   Median       3Q      Max
5 -380.15   -55.05     1.97    49.72   362.59
6
7 Coefficients:
8              Estimate Std. Error t value Pr(>|t|)
9 (Intercept)    7.083e+03  1.211e+02  58.500 < 2e-16 ***
10 palma         2.256e-01  3.227e-02   6.989 3.75e-12 ***
11 oro          -2.938e-01  1.703e-02 -17.248 < 2e-16 ***
12 wti           1.022e+00  3.608e-01   2.832 0.00467 **
13 cafe         -6.847e-01  1.043e-01  -6.567 6.49e-11 ***
14 banana       -4.348e-01  4.883e-02  -8.905 < 2e-16 ***
15 niquel       -2.411e-02  1.251e-03 -19.270 < 2e-16 ***
16 gasoil       -7.391e-01  5.465e-02 -13.525 < 2e-16 ***
17 polipropileno -2.196e+01  1.023e+00 -21.479 < 2e-16 ***
18 hulla        -2.074e-01  8.377e-03 -24.761 < 2e-16 ***
19 carbon        7.783e+00  4.580e-01  16.991 < 2e-16 ***
20 ———
21 Signif. codes:  0 '***' 0.001 '**' 0.01 '*' 0.05 '.' 0.1 ' ' 1
22
23 (Dispersion parameter for gaussian family taken to be 7893.668)
24
25      Null deviance: 569092627  on 2046  degrees of freedom
26 Residual deviance: 16071508  on 2036  degrees of freedom
27 AIC: 24192
28
29 Number of Fisher Scoring iterations: 2
30
31 Generalized Linear Model
32

```

```

33 2047 samples
34 10 predictor
35
36 No pre-processing
37 Resampling: Bootstrapped (25 reps)
38 Summary of sample sizes: 2047, 2047, 2047, 2047, 2047, 2047, ...
39 Resampling results:
40
41 RMSE      Rsquared    MAE
42 89.05245   0.9713988   68.24491

```

El modelo es el resultante de 2,047 muestras aleatorias utilizando los diez regresores indicados con selección de muestras a través del método bootstrap.

- Todos los regresores utilizados contienen valores p menores a 0 con la excepción del petroleo (variable wti) cuyo valor p es menor a 0.001
- El error cuadrático del modelo es de 89.05 (esto debe entenderse como 89.05 pesos colombianos).
- El coeficiente de determinación del modelo es de $R^2 = 0,97$.
- El coeficiente de Criterio de Información de Aikake es de 24192.

Podemos reexpresar el siguiente modelo con la fórmula:

$$\begin{aligned}
 trm_i = & 7,083e + 03 + palma_i(2,256e - 01) + \\
 & oro_i(-2,938e - 01) + wti(1,022e + 00) + cafe(-6,847e - 01) + \\
 & banana(-4,348e - 01) + niquel(-2,411e - 02) + \\
 & gasoil(-7,391e - 01) + polipropileno(-2,196e + 01) + \\
 & hulla(-2,074e - 01) + carbon(7,783e + 00) + \epsilon
 \end{aligned}$$

Validación del Modelo Entrenado

Para la validación del modelo entrenado se procedieron con dos pruebas distintas para verificar el error dentro y fuera de la muestra. Una tercera prueba se aplicó para verificar el error aleatorio y la distribución de los residuales, con la intención de detectar cualquier indicio de heterocedasticidad.

La primera prueba revisó los valores reales de la muestra de entrenamiento versus los valores esperados con el modelo de predicción propuesto.

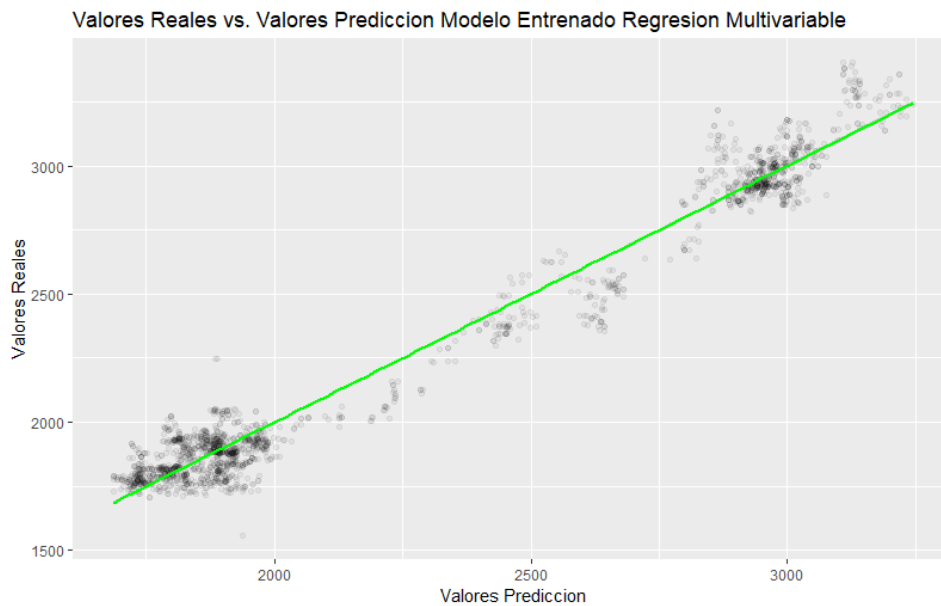


Figura 4.7: Valores Reales vs. Predicción Modelo Regresión Lineal Multivariable

La verificación visual corroboró un ajuste adecuado de los datos con un coeficiente de determinación de 0.9725.

En segundo lugar se procedió a utilizar el modelo entrenado en el juego de datos de evaluación para tener una mejor determinación del posible error fuera de muestra.

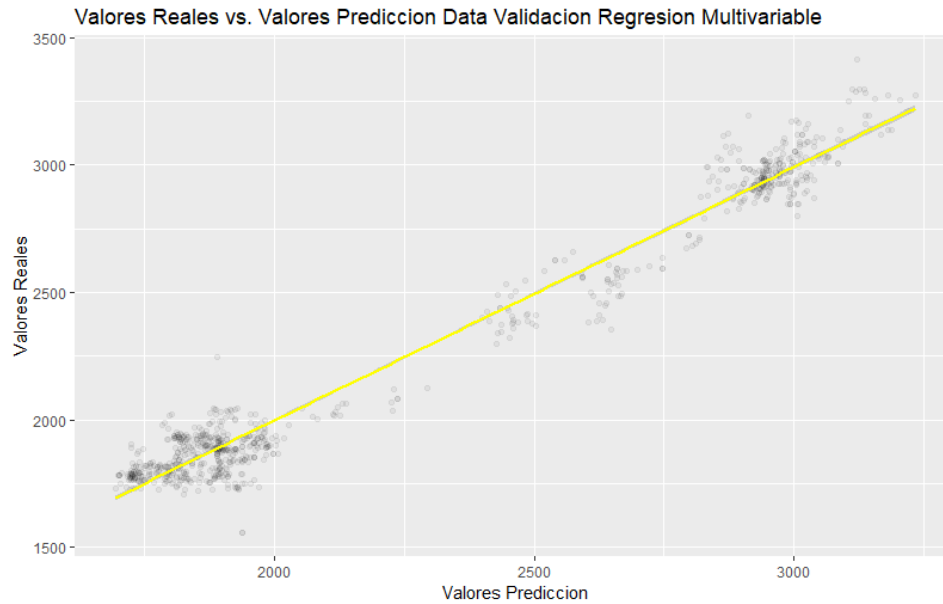


Figura 4.8: Valores Reales vs. Predicción Datos de Validación Regresión Lineal Multivariable

El modelo se presenta robusto con el juego de datos de validación y el calce de los datos presenta un valor $R^2 = 0,9725$, sin diferencia al modelo de entrenamiento.

En tercer lugar y como última medida, se visualizó la distribución de los residuales para verificar que no había patrón obvio en la distribución de los mismos. La gráfica aplicó una transparencia leve para diferenciar mejor las zonas de múltiples puntos de datos. La misma muestra un patrón estacionario similar al ruido blanco que caracteriza la homocedasticidad de los residuales.

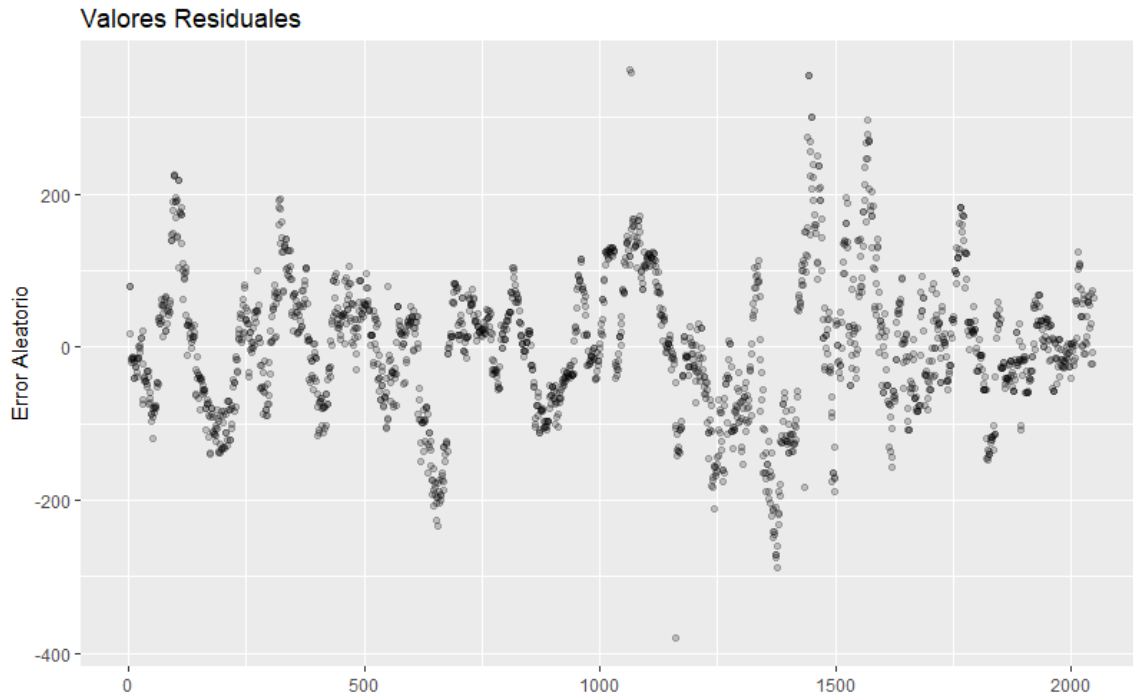


Figura 4.9: Distribución de Residuales - Validación Regresión Lineal Multivariable

Modelo Ensamblado Combinado

El modelo ensamblado combinado utiliza las predicciones de los dos primeros modelos como entradas para un nuevo juego de datos a entrenar utilizando la misma variable dependiente como variable de predicción y los valores esperados de los dos primeros aprendices como regresores. Es importante notar que los ingresos de los dos aprendices bases no son los valores esperados del modelo de entrenamiento, sino los valores de predicción de ambos aprendices con el juego de datos de evaluación. Esto es importante para reducir el error fuera de muestra en el modelo ensamblado [Leek, 2015].

Validación de los Datos de Entrada

Los juegos de datos para los valores de la TRM, los valores esperados del modelo ARIMA, y los valores esperados del modelo de regresión multivariable fueron revisados en una tabla de valores para corroborar que no existan valores extremos o nulos.

```
1 > summary(df_ensamblado)
```

```

2      trm          predARIMA      predGLM
3  Min.    :1557    Min.      :1602    Min.      :1686
4  1st Qu.:1828    1st Qu.:1829    1st Qu.:1838
5  Median :1933    Median :1932    Median :1928
6  Mean   :2259    Mean     :2259    Mean     :2260
7  3rd Qu.:2906    3rd Qu.:2908    3rd Qu.:2919
8  Max.   :3414    Max.      :3408    Max.      :3245
9  >

```

Como segunda medida, los datos fueron graficados para validar su integridad. El análisis EDA corrobora que no existen valores extremos o nulos.

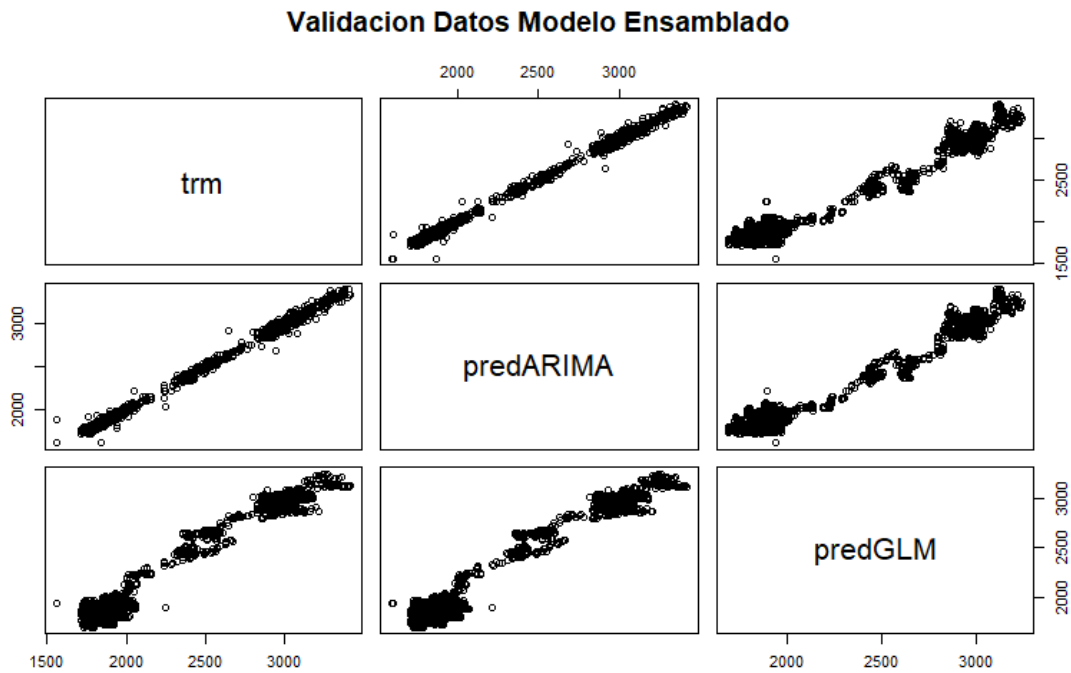


Figura 4.10: Validación de Datos Modelo Ensamblado

Entrenamiento de los Datos

Los datos del modelo ensamblado fueron entrenados utilizando las librerías del paquete *CARET* y con la función GLM (*General Linear Methods*).

```

1 > summary(modeloEnsamblado)
2 Deviance Residuals:
3      Min       1Q   Median       3Q      Max

```

```

4  -103.527    -7.944    -1.092     6.395    224.131
5
6  Coefficients:
7              Estimate Std. Error t value Pr(>|t|)
8 (Intercept)  2.462066   3.641217   0.676   0.4991
9 predARIMA    0.969622   0.009480 102.281 <2e-16 ***
10 predGLM     0.029860   0.009536   3.131  0.0018 **
11 ----
12 Signif. codes:  0 '***' 0.001 '**' 0.01 '*' 0.05 '.' 0.1 ' ' 1
13
14 (Dispersion parameter for gaussian family taken to be 574.5714)
15
16 Null deviance: 236421477 on 874 degrees of freedom
17 Residual deviance: 501026 on 872 degrees of freedom
18 AIC: 8047.6
19
20 Number of Fisher Scoring iterations: 2
21 R-sq.(adj) = 0.998
22 >

```

Las características del modelo final ensamblado fueron las siguientes:

- La librería CARET utilizó la familia de funciones de regresión como función aprendiz
- Los regresores de la función ensamblada tienen ambos valores p muy bajos: $p = 0,0018$ para el regresor representado por los valores esperados del aprendiz de regresión multivariable, y $p = 2e - 16$ para el regresor representado por los valores esperados del aprendiz ARIMA.
- El error cuadrático del aprendiz ensamblado es 24.02.
- El valor del coeficiente de determinación del modelo ensamblado es $R^2 = 0,998$

De esta forma podemos formalizar la ecuación del modelo ensamblado final de la siguiente manera.

$$p^c(trm_i) = (p^c(c_1 \mid trm_i), p^c(c_2 \mid trm_i)) \quad (4.2)$$

Donde:

$$c_1 : \Delta trm_t = -0,3578\Delta trm_{t-1} + 0,2932\Delta trm_{t-2} - 0,1187\Delta trm_{t-3} + 0,2176\epsilon_{t-1} - 0,4763\epsilon_{t-2} \quad (4.3)$$

donde $\Delta = trm_t - trm_{t-1}$ y

$$\begin{aligned} c_2 : trm_i = & 7,083e + 03 + palma_i(2,256e - 01) + \\ & oro_i(-2,938e - 01) + wti(1,022e + 00) + cafe(-6,847e - 01) + \\ & banana(-4,348e - 01) + niquel(-2,411e - 02) + \\ & gasoil(-7,391e - 01) + polipropileno(-2,196e + 01) + \\ & hulla(-2,074e - 01) + carbon(7,783e + 00) + \epsilon \end{aligned}$$

La ecuación se reduce al modelo ensamblado como:

$$trm_i = 2,462066 + c_1(0,969622) + c_2(0,029860) + \epsilon \quad (4.4)$$

Validación del Modelo Entrenado

Para la validación del modelo entrenado se procedió con dos pruebas: una visual de valores pronosticados versus valores visuales y una tabla final comparando el error cuadrático y coeficiente de determinación de cada modelo a forma de comparación.

La prueba EDA corroboró el ajuste de alta precisión del modelo ensamblado.

Como última medida se construyó una tabla de valores comparativos para verificar el error cuadrático y el coeficiente de determinación de cada modelo.

La comparación gráfica visual de los tres métodos en un juego aleatorio de prueba se detalla en el cuadro 4.12.

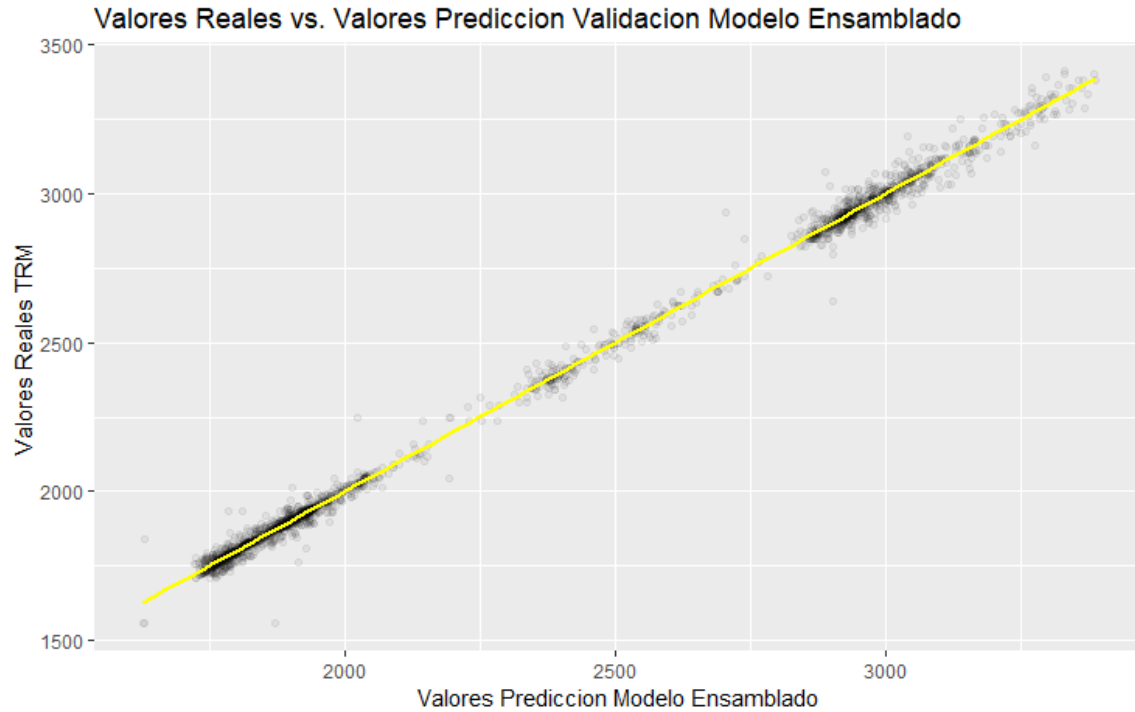


Figura 4.11: Validación Ajuste Modelo Ensamblado

Cuadro 4.2: Desempeño Comparativo de Métodos Machine Learning

Indicador	ARIMA	Regresión Lineal	Modelo Ensamblado
RMSE	25.5473	89.0524	24.0279
R2	0.9976	0.9714	0.9978

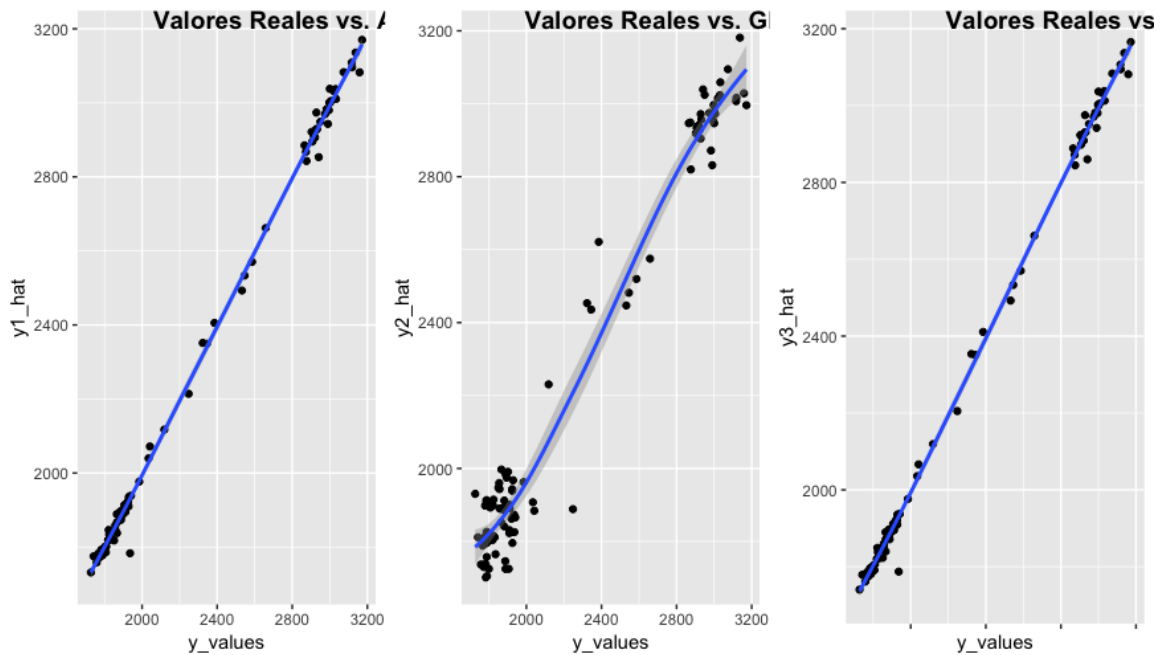


Figura 4.12: Análisis Comparativo de 3 Modelos de Aprendizaje Automatizado en Juego de Prueba Aleatorio

Conclusiones y Recomendaciones

El siguiente trabajo de investigación nació de la observación generalizada entre los círculos contables de Colombia que la tasa de cambio TRM estaba relacionada de alguna forma a las altas y bajas del precio internacional del petróleo. Dicha inquietud se transformó en la piedra angular de nuestra hipótesis de trabajo y fue utilizada para diseñar un modelo predictivo de la TRM utilizando los principales rubros de exportación de Colombia como regresores y la variable independiente de la tasa de cambio en un modelo combinado, creado a través del aprendizaje automatizado. El resultado es un modelo ensamblado combinado parsimonioso y preciso.

Conclusiones

La investigación valida en cierta manera el uso de la Ciencia de Datos, y más profundamente del Aprendizaje Automatizado, dentro de la empresa moderna, donde el manejo científico de la información se vuelve una ventaja competitiva importante. Fuera del conocimiento profesional para aplicar las metodologías de entrenamiento y evaluación de modelos de aprendizaje automatizado, el costo para la empresa moderna es mínimo. Las herramientas *Open Source* nunca fueron tan abundantes, y el poder de los computadores modernos hace que el tiempo y esfuerzo necesarios para programar y ejecutar programas y fuentes de datos inclusive copiosas sea relativamente barato y rápido.

Se cumple el adagio popular en la Ciencia de Datos que un 70 % del tiempo se destina en la recolección, limpieza y validación de las fuentes de datos. En el caso del trabajo de investigación doctoral el tiempo destinado al *data wrangling* superó el 80 %. Una vez se contó con las fuentes de datos adecuadas, los cálculos matemáticos tardaron solo minutos en una estación de trabajo

avanzada. Originalmente se planteó la necesidad de encontrar modelos predictivos con un índice de precisión superior al 95 % (entendiéndose esto como valores $p < 0,05$). Los modelos fabricados en base a metodologías de aprendizaje automatizado conllevan coeficientes de determinación superior al 98 % de precisión y valores $p < 0,01$. De tal forma cumplimos con los tres objetivos específicos del trabajo.

- Identificamos en forma de un correlograma a través del uso de metodologías EDA (Explorative Data Analysis) los principales rubros de exportación y sus coeficientes de correlación con el precio de la TRM
- Cuantificamos y determinamos las mismas dentro de un modelo de predicción con valores inferiores al $p < 0,05$ originalmente establecido
- Determinamos que el mejor modelo es uno parsimonioso ensamblado resultante de combinar un aprendizaje de regresión multivariable con un aprendizaje ARIMA

Cada método de aprendizaje automatizado utilizado en el siguiente trabajo de investigación tiene sus bondades. Para discutir cada uno con total objetividad, haremos referencia a una sola tabla comparativa de valores de desempeño y precisión.

- El modelo ARIMA tuvo resultados por encima de las expectativas del investigador, con un valor de error cuadrático bajo y un valor de coeficiente de determinación alto, ciertamente superior al método de regresión lineal multivariable. La fortaleza del pronóstico ARIMA se fundamenta en lo completo y robusto del juego de datos utilizado. La serie de tiempo de la TRM es estudiada por todo el sector contable, económico y financiero de Colombia, por lo que no fue sorpresa que de todas las series de datos está fuera la más accesible de estudio. El comportamiento de la serie de datos TRM también tienen una tendencia secular y de estacionalidad muy marcadas que se ajusta al uso de metodologías como ARIMA. Dado el caso de no contar con otras metodologías o acceso a base de datos mayores para ampliar el rango de métodos potables, el uso de un aprendizaje ARIMA puede solucionar el problema de pronosticar el valor futuro de la TRM sin necesidad de mayor complicación.
- El modelo de regresión lineal multivariable tuvo el desempeño menos preciso de los tres métodos estudiados. El valor del error cuadrático fue el mayor de los tres (aunque no

necesariamente se puede decir que fue alto) y el coeficiente de determinación fue el menor de los tres (aunque fue alto estadísticamente hablando). El uso de los rubros de exportación como regresores se justifica con el calce ajustado del modelo, por lo que se considera un modelo robusto y parsimonioso. Sin embargo es un modelo más difícil de aplicar sin conocimientos de programación de métodos de aprendizaje automatizado y no rindió mejores pronósticos que el uso más sencillo de ARIMA.

- Correspondiendo con la literatura y los trabajos de autores como Daroczi, Leek, Peng y Tattar, el modelo ensamblado tuvo los mejores niveles de desempeño y precisión con el error cuadrático más bajo y el coeficiente de determinación más alto. La utilización de los dos métodos iniciales como entradas para un aprendiz ensamblado genera un método más robusto que se nutre de entradas pre-procesadas por los aprendices que las componen. Habiendo dicho esto, el desempeño obtenido por el método ensamblado no se puede considerar sino marginal en comparación con los aprendices que lo alimentan. La diferencia del error cuadrático es considerable si se mide contra el aprendiz de regresión lineal multivariable, pero poco notable contra el aprendiz ARIMA. De la misma forma, el valor del coeficiente de determinación su superior por menos de 0.026 contra el aprendiz de regresión lineal multivariable, pero nuevamente imperceptible versus el aprendiz ARIMA.

Dado la estrecha diferencia entre la precisión del modelo ARIMA versus el modelo ensamblado, es comprensible cuestionar la complejidad adicional requerida en contraposición al rendimiento marginal. La utilización de la TRM en contratos de futuros o *forwards* puede justificar la complejidad adicional de implementar un algoritmo compuesto. Para funciones de análisis de costos el *overhead* adicional de lidiar con un modelo ensamblado puede no hacer diferencias en el costeo final, sobre todo en cifras con redondeos a 2 decimales.

Para la organización moderna y de amplio alcance la complejidad adicional de la utilización de modelos ensamblados puede verse recompensada con el tiempo. El mayor nivel de precisión siempre redundará en mejores márgenes de utilidad y ganancias de productividad. En un ambiente dinámico y de bajo margen de utilidad como lo es el negocio de corretaje bursátil dicha precisión puede ser la diferencia entre la viabilidad de operación o no. Para reportes ad-hoc, análisis de factibilidad, o toma rápida de decisiones, el uso de modelos ensamblados puede no ser la mejor

respuesta. El trabajo de investigación doctoral llegó a un modelo parsimonioso y preciso con el uso del modelo ARIMA, el más sencillo de los tres de aplicar y entender. En el caso de tener que afrontar pronósticos de mediana exactitud, un modelo simple y rápido de aplicar puede satisfacer a la organización mejor que uno de mayor precisión pero intensivo en el uso de recursos y bases de datos extensas y validadas.

Recomendaciones

El trabajo de investigación pone en evidencia tres puntos importantes que se vuelven recomendaciones tanto para el ámbito académico como para el profesional.

1. **La data es el punto de partida:** todo trabajo de ciencia de datos parte del enfoque científico de la data, lo que obliga a utilizar juegos de datos validados, estructurados, completos y estadísticamente válidos. Aquello que en la organización moderna se considera data válida puede no serlo desde el enfoque científico o llevar a bases de datos incompletas. El trabajo de investigación se apoyó en base de datos comerciales de la casa *Quandl* que demostraron tener niveles mayores a lo esperado de inconsistencias. A pesar de todo el tiempo destinado por la academia de sistemas y los estudiosos de las estructuras de datos, seguimos teniendo mejores estructuras de datos que consistencia y calidad de datos. Por ejemplo, las series de tiempo de la tasa de cambio TRM tienen una estructura ordenada y rigurosa, pero incompleta inclusive para ser considerada series de tiempo con n frecuencia establecida. Lo que para el ingeniero en sistemas puede ser perfecto y normalizado, no lo será para el científico de datos. La normalización y validación de los datos debe ser el primer punto de cuidado en la creación de instrumentación adecuada. Los datos se encontraran en cantidades copiosas pero no necesariamente en calidad.
2. **El número de metodologías de aprendizaje automatizado excede el estudio potencial del número de datos:** Una metodología tan sencilla como el estudio de las series de tiempo puede complicarse rápidamente con temas matemáticos de nivel doctoral que extraigan más información de los datos en si que la existencia de preguntas. La aplicación tecnológica de los métodos de aprendizaje automatizado arroja resultados muy precisos con

necesidades muy bajas de sofisticación. La bibliografía y los investigadores están ahondando en metodologías cada vez más complejas - como lo son las redes neuronales radiales y por cuantiles - sin que la precisión de los resultados sea mayor en términos prácticos a otras metodologías más sencillas. Un juego sencillo de datos, una vez puesto bajo el escrutinio del EDA, puede abrir la clave de un sinnúmero de investigaciones y aplicaciones. Es preferible extenderse con más profundidad en un juego de datos extenso pero reducido en variables con un portafolio reducido de métodos, a expandirse muy rápidamente en la cantidad de variables a estudiar y la metodología aplicada. Sin demeritar la investigación teórica original, la investigación aplicada arrojará mayor resultados prácticos a los problemas de la contabilidad y finanzas de la organización moderna.

3. **Un modelo predictivo no es un modelo de producción:** La consecución de un modelo predictivo, aún uno sencillo y parsimonioso, no es un modelo de producción que se puede trasladar al uso común y corriente dentro de la organización. El modelo ensamblado de predicción de la TRM vive dentro de un entorno específico y bajo instrumentación limitada (llamase un entorno de programación R con estructuras de datos del tipo *data frame*). Dicho entorno no puede utilizarse en la organización moderna como reporte en una base de datos Oracle o una macro EXCEL. El diseño de modelos predictivos utilizando aprendizaje automatizado aún convive como un entorno aislado cuya integración al resto del sistema de la organización queda como tema pendiente en la pequeña y mediana empresa, y recién se comienza a integrar en los grandes ambientes corporativos con herramientas como Watson de IBM y Azure de Microsoft.

Sugerencias para Futuras Investigaciones

A lo largo del trabajo de investigación surgieron dudas o preguntas que no pudieron ser contestadas, ya sea por encontrarse fuera del enfoque o alcance de la investigación o porque mutaban en nuevas líneas de investigación. Las mismas se detallan a continuación como propuestas de futuras investigaciones doctorales o post-doctorales.

- *El Entrenamiento de Series de Tiempo:* Las series de tiempo - por lo general no-estacionarias - conllevan el problema inherente de autocorrelación lo que complica su división en juegos

de entrenamiento y evaluación. La mayoría de los autores y librerías disponibles en R evitan el problema utilizando el total de los datos para entrenar el modelo y un juego reducido sin reemplazo para la validación cruzada. Esto representa un problema para la metodología de modelos ensamblados. El aprendiz del modelo ensamblado debe nutrirse con los egresos de los juegos de test de los aprendices que lo conforman. Dentro del trabajo doctoral circunvalamos el problema generando un juego adicional de test del aprendiz ARIMA con reemplazo, lo que funcionó muy bien, pero fue un trabajo manual y no uno automatizado como lo hace la biblioteca CARET con los juegos de datos para métodos generales de regresión. Es de estimar que solucionar dicho problema ayudaría a muchos investigadores de series de datos a automatizar el flujo de trabajo cuando se entrenan series de datos con altos niveles de autocorrelación.

- *Métodos Adicionales de Aprendizaje Automatizado:* El trabajo de investigación utilizó solo tres métodos de aprendizaje automatizado (ARIMA, regresión multivariable, y ensamblado). Pero existen decenas de otros métodos que pudieran mejorar aun más el nivel de precisión del modelo predictivo, como las Series Rápidas de Fourier, Árboles Aleatorios, Redes Neuronales, Deep Learning, etc.
- *Alimentación Primaria del Modelo Predictivo:* El modelo predictivo utiliza como entradas regresores en la forma de rubros de exportación. ¿Pero como estimamos el valor futuros de los regresores para mejorar el horizonte de predicción del modelo? ¿Es posible retroalimentar regresores con el valor futuro de la variable dependiente, o utilizar algún proceso de *bootstrap* que genere modelos predictivos iniciales de los regresores, los utilice para la extensión de los juegos de datos en híbridos (series de datos con datos históricos y sintéticos) y luego se entrene con miras a extender el rango de la predicción?

Referencias

- [Alpaydin, 2010] Alpaydin, E. (2010). *Introduction to Machine Learning 2nd Edition*. The MIT Press, Massachusetts, USA.
- [Arango, 2017] Arango, A. (2017). La explotación de oro en colombia, conflicto armado y efectos al medio ambiente.
- [AUGURA, 2018] AUGURA (2018). Quienes somos.
- [Cárdenas, 2016] Cárdenas, A. O. (2016). *Economía Colombiana 5ta Edición*. ECOE Ediciones, Bogotá, Colombia.
- [Carriello, 2010] Carriello, B. B. (2010). *Crisis Cambiarias en Países Emergentes*. Ediciones Uninorte, Barranquilla, Colombia.
- [Casallas and Martinez, 2015] Casallas, M. and Martinez, J. A. (2015). El carbón colombiano, fuente de energía para el mundo. *Ploutos*, 5(1):20–26.
- [Castañeda et al., 2009] Castañeda, J. F. F., Ríos, J. H. L. D. L., Galvis, J. J. M., and Cruz, F. W. R. (2009). El níquel en colombia. *Unidad de Planeación Minero Energético*, pages 5–42.
- [Castaño et al., 2013] Castaño, M. L., Callejas, R. J. M., Ochoa, S. I. R., and Henao, C. A. L. (2013). Modelando el esquema de intervenciones del tipo de cambio para colombia. *Cuadernos de Economía*, 32:310–338.
- [Cleveland, 2001] Cleveland, W. (2001). Data science: an action plan for expanding the technical areas of the field of statistics. *Revue Internationale de Statistique*, 1:21–26.

- [CODATA, 2012] CODATA (2012). International council for science : Committee on data for science and technology. <http://www.codata.org/>.
- [Daroczi, 2015] Daroczi, G. (2015). *Mastering Data Science with R*. Packt Publishing, Birmingham, UK.
- [Daume, 2013] Daume, H. (2013). *A Course in Machine Learning*. University of Maryland, Maryland, USA.
- [del Doctorado en Administración Gerencial, 2018] del Doctorado en Administración Gerencial, D. A. (2018). Guía académica para la estructura final de la tesis doctoral.
- [Dickey and Fuller, 1981] Dickey, D. and Fuller, W. (1981). Likelihood ratio statistics for autoregressive time series with a unit root. *Econometrica*, 49(4):1057–1072.
- [Downey, 2014] Downey, A. B. (2014). *Think Stats*. Green Tea Press, Massachusetts, USA.
- [Dupont and Plummer, 1998] Dupont, W. and Plummer, W. (1998). Power and sample size calculations for studies involving linear regression. *Controlled Clinical Trials*, 19:589–601.
- [Dzeroski and Zenko, 2004] Dzeroski, S. and Zenko, B. (2004). Is combining classifiers with stacking better than selecting the best one? *Machine Learning*, 54:255–273.
- [Echeverri et al., 2005] Echeverri, D., Buitrago, L., Montes, F., Mejia, I., and del Pilar González, M. (2005). Café para cardiólogos. *Revista Colombiana de Cardiología*, 11(8):357–365.
- [FINAGRO, 2017] FINAGRO (2017). Informacion sobre la exportación del banano en colombia.
- [Fry, 2000] Fry, B. J. (2000). *Computational Information Design*. PhD thesis, Carnegie Mellon University.
- [García et al., 2011] García, J. G., López, N. C., and Calvo, J. Z. (2011). *Estadística Básica para Estudiantes de Ciencias*. Universidad Complutense de Madrid, Madrid, España.
- [Harrington, 2012] Harrington, P. (2012). *Machine Learning in Action*. Manning Publications, Shelter Island, USA.

- [Hastie et al., 1997] Hastie, T., Tibshirani, R., and Friedman, J. (1997). *The Elements of Statistical Learning*. Springer, Stanford, USA.
- [Hayashi et al., 1981] Hayashi, C., Yajima, K., Bock, H. H., Ohsumi, N., Tanaka, Y., and Baba, Y. (1981). *Data Science, Classification, and Related Methods*. Springer, Kobe Japan.
- [Huertas, 2002] Huertas, D. (2002). La formulación de la hipótesis. *La Cinta de Moebio*, 15:1–19.
- [Hyndman, 2016] Hyndman, R. (2016). *Forecasting Functions for Time Series and Linear Models*. CRAN, Melbourne Australia.
- [Hyndman and Athanasopoulos, 2014] Hyndman, R. and Athanasopoulos, G. (2014). *Forecasting Principles and Practice*. Otexts, Melbourne Australia.
- [Kohavi and Provost, 1998] Kohavi, R. and Provost, F. (1998). *Machine Learning*, 30:271.
- [Kuhn, 2018] Kuhn, M. (2018). The caret package. <http://topepo.github.io/caret/index.html/>.
- [Leek, 2015] Leek, J. (2015). *The Elements of Data Analytic Style*. Leanpub Publishers, Baltimore, USA.
- [Mann and Lacke, 2010] Mann, P. S. and Lacke, C. J. (2010). *Introductory Statistics*. Wiley, Willimantic, USA.
- [Marron et al., 2010] Marron, D., Fishwick, A., Georgiou, C., Huston, K., and Maréchal, A. (2010). *30-Seconds Economics*. Metro Books, New York, USA.
- [Masnick, 2012] Masnick, M. (2012). Why netflix never implemented the algorithm that won the netflix \$1 million challenge. <https://www.techdirt.com/articles/20120409/03412518422/why-netflix-never-implemented-algorithm-that-won-netflix-1-million-challenge.shtml/>.
- [Mendehall et al., 2010] Mendehall, W., Beaver, R., and Beaver, B. (2010). *Introducción a la Probabilidad y Estadística*. CENGAGE Publishing, Ciudad de México, México.
- [Mitchell, 1997] Mitchell, T. (1997). *Machine Learning*. McGraw Hill, New York, USA.

- [Muriel et al., 2005] Muriel, A. P., Saavedra, G. P. G., Cabrera, J. V. D., Encizo, L. C. F., Orozco, M. C. D., and Tobón, S. A. M. (2005). El carbón colombiano, fuente de energía para el mundo. *Unidad de Planeación Minero Energético*, pages 1–52.
- [Narayanachar, 2013] Narayanachar, P. (2013). *R Statistical Application Development by Example*. Packt Publishing, Birmingham, UK.
- [Naur, 1974] Naur, P. (1974). *Concise Survey of Computer Methods*. Petrocelli Charter, Lund Sweden.
- [Opitz and Maclin, 1999] Opitz, D. and Maclin, R. (1999). Popular ensemble methods: An empirical study. *Journal of Artificial Intelligence Research*, 11:169–198.
- [Peng and Matsui, 2017] Peng, R. and Matsui, E. (2017). *The Art of Data Science*. LeanPub Publishers, Maryland, USA.
- [Poveda and Espejo, 2011] Poveda, L. M. C. and Espejo, M. Y. R. (2011). *Estudio de la agroindustria de las flores en Colombia y la creación de una empresa productora de flores*. PhD thesis, Universidad de la Sabana.
- [Rehman et al., 2014] Rehman, M., Khan, G. M., and Mahmud, S. (2014). Foreign currency exchange rates prediction using cgp and recurrent neural network. *IERI Procedia*, 10:239–244.
- [Robertson, 1922] Robertson, D. (1922). *Money*. Cambridge Economics Handbook, Cambridge, UK.
- [Scarpin and Steiner, 2011] Scarpin, C. T. and Steiner, M. T. A. (2011). Proposal for a strategic planning for the replacement of products in stores based on sales forecast. *Pesquisa Operacional*, 31:351–371.
- [Smolyakov, 2017] Smolyakov, V. (2017). Ensemble learning to improve machine learning results. <https://blog.statsbot.co/ensemble-learning-d1dcd548e936>.
- [Srivastava, 2015] Srivastava, T. (2015). A complete tutorial on time series modeling in r. <https://www.analyticsvidhya.com/blog/2015/12/complete-tutorial-time-series-modeling/>.

- [SUÁREZ, 2017] SUÁREZ, J. F. S. (2017). Producción bananera colombiana apunta a crecer 3,2 *El Colombiano*, page 19.
- [Talebi et al., 2014] Talebi, H., Hoang, W., and Gavrilova, M. (2014). Multi-scale foreign exchange rates ensemble for classification of trends in forex market. *Procedia Computer Science*, 29:2065–2075.
- [Ting and Witten, 1999] Ting, K. and Witten, I. (1999). Issues in stacked generalization. *Journal of Artificial Intelligence Research*, 10:271–289.
- [Townsend, 1971] Townsend, J. (1971). Theoretical analysis of an alphabet confusion matrix. 9:40–50.
- [Tukey, 1962] Tukey, J. (1962). The future of data analysis. *The Annals of Mathematical Statistics*, 33:67.
- [Viswanathan and Viswanathan, 2015] Viswanathan, V. and Viswanathan, S. (2015). *R Data Analysis Cookbook*. Packt Publishing, Birmingham, UK.
- [Wand and Xu, 2014] Wand, W. J. and Xu, Q. (2014). A bayesian combination forecasting model for retail supply chain coordination. *Journal of Applied Research and Technology*, 12:315–324.
- [Wikipedia, 2018] Wikipedia (2018). Data science. <https://en.wikipedia.org/wiki/Datascience/>.
- [Witten and Frank, 2005] Witten, I. and Frank, E. (2005). *Data Mining Practical Machine Learning Tools and Techniques*. Morgan Kaufmann Publishing, San Francisco, USA.
- [Wolpert, 1992] Wolpert, D. (1992). Stacked generalization. *Complex Systems Group, Theoretical Division, and Center for Non-linear Studies*, pages 1–57.
- [Yakir, 2011] Yakir, B. (2011). *Introduction to Statistical Thinking (With R, Without Calculus)*. The Hebrew University, Jerusalem, Israel.
- [Yau, 2013] Yau, C. (2013). *R Tutorial with Bayesian Statistics Using OpenBUGS*. Amazon Digital Services, Stanford, USA.

- [Yu et al., 2005] Yu, L., Wang, S., and Lai, K. (2005). A novel nonlinear ensemble forecasting model incorporating glar andann for foreign exchange rates. *Computers and Operations Research*, (32):2523–2541.
- [Zhang and Ma, 2012] Zhang, C. and Ma, Y. (2012). *Ensemble Machine Learning*. Springer, New York, USA.
- [Zhou, 2012] Zhou, Z.-H. (2012). *Ensemble Methods*. Chapman and Hall - CRC, Boca Raton, USA.
- [Zumel and Mount, 2014] Zumel, N. and Mount, J. (2014). *Practical Data Science with R*. Manning, Shelter Island, USA.

Otras Fuentes

Contenidos por definir.

Anexos

Bibliotecas de Programas

La siguiente sección recopila los programas utilizados para el trabajo de investigación doctoral.

Programa buildTRM.R

El siguiente listado de secuencia de comandos R construye la serie de tiempos TRM para la tasa representativa del mercado.

```
1 # UBJ Doctorado en Administracion Gerencial
2 # Modelo Predictivo de la TRM Utilizando Machine Learning
3 # LIB ubj/code/buildTRM.R
4 # FECHA 19/08/2018
5 # Ariel E. Meilij
6 #
7 # BRIEF Construye serie de datos TRM
8
9 library(Quandl)
10 library(tseries)
11 library(ggplot2)
12 library(ggfortify)
13 library(Hmisc)
14 library(corrplot)
15 library(PerformanceAnalytics)
16 library(reshape2)
17 library(ggpubr)
```

```

18
19 Quandl.api_key("KzzS8Vfxkw1ZgTWgU4jH")
20 trm_data <- Quandl("CURRFX/USDCOP")
21
22 # Limpiar serie de tiempo TRM en su data.frame
23 trm <- trm_data[, 1:2]
24 trm <- subset(trm, trm$Date > "2009-12-31")
25 trm <- subset(trm, trm$Rate > 1500)
26 colnames(trm) <- c("Date", "trm")
27
28 fechas <- seq(as.Date("2010-01-01"), as.Date("2017-12-31"), "days")
29 quote <- c(1:2922)
30 # Cargar como valor inicial valor mas antiguo de la serie de tiempo
31 last_quote <- trm[dim(trm)[1],2]
32
33 for(i in 1:2922)
34 {if(length(trm[which(trm$Date == fechas[i]), ]$trm))
35 {quote[i] <- trm[which(trm$Date == fechas[i]), ]$trm
36 last_quote <- trm[which(trm$Date == fechas[i]), ]$trm}
37   else
38   {quote[i] <- last_quote}
39 }
40
41 # Build into a time series
42 trm_ts <- ts(quote, start=c(2010,1,1), frequency=365)
43 plot(decompose(trm_ts))
44 save(trm_ts, file = "data/trm_ts")
45
46 # Build into data frame
47 trm_df <- data.frame(fechas, quote)
48 colnames(trm_df) = c("Date", "trm")
49 save(trm_df, file = "data/trm_df")
50 # EOC

```


Programa buildBanana.R

El siguiente listado de secuencia de comandos R construye la serie de tiempos banana con los valores de las cotizaciones mundiales de la tonelada de guineo.

```

1 # UBJ Doctorado en Administracion Gerencial
2 # Modelo Predictivo de la TRM Utilizando Machine Learning
3 # LIB ubj/code/buildBanana.R
4 # FECHA 19/08/2018
5 # Ariel E. Meilij
6 #
7 # BRIEF Construye serie de datos del banano
8
9 library(Quandl)
10 library(tseries)
11 library(ggplot2)
12 library(ggfortify)
13 library(Hmisc)
14 library(corrplot)
15 library(PerformanceAnalytics)
16 library(reshape2)
17 library(ggpubr)
18
19 Quandl.api_key("KzzS8Vfxkw1ZgTWgU4jH")
20 banana_data <- Quandl("ODA/PBANSOP_USD")
21
22 # Limpiar serie de tiempo banana en su data.frame
23 banana <- subset(banana_data, banana_data$Date > "2009-12-31")
24 colnames(banana) <- c("Date", "banana")
25
26 fechas <- seq(as.Date("2010-01-01"), as.Date("2017-12-31"), "days")
27 quote <- c(1:2922)
28 # Cargar como valor inicial valor mas antiguo de la serie de tiempo
29 last_quote <- banana[dim(banana)[1],2]
30
31 for(i in 1:2922)
32 { if(length(banana[which(banana$Date == fechas[i]), ]$banana))

```

```

33 {quote[i] <- banana[which(banana$Date == fechas[i]), ]$banana
34 last_quote <- banana[which(banana$Date == fechas[i]), ]$banana}
35   else
36   {quote[i] <- last_quote}
37 }
38
39 # Build into a time series
40 banana_ts <- ts(quote, start=c(2010,1,1), end=c(2017,12,31), frequency=365)
41 plot(decompose(banana_ts))
42 save(banana_ts, file = "data/banana_ts")
43
44 # Build into data frame
45 banana_df <- data.frame(fechas, quote)
46 colnames(banana_df) = c("Date", "banana")
47 save(banana_df, file = "data/banana_df")
48 # EOC

```

Programa buildCafe.R

El siguiente listado de secuencia de comandos R construye la serie de tiempos cafe con los valores de las cotizaciones mundiales de la tonelada de café Arabiga.

```

1 # UBJ Doctorado en Administracion Gerencial
2 # Modelo Predictivo de la TRM Utilizando Machine Learning
3 # LIB ubj/code/buildCafe.R
4 # FECHA 19/08/2018
5 # Ariel E. Meilij
6 #
7 # BRIEF Construye serie de datos cafe
8
9 library(Quandl)
10 library(tseries)
11 library(ggplot2)
12 library(ggfortify)
13 library(Hmisc)
14 library(corrplot)

```

```

15 library(PerformanceAnalytics)
16 library(reshape2)
17 library(ggpubr)
18
19 Quandl.api_key("KzzS8Vfxkw1ZgTWgU4jH")
20 cafe_data <- Quandl("CHRIS/ICE_KC1")
21
22 # Limpiar serie de tiempo cafe en su data.frame
23 cafe <- cafe_data[,c(1,5)]
24 cafe <- subset(cafe, cafe$Date > "2009-12-31")
25 cafe <- na.omit(cafe)
26 colnames(cafe) <- c("Date", "cafe")
27
28 fechas <- seq(as.Date("2010-01-01"), as.Date("2017-12-31"), "days")
29 quote <- c(1:2922)
30 # Cargar como valor inicial valor mas antiguo de la serie de tiempo
31 last_quote <- cafe[dim(cafe)[1],2]
32
33 for(i in 1:2922)
34 {if(length(cafe[which(cafe$Date == fechas[i]), ]$cafe))
35 {quote[i] <- cafe[which(cafe$Date == fechas[i]), ]$cafe
36 last_quote <- cafe[which(cafe$Date == fechas[i]), ]$cafe}
37 else
38 {quote[i] <- last_quote}
39 }
40
41 # Build into a time series
42 cafe_ts <- ts(quote, start=c(2010,1,1), end=c(2017,12,31), frequency=365)
43 plot(decompose(cafe_ts))
44 save(cafe_ts, file = "data/cafe_ts")
45
46 # Build into data frame
47 cafe_df <- data.frame(fechas, quote)
48 colnames(cafe_df) = c("Date", "cafe")
49 save(cafe_df, file = "data/cafe_df")
50 # EOC

```

Programa buildCarbon.R

El siguiente listado construye la serie de tiempos carbón con los precios de las cotizaciones mundiales de la tonelada de carbón.

```

1 # UBJ Doctorado en Administracion Gerencial
2 # Modelo Predictivo de la TRM Utilizando Machine Learning
3 # LIB ubj/code/buildCarbon.R
4 # FECHA 19/08/2018
5 # Ariel E. Meilij
6 #
7 # BRIEF Construye serie de datos carbon
8
9 library(Quandl)
10 library(tseries)
11 library(ggplot2)
12 library(ggfortify)
13 library(Hmisc)
14 library(corrplot)
15 library(PerformanceAnalytics)
16 library(reshape2)
17 library(ggpubr)
18
19 Quandl.api_key("KzzS8Vfxkw1ZgTWgU4jH")
20 carbon_data <- Quandl("EIA/COAL")
21
22 # Limpiar serie de tiempo CARBON en su data.frame
23 carbon <- carbon_data[, 1:2]
24 carbon <- subset(carbon, carbon$'Week Ended' > "2009-12-31")
25 colnames(carbon) <- c("Date", "carbon")
26
27 fechas <- seq(as.Date("2010-01-01"), as.Date("2017-12-31"), "days")
28 quote <- c(1:2922)
29 # Cargar como valor inicial valor mas antiguo de la serie de tiempo
30 last_quote <- carbon[dim(carbon)[1],2]
31
32 for(i in 1:2922)

```

```

33 {if(length(carbon[which(carbon$Date == fechas[i]), ]$carbon))
34 {quote[i] <- carbon[which(carbon$Date == fechas[i]), ]$carbon
35 last_quote <- carbon[which(carbon$Date == fechas[i]), ]$carbon}
36 else
37 {quote[i] <- last_quote}
38 }
39
40 # Build into a time series
41 carbon_ts <- ts(quote, start=c(2010,1,1), end=c(2017,12,31), frequency=365)
42 plot(decompose(carbon_ts))
43 save(carbon_ts, file = "data/carbon_ts")
44
45 # Build into data frame
46 carbon_df <- data.frame(fechas, quote)
47 colnames(carbon_df) = c("Date", "carbon")
48 save(carbon_df, file = "data/carbon_df")
49 # EOC

```

Programa buildGasoil.R

El siguiente programa construye la serie de tiempo gasoil con los precios internacionales del gasoil en galones.

```

1 # UBJ Doctorado en Administracion Gerencial
2 # Modelo Predictivo de la TRM Utilizando Machine Learning
3 # LIB ubj/code/buildgasoil.R
4 # FECHA 19/08/2018
5 # Ariel E. Meilij
6 #
7 # BRIEF Construye serie de datos del banano
8
9 library(Quandl)
10 library(tseries)
11 library(ggplot2)
12 library(ggfortify)
13 library(Hmisc)

```

```

14 library(corrplot)
15 library(PerformanceAnalytics)
16 library(reshape2)
17 library(ggpubr)
18
19 Quandl.api_key("KzzS8Vfxkw1ZgTWgU4jH")
20 gasoil_data <- Quandl("NASDAQOMX/NQCIGOER")
21
22 # Limpiar serie de tiempo gasoil en su data.frame
23 gasoil <- gasoil_data[, c(1:2)]
24 gasoil <- subset(gasoil, gasoil$'Trade Date' > "2009-12-31")
25 gasoil <- subset(gasoil, gasoil$'Index Value' > 0)
26 colnames(gasoil) <- c("Date", "gasoil")
27
28 fechas <- seq(as.Date("2010-01-01"), as.Date("2017-12-31"), "days")
29 quote <- c(1:2922)
30 # Cargar como valor inicial valor mas antiguo de la serie de tiempo
31 last_quote <- gasoil[dim(gasoil)[1],2]
32
33 for(i in 1:2922)
34 {if(length(gasoil[which(gasoil$Date == fechas[i]), ]$gasoil))
35 {quote[i] <- gasoil[which(gasoil$Date == fechas[i]), ]$gasoil
36 last_quote <- gasoil[which(gasoil$Date == fechas[i]), ]$gasoil}
37 else
38 {quote[i] <- last_quote}
39 }
40
41 # Build into a time series
42 gasoil_ts <- ts(quote, start=c(2010,1,1), end=c(2017,12,31), frequency=365)
43 plot(decompose(gasoil_ts))
44 save(gasoil_ts, file = "data/gasoil_ts")
45
46 # Build into data frame
47 gasoil_df <- data.frame(fechas, quote)
48 colnames(gasoil_df) = c("Date", "gasoil")
49 save(gasoil_df, file = "data/gasoil_df")

```

50 # EOC

Programa buildHulla.R

El siguiente programa construye la serie de tiempo hulla con las cotizaciones mundiales de la tonelada métrica de hulla térmica.

```

1 # UBJ Doctorado en Administracion Gerencial
2 # Modelo Predictivo de la TRM Utilizando Machine Learning
3 # LIB ubj/code/buildHulla.R
4 # FECHA 19/08/2018
5 # Ariel E. Meilij
6 #
7 # BRIEF Construye serie de datos hulla termica
8
9 library(Quandl)
10 library(tseries)
11 library(ggplot2)
12 library(ggfortify)
13 library(Hmisc)
14 library(corrplot)
15 library(PerformanceAnalytics)
16 library(reshape2)
17 library(ggpubr)
18
19 Quandl.api_key("KzzS8Vfxkw1ZgTWgU4jH")
20 hulla_data <- Quandl("CHRIS/SGX_CFF3")
21
22 # Limpiar serie de tiempo HULLA en su data.frame
23 hulla <- hulla_data[, c(1,6)]
24 hulla <- subset(hulla, hulla$Date > "2009-12-31")
25 colnames(hulla) <- c("Date", "hulla")
26
27 fechas <- seq(as.Date("2010-01-01"), as.Date("2017-12-31"), "days")
28 quote <- c(1:2922)
29 # Cargar como valor inicial valor mas antiguo de la serie de tiempo

```

```

30 last_quote <- hulla[dim(hulla)[1],2]
31
32 for(i in 1:2922)
33 {if(length(hulla[which(hulla$Date == fechas[i]), ]$hulla))
34 {quote[i] <- hulla[which(hulla$Date == fechas[i]), ]$hulla
35 last_quote <- hulla[which(hulla$Date == fechas[i]), ]$hulla}
36 else
37 {quote[i] <- last_quote}
38 }
39
40 # Build into a time series
41 hulla_ts <- ts(quote, start=c(2010,1,1), end=c(2017,12,31), frequency=365)
42 plot(decompose(hulla_ts))
43 save(hulla_ts, file = "data/hulla_ts")
44
45 # Build into data frame
46 hulla_df <- data.frame(fechas, quote)
47 colnames(hulla_df) = c("Date", "hulla")
48 save(hulla_df, file = "data/hulla_df")
49 # EOC

```

Programa buildNiquel.R

El siguiente programa construye la serie de tiempo níquel con las cotizaciones mundiales de la tonelada métrica de ferroníquel.

```

1 # UBJ Doctorado en Administracion Gerencial
2 # Modelo Predictivo de la TRM Utilizando Machine Learning
3 # LIB ubj/code/buildNiquel.R
4 # FECHA 19/08/2018
5 # Ariel E. Meilij
6 #
7 # BRIEF Construye serie de datos del niquel
8
9 library(Quandl)
10 library(tseries)

```



```

11 library(ggplot2)
12 library(ggfortify)
13 library(Hmisc)
14 library(corrplot)
15 library(PerformanceAnalytics)
16 library(reshape2)
17 library(ggpubr)
18
19 Quandl.api_key("KzzS8Vfxkw1ZgTWgU4jH")
20 niquel_data <- Quandl("ODA/PNICK_USD")
21 # niquel_data <- Quandl("LME/PR_NI") FUENTE ALTERNA PERO INCOMPLETA
22
23 # Limpiar serie de tiempo niquel en su data.frame
24 # niquel_data <- niquel_data[, c(1,2)]
25 niquel <- subset(niquel_data, niquel_data$Date > "2009-12-31")
26 #niquel <- na.omit(niquel)
27 colnames(niquel) <- c("Date", "niquel")
28
29 fechas <- seq(as.Date("2010-01-01"), as.Date("2017-12-31"), "days")
30 quote <- c(1:2922)
31 # Cargar como valor inicial valor mas antiguo de la serie de tiempo
32 last_quote <- niquel[dim(niquel)[1],2]
33
34 for(i in 1:2922)
35 {if(length(niquel[which(niquel$Date == fechas[i]), ]$niquel))
36 {quote[i] <- niquel[which(niquel$Date == fechas[i]), ]$niquel
37 last_quote <- niquel[which(niquel$Date == fechas[i]), ]$niquel}
38   else
39   {quote[i] <- last_quote}
40 }
41
42 # Build into a time series
43 niquel_ts <- ts(quote, start=c(2010,1,1), end=c(2017,12,31), frequency=365)
44 plot(decompose(niquel_ts))
45 save(niquel_ts, file = "data/niquel_ts")
46

```

```

47 # Build into data frame
48 niquel_df <- data.frame(fechas, quote)
49 colnames(niquel_df) = c("Date", "niquel")
50 save(niquel_df, file = "data/niquel_df")
51 # EOC

```

Programa buildOro.R

El siguiente programa construye la serie de tiempo oro con los precios de cotización de la onza de oro Troy.

```

1 # UBJ Doctorado en Administracion Gerencial
2 # Modelo Predictivo de la TRM Utilizando Machine Learning
3 # LIB ubj/code/buildOro.R
4 # FECHA 19/08/2018
5 # Ariel E. Meilij
6 #
7 # BRIEF Construye serie de datos oro
8
9 library(Quandl)
10 library(tseries)
11 library(ggplot2)
12 library(ggfortify)
13 library(Hmisc)
14 library(corrplot)
15 library(PerformanceAnalytics)
16 library(reshape2)
17 library(ggpubr)
18
19 Quandl.api_key("KzzS8Vfxkw1ZgTWgU4jH")
20 gold_data <- Quandl("WGC/GOLD-DAILY-USD")
21
22 # Limpiar serie de tiempo GOLD en su data.frame
23 oro <- subset(gold_data, gold_data$Date > "2009-12-31")
24 colnames(oro) <- c("Date", "oro")
25

```

```

26 fechas <- seq(as.Date("2010-01-01"), as.Date("2017-12-31"), "days")
27 quote <- c(1:2922)
28 # Cargar como valor inicial valor mas antiguo de la serie de tiempo
29 last_quote <- oro[dim(oro)[1],2]
30
31 for(i in 1:2922)
32 {if(length(oro[which(oro$Date == fechas[i]), ]$oro))
33 {quote[i] <- oro[which(oro$Date == fechas[i]), ]$oro
34 last_quote <- oro[which(oro$Date == fechas[i]), ]$oro}
35 else
36 {quote[i] <- last_quote}
37 }
38
39 # Build into a time series
40 oro_ts <- ts(quote, start=c(2010,1,1), end=c(2017,12,31), frequency=365)
41 plot(decompose(oro_ts))
42 save(oro_ts, file = "data/oro_ts")
43
44 # Build into data frame
45 oro_df <- data.frame(fechas, quote)
46 colnames(oro_df) = c("Date", "oro")
47 save(oro_df, file = "data/oro_df")
48 # EOC

```

Programa buildPalma.R

El siguiente programa construye la serie de tiempo palma, con las cotizaciones mundiales del galon de aceite de palma.

```

1 # buildPalma.R
2 # 2018-08-15
3 # Ariel E. Meilij
4 # UBJ - DBA
5
6 # Build palm oil time series and expand
7 # 2010-01-01 thru 2017-12-31

```

```

8 # Fill-in NA's or 0 values
9 # Last known quote takes precedence
10
11 library(Quandl)
12 library(tseries)
13 library(ggplot2)
14 library(ggfortify)
15 library(Hmisc)
16 library(corrplot)
17 library(PerformanceAnalytics)
18 library(reshape2)
19 library(ggpubr)
20
21 Quandl.api_key("KzzS8Vfxkw1ZgTWgU4jH")
22 palma_data <- Quandl("ODA/PPOIL_USD")
23
24 palma <- subset(palma_data, palma_data$Date > "2009-12-01")
25 colnames(palma) <- c("Date", "palma")
26
27 fechas <- seq(as.Date("2010-01-01"), as.Date("2017-12-31"), "days")
28 quote <- c(1:2922)
29 last_quote <- palma[dim(palma)[1],2]
30
31 for(i in 1:2922)
32 {if(length(palma[which(palma$Date == fechas[i]), ]$palma))
33   {quote[i] <- palma[which(palma$Date == fechas[i]), ]$palma
34   last_quote <- palma[which(palma$Date == fechas[i]), ]$palma}
35   else
36   {quote[i] <- last_quote}
37 }
38
39 qplot(x = fechas, y = quote, geom = "line", main = "Cotizacion Aceite de Palma
      (2010-2017)")
40
41 # Build into a time series
42 palma_ts <- ts(quote, start=c(2010,1,1), end=c(2017,12,31), frequency=365)

```

```

43 plot(decompose(palma_ts))
44 save(palma_ts, file = "data/palma_ts")
45
46 # Build into data frame
47 palma_df <- data.frame(fechas, quote)
48 colnames(palma_df) = c("Date", "palma")
49 save(palma_df, file = "data/palma_df")
50
51 # EOC

```

Programa buildPolipropileno.R

El siguiente programa construye la serie polipropileno con las cotizaciones mundiales de la tonelada métrica de polipropileno.

```

1 # UBJ Doctorado en Administracion Gerencial
2 # Modelo Predictivo de la TRM Utilizando Machine Learning
3 # LIB ubj/code/buildPolipropileno.R
4 # FECHA 19/08/2018
5 # Ariel E. Meilij
6 #
7 # BRIEF Construye serie de datos prolipropileno
8
9 library(Quandl)
10 library(tseries)
11 library(ggplot2)
12 library(ggfortify)
13 library(Hmisc)
14 library(corrplot)
15 library(PerformanceAnalytics)
16 library(reshape2)
17 library(ggpubr)
18
19 Quandl.api_key("KzzS8Vfxkw1ZgTWgU4jH")
20 polipropileno_data <- Quandl("FRED/WPU091303223")
21

```

```

22 # Limpiar serie de tiempo polipropileno en su data.frame
23 polipropileno <- subset(polipropileno_data, polipropileno_data$Date > "
    2009-12-31")
24 colnames(polipropileno) <- c("Date", "polipropileno")
25
26 fechas <- seq(as.Date("2010-01-01"), as.Date("2017-12-31"), "days")
27 quote <- c(1:2922)
28 # Cargar como valor inicial valor mas antiguo de la serie de tiempo
29 last_quote <- polipropileno[dim(polipropileno)[1],2]
30
31 for(i in 1:2922)
32 {if(length(polipropileno[which(polipropileno$Date == fechas[i]), ]$
    polipropileno))
33 {quote[i] <- polipropileno[which(polipropileno$Date == fechas[i]), ]$
    polipropileno
34 last_quote <- polipropileno[which(polipropileno$Date == fechas[i]), ]$
    polipropileno}
35 else
36 {quote[i] <- last_quote}
37 }
38
39 # Build into a time series
40 polipropileno_ts <- ts(quote, start=c(2010,1,1), end=c(2017,12,31), frequency
    =365)
41 plot(decompose(polipropileno_ts))
42 save(polipropileno_ts, file = "data/polipropileno_ts")
43
44 # Build into data frame
45 polipropileno_df <- data.frame(fechas, quote)
46 colnames(polipropileno_df) = c("Date", "polipropileno")
47 save(polipropileno_df, file = "data/polipropileno_df")
48 # EOC

```

Programa buildWti.R

El siguiente programa construye la serie de tiempo wti, que es el resultante de las cotizaciones mundiales del barril de petroleo tipo West Texas.

```

1 # UBJ Doctorado en Administracion Gerencial
2 # Modelo Predictivo de la TRM Utilizando Machine Learning
3 # LIB ubj/code/buildWti.R
4 # FECHA 19/08/2018
5 # Ariel E. Meilij
6 #
7 # BRIEF Construye serie de datos petroleo WTI
8
9 library(Quandl)
10 library(tseries)
11 library(ggplot2)
12 library(ggfortify)
13 library(Hmisc)
14 library(corrplot)
15 library(PerformanceAnalytics)
16 library(reshape2)
17 library(ggpubr)
18
19 Quandl.api_key("KzzS8Vfxkw1ZgTWgU4jH")
20 wti_data <- Quandl("EIA/PET_RWTC_D")
21
22 # Limpiar serie de tiempo wti en su data.frame
23 wti <- subset(wti_data, wti_data$Date > "2009-12-31")
24 colnames(wti) <- c("Date", "wti")
25
26 fechas <- seq(as.Date("2010-01-01"), as.Date("2017-12-31"), "days")
27 quote <- c(1:2922)
28 # Cargar como valor inicial valor mas antiguo de la serie de tiempo
29 last_quote <- wti[dim(wti)[1],2]
30
31 for(i in 1:2922)
32 { if (length(wti[which(wti$Date == fechas[i]), ]$wti))

```

```

33 {quote[i] <- wti[which(wti$Date == fechas[i]), ]$wti
34 last_quote <- wti[which(wti$Date == fechas[i]), ]$wti}
35   else
36   {quote[i] <- last_quote}
37 }
38
39 # Build into a time series
40 wti_ts <- ts(quote, start=c(2010,1,1), end=c(2017,12,31), frequency=365)
41 plot(decompose(wti_ts))
42 save(wti_ts, file = "data/wti_ts")
43
44 # Build into data frame
45 wti_df <- data.frame(fechas, quote)
46 colnames(wti_df) = c("Date", "wti")
47 save(wti_df, file = "data/wti_df")
48 # EOC

```

visualRegresoresTS.R

El siguiente programa utiliza un gráfico compuesto para aplicar técnicas *EDA* de análisis visual y verificar la integridad de las series de tiempo antes de aplicar los algoritmos de aprendizaje automatizado.

```

1 # UBJ Doctorado en Administracion Gerencial
2 # Modelo Predictivo de la TRM Utilizando Machine Learning
3 # LIB ubj/code/visualRegresoresTS
4 # FECHA 19/08/2018
5 # Ariel E. Meilij
6 #
7 # BRIEF EDA regresores TRM en forma de serie de tiempo
8
9 # Carga de librerias necesarias
10 library(tseries)
11 library(ggplot2)
12 library(ggfortify)
13 library(Hmisc)

```



```

14 library(corrplot)
15 library(PerformanceAnalytics)
16 library(reshape2)
17 library(ggpubr)
18
19 # Cargar data frames en memoria
20 load("data/trm_df")
21 load("data/palma_df")
22 load("data/oro_df")
23 load("data/wti_df")
24 load("data/cafe_df")
25 load("data/banana_df")
26 load("data/niquel_df")
27 load("data/gasoil_df")
28 load("data/polipropileno_df")
29 load("data/hulla_df")
30 load("data/carbon_df")
31
32 # Multiple Graph
33 graf1 <- ggplot(trm_df, aes(x = Date, y = trm)) + geom_line(color = "#00AFBB",
  size = 1) +
34   xlab("Fechas") + ylab("Cotizacion TRM")
35 graf2 <- ggplot(palma_df, aes(x = Date, y = palma)) + geom_line(color = "#00
  AFBB", size = 1) +
36   xlab("Fechas") + ylab("Cotizacion Aceite de Palma")
37 graf3 <- ggplot(oro_df, aes(x = Date, y = oro)) + geom_line(color = "#00AFBB",
  size = 1) +
38   xlab("Fechas") + ylab("Cotizacion Oro")
39 graf4 <- ggplot(wti_df, aes(x = Date, y = wti)) + geom_line(color = "#00AFBB",
  size = 1) +
40   xlab("Fechas") + ylab("Cotizacion Petroleo WTI")
41 graf5 <- ggplot(cafe_df, aes(x = Date, y = cafe)) + geom_line(color = "#00AFBB
  ", size = 1) +
42   xlab("Fechas") + ylab("Cotizacion Cafe")
43 graf6 <- ggplot(banana_df, aes(x = Date, y = banana)) + geom_line(color = "#00
  AFBB", size = 1) +

```

```

44   xlab(" Fechas" ) + ylab(" Cotizacion Banano" )
45 graf7 <- ggplot(niquel_df, aes(x = Date, y = niquel)) + geom_line(color = "#00
    AFBB", size = 1) +
46   xlab(" Fechas" ) + ylab(" Cotizacion Ferroniquel" )
47 graf8 <- ggplot(gasoil_df, aes(x = Date, y = gasoil)) + geom_line(color = "#00
    AFBB", size = 1) +
48   xlab(" Fechas" ) + ylab(" Cotizacion Gasoil" )
49 graf9 <- ggplot(polipropileno_df, aes(x = Date, y = polipropileno)) + geom_
    line(color = "#00AFBB", size = 1) +
50   xlab(" Fechas" ) + ylab(" Cotizacion Polipropileno" )
51 graf10 <- ggplot(hulla_df, aes(x = Date, y = hulla)) + geom_line(color = "#00
    AFBB", size = 1) +
52   xlab(" Fechas" ) + ylab(" Cotizacion Hulla Termica" )
53 graf11 <- ggplot(carbon_df, aes(x = Date, y = carbon)) + geom_line(color = "
    #00AFBB", size = 1) +
54   xlab(" Fechas" ) + ylab(" Cotizacion Carbon" )
55
56 ggarrange(graf1, graf2, graf3, graf4, graf5, graf6, graf7, graf8, graf9,
    graf10, graf11 + rremove("x.text"),
57   labels = c("TRM", "PALMA", "ORO", "WTI", "CAFE", "BANANA", "
    FERRONIQUEL", "GASOIL", "POLIPROPILENO", "HULLA TERMICA", "CARBON" ),
58   ncol = 3, nrow = 4)

```

Programa testMLRegression.R

El siguiente programa fue utilizado como punto intermedio en el trabajo de laboratorio para evaluar el potencial de un modelo de regresión lineal y los regresores candidatos. El mismo no utiliza aprendizaje automatizado sino que aplica un modelo tradicional de regresión lineal multivariable.

```

1 # UBJ Doctorado en Administracion Gerencial
2 # Modelo Predictivo de la TRM Utilizando Machine Learning
3 # LIB ubj/code/testMLRegression
4 # FECHA 19/08/2018
5 # Ariel E. Meilij
6 #
7 # BRIEF Evalua Modelo de Regresion Multivariable con Machine Learning

```

```

8 # Utiliza biblioteca CARET para aprendizaje automatizado
9
10 # Carga de librerias necesarias
11 library(tseries)
12 library(ggplot2)
13 library(ggfortify)
14 library(Hmisc)
15 library(corrplot)
16 library(PerformanceAnalytics)
17 library(reshape2)
18 library(ggpubr)
19 library(caret)
20
21 # Cargar data frames en memoria
22 load("data/trm_df")
23 load("data/palma_df")
24 load("data/oro_df")
25 load("data/wti_df")
26 load("data/cafe_df")
27 load("data/banana_df")
28 load("data/niquel_df")
29 load("data/gasoil_df")
30 load("data/polipropileno_df")
31 load("data/hulla_df")
32 load("data/carbon_df")
33
34 # Merge data frames
35 df1 <- merge(trm_df, palma_df)
36 df1 <- merge(df1, oro_df)
37 df1 <- merge(df1, wti_df)
38 df1 <- merge(df1, cafe_df)
39 df1 <- merge(df1, banana_df)
40 df1 <- merge(df1, niquel_df)
41 df1 <- merge(df1, gasoil_df)
42 df1 <- merge(df1, polipropileno_df)
43 df1 <- merge(df1, hulla_df)

```

```

44 df1 <- merge(df1, carbon_df)
45 summary(df1)
46
47 # Eliminar datos, no hacen falta para este ejercicio
48 df_data <- df1[, 2:12]
49 rm(df1, trm_df, palma_df, oro_df, wti_df, cafe_df, banana_df, niquel_df,
    gasoil_df, polipropileno_df, hulla_df, carbon_df)
50
51 # Crear juegos de datos para entrenamiento y prueba
52 set.seed(7556014)
53 inTrain <- createDataPartition(y = df_data$trm, p = 0.7, list = FALSE)
54 training <- df_data[inTrain, ]
55 testing <- df_data[-inTrain, ]
56
57 # Comenzar entrenamiento
58 modelFit <- train(trm ~ ., data = training, method = "glm")
59
60 # Graficas de verificacion de modelo
61 plot(modelFit$finalModel)
62 plot(modelFit$finalModel, 4, pch = 19, cex = 0.5, col = "#00000010")
63 plot(modelFit$finalModel$residuals, pch = 19)
64 abline(0,0, col = "red")
65
66 # Plot Data Entrenada en Prediccion vs. Valores Reales
67 valores_reales <- df_data[inTrain, 1]
68 valores_prediccion <- predict(modelFit, training[,2:11])
69 testVector <- data.frame(valores_prediccion, valores_reales)
70 ggplot(aes(x = valores_prediccion, y = valores_reales), data = testVector) +
71   geom_point(alpha = 0.05) + geom_smooth(method='lm', formula=y~x, colour = "
    green") +
72   labs(x = "Valores Prediccion", y = "Valores Reales",
73     title = "Valores Reales vs. Valores Prediccion Modelo Entrenado
    Regresion Multivariable")
74
75 # Plot Data de Prueba vs. Valores Reales
76 valores_reales <- df_data[-inTrain, 1]

```

```

77 valores_prediccion <- predict(modelFit, testing[,2:11])
78 testVector <- data.frame(valores_prediccion, valores_reales)
79 ggplot(aes(x = valores_prediccion, y = valores_reales), data = testVector) +
80   geom_point(alpha = 0.05) + geom_smooth(method='lm', formula=y~x, colour = "
      yellow") +
81   labs(x = "Valores Prediccion", y = "Valores Reales",
82         title = "Valores Reales vs. Valores Prediccion Data Validacion
      Regresion Multivariable")
83
84 # Test individual de valores aleatorios comparativos
85 indices_aleatorios <- sample.int(dim(inTrain)[1], 20)
86 y_values <- df_data[indices_aleatorios, 1]
87 y_hat <- predict(modelFit, df_data[indices_aleatorios, 2:11])
88 testMatrix <- data.frame(y_values, y_hat, round(((y_hat/y_values)-1)*100,1))
89 colnames(testMatrix) = c("VALOR REAL", "PREDICCION", "ERROR %")
90 print(testMatrix)
91 print(mean(testMatrix$'ERROR %'))
92
93 # Grafica Residuales
94 residuales <- modelFit$finalModel$residuals
95 indice <- seq(1:2047)
96 data_residuales <- data.frame(residuales, indice)
97 ggplot(aes(y = residuales, x = indice), data = data_residuales) + geom_jitter(
      alpha = 1/05) +
98   labs(y = "Error Aleatorio", x = "", title = "Valores Residuales")

```

Programa testAutoARIMA.R

El siguiente programa construye el modelo de pronóstico ARIMA utilizando la biblioteca de aprendizaje automatizado *forecast*.

```

1 # UBJ Doctorado en Administracion Gerencial
2 # Modelo Predictivo de la TRM Utilizando Machine Learning
3 # LIB ubj/code/testAutoARIMA
4 # FECHA 19/08/2018
5 # Ariel E. Meilij

```

```

6 #
7 # BRIEF Pronostico de la TRM utilizando machine learning con ARIMA
8
9 library(forecast)
10 library(ggplot2)
11
12 load("data/trm_ts")
13
14 # Descomposicion de serie de tiempo TRM
15 plot(decompose(trm_ts))
16
17 # Evaluar autocorrelacion
18 par(mfrow=c(1,2))
19 acf(trm_ts)
20 pacf(trm_ts)
21
22 # Utilizar funcion auto.arima para modelo automatico ARIMA
23 modelFit <- auto.arima(trm_ts)
24
25 # Plot Data de Prueba vs. Valores Reales
26 valores_reales <- trm_ts
27 valores_prediccion <- modelFit$fitted
28 testVector <- data.frame(valores_prediccion, valores_reales)
29 ggplot(aes(x = valores_prediccion, y = valores_reales), data = testVector) +
30   geom_point(alpha = 0.05) +
31   geom_smooth(method='lm', formula=y~x, colour = "gray") +
32   labs(x = "Valores Prediccion", y = "Valores Reales",
33        title = "Valores Reales vs. Valores Prediccion ARIMA(3,1,2) para TRM
34              2010-2017 ")
35
36 # Test individual de valores aleatorios comparativos
37 indices_aleatorios <- sample.int(length(trm_ts), 100)
38 y_values <- trm_ts[indices_aleatorios]
39 y_hat <- modelFit$fitted[indices_aleatorios]
40 testMatrix <- data.frame(y_values, y_hat, round(((y_hat/y_values)-1)*100,1))
41 colnames(testMatrix) = c("VALOR REAL", "PREDICCION", "ERROR %")

```

```

41 print(testMatrix)
42 print(mean(testMatrix$'ERROR %'))
43
44 # Plot del Test
45 qplot(y = y_values, x = y_hat, data = testMatrix, show.legend = TRUE,
46       main = "Test Aleatorio Valores Reales vs. Prediccion") + geom_smooth(
      formula = y~x)

```

Programa testMLRegression.R

El siguiente programa utiliza la biblioteca *CARET* para crear un modelo de regresión multi-variable con aprendizaje automatizado.

```

1 # UBJ Doctorado en Administracion Gerencial
2 # Modelo Predictivo de la TRM Utilizando Machine Learning
3 # LIB ubj/code/testMLRegression
4 # FECHA 19/08/2018
5 # Ariel E. Meilij
6 #
7 # BRIEF Evalua Modelo de Regresion Multivariable con Machine Learning
8 # Utiliza biblioteca CARET para aprendizaje automatizado
9
10 # Carga de librerias necesarias
11 library(tseries)
12 library(ggplot2)
13 library(ggfortify)
14 library(Hmisc)
15 library(corrplot)
16 library(PerformanceAnalytics)
17 library(reshape2)
18 library(ggpubr)
19 library(caret)
20
21 # Cargar data frames en memoria
22 load("data/trm_df")
23 load("data/palma_df")

```

```

24 load("data/oro_df")
25 load("data/wti_df")
26 load("data/cafe_df")
27 load("data/banana_df")
28 load("data/niquel_df")
29 load("data/gasoil_df")
30 load("data/polipropileno_df")
31 load("data/hulla_df")
32 load("data/carbon_df")
33
34 # Merge data frames
35 df1 <- merge(trm_df, palma_df)
36 df1 <- merge(df1, oro_df)
37 df1 <- merge(df1, wti_df)
38 df1 <- merge(df1, cafe_df)
39 df1 <- merge(df1, banana_df)
40 df1 <- merge(df1, niquel_df)
41 df1 <- merge(df1, gasoil_df)
42 df1 <- merge(df1, polipropileno_df)
43 df1 <- merge(df1, hulla_df)
44 df1 <- merge(df1, carbon_df)
45 summary(df1)
46
47 # Eliminar datos, no hacen falta para este ejercicio
48 df_data <- df1[, 2:12]
49 rm(df1, trm_df, palma_df, oro_df, wti_df, cafe_df, banana_df, niquel_df,
    gasoil_df, polipropileno_df, hulla_df, carbon_df)
50
51 # Crear juegos de datos para entrenamiento y prueba
52 set.seed(7556014)
53 inTrain <- createDataPartition(y = df_data$trm, p = 0.7, list = FALSE)
54 training <- df_data[inTrain, ]
55 testing <- df_data[!inTrain, ]
56
57 # Comenzar entrenamiento
58 modelFit <- train(trm ~ ., data = training, method = "glm")

```



```

59
60 # Graficas de verificacion de modelo
61 plot(modelFit$finalModel)
62 plot(modelFit$finalModel, 4, pch = 19, cex = 0.5, col = "#00000010")
63 plot(modelFit$finalModel$residuals, pch = 19)
64 abline(0,0, col = "red")
65
66 # Plot Data Entrenada en Prediccion vs. Valores Reales
67 valores_reales <- df_data[inTrain, 1]
68 valores_prediccion <- predict(modelFit, training[,2:11])
69 testVector <- data.frame(valores_prediccion, valores_reales)
70 ggplot(aes(x = valores_prediccion, y = valores_reales), data = testVector) +
71   geom_point(alpha = 0.05) + geom_smooth(method='lm', formula=y~x, colour = "
       green") +
72   labs(x = "Valores Prediccion", y = "Valores Reales",
73        title = "Valores Reales vs. Valores Prediccion Modelo Entrenado
       Regresion Multivariable")
74
75 # Plot Data de Prueba vs. Valores Reales
76 valores_reales <- df_data[-inTrain, 1]
77 valores_prediccion <- predict(modelFit, testing[,2:11])
78 testVector <- data.frame(valores_prediccion, valores_reales)
79 ggplot(aes(x = valores_prediccion, y = valores_reales), data = testVector) +
80   geom_point(alpha = 0.05) + geom_smooth(method='lm', formula=y~x, colour = "
       yellow") +
81   labs(x = "Valores Prediccion", y = "Valores Reales",
82        title = "Valores Reales vs. Valores Prediccion Data Validacion
       Regresion Multivariable")
83
84 # Test individual de valores aleatorios comparativos
85 indices_aleatorios <- sample.int(dim(inTrain)[1], 20)
86 y_values <- df_data[indices_aleatorios, 1]
87 y_hat <- predict(modelFit, df_data[indices_aleatorios, 2:11])
88 testMatrix <- data.frame(y_values, y_hat, round(((y_hat/y_values)-1)*100,1))
89 colnames(testMatrix) = c("VALOR REAL", "PREDICCION", "ERROR %")
90 print(testMatrix)

```

```

91 print(mean(testMatrix$'ERROR %'))
92
93 # Grafica Residuales
94 residuales <- modelFit$finalModel$residuals
95 indice <- seq(1:2047)
96 data_residuales <- data.frame(residuales , indice)
97 ggplot(aes(y = residuales , x = indice), data = data_residuales) + geom_jitter(
    alpha = 1/05) +
98   labs(y = "Error Aleatorio", x = "", title = "Valores Residuales")

```

Programa testStackedModelVariant.R

El siguiente programa fue la variante final del modelo ensamblado de aprendizaje automatizado que utiliza *GLM* como el método final de ensamblaje. El programa original (disponible en el repositorio *GitHub*) utiliza *GAM*, pero los coeficientes eran poco visibles con este proceso y los resultados finales eran casi idénticos.

```

1 # UBJ Doctorado en Administracion Gerencial
2 # Modelo Predictivo de la TRM Utilizando Machine Learning
3 # LIB ubj/code/testStackedModelVariant
4 # FECHA 31/08/2018
5 # Ariel E. Meilij
6 #
7 # BRIEF Modelo Ensamblado de Prediccion de la TRM
8 # VARIANTE Utiliza juego de test para crear tercer modelo
9
10 # Carga de librerias necesarias
11 library(tseries)
12 library(ggplot2)
13 library(ggfortify)
14 library(Hmisc)
15 library(corrplot)
16 library(PerformanceAnalytics)
17 library(reshape2)
18 library(ggpubr)
19 library(caret)

```

```
20 library(forecast)
21
22 # Cargar data frames en memoria
23 load("data/trm_df")
24 load("data/palma_df")
25 load("data/oro_df")
26 load("data/wti_df")
27 load("data/cafe_df")
28 load("data/banana_df")
29 load("data/niquel_df")
30 load("data/gasoil_df")
31 load("data/polipropileno_df")
32 load("data/hulla_df")
33 load("data/carbon_df")
34
35 # Merge data frames
36 df1 <- merge(trm_df, palma_df)
37 df1 <- merge(df1, oro_df)
38 df1 <- merge(df1, wti_df)
39 df1 <- merge(df1, cafe_df)
40 df1 <- merge(df1, banana_df)
41 df1 <- merge(df1, niquel_df)
42 df1 <- merge(df1, gasoil_df)
43 df1 <- merge(df1, polipropileno_df)
44 df1 <- merge(df1, hulla_df)
45 df1 <- merge(df1, carbon_df)
46 summary(df1)
47
48 # Eliminar datos, no hacen falta para este ejercicio
49 rm(trm_df, palma_df, oro_df, wti_df, cafe_df, banana_df, niquel_df, gasoil_df,
    polipropileno_df, hulla_df, carbon_df)
50
51 # Crear juegos de datos para entrenamiento y prueba
52 # Cargar juegos de datos
53 load("data/trm_ts")
54 set.seed(7556014)
```

```

55
56 # Modelo 1: ARIMA
57 modelFitARIMA <- auto.arima(trm_ts)
58
59 # Model 2: Regresion Multivariable
60 inTrain <- createDataPartition(y = df1$trm, p = 0.7, list = FALSE)
61 training <- df1[inTrain, ]
62 testing <- df1[-inTrain, ]
63 modelFitGLM <- train(trm ~ palma + oro + wti + cafe + banana + niquel +
64                       gasoil + polipropileno + hulla + carbon,
65                       data = training, method = "glm")
66
67 # Crear data frame de modelos ensamblados
68 # variable independiente Y : TRM
69 # variables dependientes Xi : predicciones
70 # UTILIZAR DATOS TEST!
71 predGLM <- predict(modelFitGLM, testing)
72
73 # Para la serie de tiempo extraer solo las predicciones que
74 # coinciden con el juego de datos de test *lo opuesto de inTrain
75 # guardamos en foo las predicciones como df y leidas como
76 # numerico para que funcione (extraer TS es aun dificil en R)
77 foo = as.data.frame(as.numeric(modelFitARIMA$fitted))
78 predARIMA = foo[-inTrain, ]
79 rm(foo)
80
81 # Crear data frame datos modelo ensamblado
82 df_ensamblado <- data.frame(testing$trm, predARIMA, predGLM)
83 colnames(df_ensamblado) = c("trm", "predARIMA", "predGLM")
84
85 # Revisar y graficar modelo para verificar integridad de los datos
86 summary(df_ensamblado)
87 plot(df_ensamblado, main = "Validacion Datos Modelo Ensamblado")
88
89 # Entrenar modelo ensamblado con GAM
90 modeloEnsamblado <- train(trm ~ ., method = "glm", data = df_ensamblado)

```

```

91 modeloEnsamblado
92 summary(modeloEnsamblado)
93
94 # Test individual de valores aleatorios comparativos
95 size_b <- dim(testing)[1]
96 indices_aleatorios <- sample.int(size_b, 10)
97 y_values <- df_ensamblado[indices_aleatorios, 1]
98 y1_hat <- predARIMA[indices_aleatorios]
99 y2_hat <- predGLM[indices_aleatorios]
100 y3_hat <- modeloEnsamblado$finalModel$fitted.values[indices_aleatorios]
101 testMatrix <- data.frame(y_values, y1_hat, y2_hat, y3_hat, round(((y1_hat/y_
    values)-1)*100,1), round(((y2_hat/y_values)-1)*100,1), round(((y3_hat/y_
    values)-1)*100,1))
102 colnames(testMatrix) = c("VALOR REAL", "Y1_HAT", "Y2_HAT", "Y3_HAT", "ERROR %
    Y1", "ERROR % Y2", "ERROR % Y3")
103 print(testMatrix)
104 print(mean(testMatrix$'ERROR %Y1'))
105 print(mean(testMatrix$'ERROR %Y2'))
106 print(mean(testMatrix$'ERROR %Y3'))
107
108 # Grafica Prueba 3 Modelos con Valores Aleatorios
109 size_b <- dim(testing)[1]
110 indices_aleatorios <- sample.int(size_b, 100)
111 y_values <- df_ensamblado[indices_aleatorios, 1]
112 y1_hat <- predARIMA[indices_aleatorios]
113 y2_hat <- predGLM[indices_aleatorios]
114 y3_hat <- modeloEnsamblado$finalModel$fitted.values[indices_aleatorios]
115
116 graf1 = qplot(y_values, y1_hat, geom = c("point", "smooth"))
117 graf2 = qplot(y_values, y2_hat, geom = c("point", "smooth"))
118 graf3 = qplot(y_values, y3_hat, geom = c("point", "smooth"))
119 ggarrange(graf1, graf2, graf3 + rremove("x.text"),
120           labels = c("Valores Reales vs. ARIMA", "Valores Reales vs. GLM", "
    Valores Reales vs. STACKING"),
121           ncol = 3, nrow = 1)
122

```

```

123
124 # Grafica del Modelo Ensamblado: Valores Reales vs. Valores Esperados
125 this_y <- df_ensamblado$trm
126 this_x <- modeloEnsamblado$finalModel$fitted.values
127 this_frame <- data.frame(this_y, this_x)
128 ggplot(aes(x = this_x, y = this_y), data = this_frame) +
129   geom_point(alpha = 0.1) + geom_smooth(method='lm', formula=y~x, colour = "
      orange",
130                                           show.legend = TRUE) +
131   labs(x = "Valores Prediccion Modelo Ensamblado", y = "Valores Reales TRM",
132        title = "Valores Reales vs. Valores Prediccion | Validacion Modelo
      Ensamblado")
133
134 # Tabla comparativa de valores
135 rmse_ARIMA <- summary(modelFitARIMA)[2]
136 rmse_GLM <- modelFitGLM$results$RMSE
137 rmse_STACKED <- as.double(modeloEnsamblado$results$RMSE[1])
138 R2_ARIMA <- as.double(summary(lm(as.double(trm_ts) ~ modelFitARIMA$fitted))
      [8])
139 R2_GLM <- modelFitGLM$results$Rsquared
140 R2_STACKED <- modeloEnsamblado$results$Rsquared[1]
141
142 tabla_comparativa <- data.frame(c(rmse_ARIMA, R2_ARIMA),
143                                c(rmse_GLM, R2_GLM),
144                                c(rmse_STACKED, R2_STACKED))
145
146 colnames(tabla_comparativa) <- c("ARIMA", "GLM", "ENSAMBLADO")
147 rownames(tabla_comparativa)[1] <- c("RMSE")
148 rownames(tabla_comparativa)[2] <- c("R2")
149 tabla_comparativa
150
151 # End of Code

```